

İSTANBUL ÜNİVERSİTESİ • FEN BİLİMLERİ ENSTİTÜÜ

Gaz İcoleli Salt Tesisleri

Selim Trablus

Yüksek Lisans Tezi

152
138

YILDIZ ÜNİVERSİTESİ
FEN BİLİMLERİ ENSTİTÜSÜ

20000 TL

GAZ İZOLELİ ŞALT
TESİSLERİ
(GTS)

YÜKSEK LİSANS TEZİ
MÜH. SELİM TRABLUS

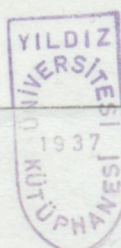
İSTANBUL 1990

*
YILDIZ TEKNİK ÜNİVERSİTESİ
KÜTÜPHANE DOKÜMANTASYON
DAİRE BAŞKANLIĞI

R 152
Kot :
Alındığı Yer : FEN BİL. ENS.

Tarih : 20.04.1992
Fatura : - - - -
Fiyatı : 20.000,14
Ayniyat No : 1/2
Kayıt No : 48349
UDC : 621.3 378.242
Ek :

+



YILDIZ ÜNİVERSİTESİ
FEN BİLİMLERİ ENSTİTÜSÜ



GAZ İZOLELİ ŞALT
TESİSLERİ
(GIS)

YÜKSEK LİSANS TEZİ
MÜH. SELİM TRABLUS



İSTANBUL 1990

İÇİNDEKİLER

I. BÖLÜM

TEORİK İBASİTLAR

1. SP _e Tavsiyelerin Özellikleri.....	1
1.1. Genel Özellik.....	1
1.2. Kimyasal Özellikleri.....	1
1.3. Fiziksel Özellikleri.....	1
1.3.1. Elektronik Özellikler.....	1
1.3.2. Elektriksel Özellikleri.....	2

T E Ş E K K Ü R

Çalışmalarım süresince yakın ilgi ve yardımlarını esirgemeyen, tecrübelerinden istifade ettiğim değerli hocam sayın Prof.Dr.Hüseyin ÇAKIR'a bu vesileyle teşekkür etmemiği bir borç biliyorum.

2.1. Genel Özellikler.....	16
2.2. Elektronik Özellikler.....	17
2.3. Kimyasal Özellikler.....	18
2.4. Fiziksel Özellikler.....	19
2.4.1. Elektriksel Özellikler.....	19
2.4.1.1. Elektronik Özellikler.....	19
2.4.1.2. Elektriksel Özellikler.....	20
2.4.2. Mekanik Özellikler.....	21
2.4.2.1. Elektromekanik Özellikler.....	21
2.4.2.2. Elektronik Özellikler.....	22
2.4.2.3. Elektriksel Özellikler.....	22
2.4.2.4. Mekanik Özellikler.....	23
2.4.2.5. Elektronik Özellikler.....	23
2.4.2.6. Elektriksel Özellikler.....	24
2.4.2.7. Elektronik Özellikler.....	24
2.4.2.8. Elektriksel Özellikler.....	25
2.4.2.9. Elektronik Özellikler.....	25
2.4.2.10. Elektronik Özellikler.....	25
2.4.2.11. Elektronik Özellikler.....	26

II. BÖLÜM İÇİNDEKİLER

TEORİK ESASLAR

I. BÖLÜM

1.Giriş TEORİK ESASLAR

2.Kapı

1.SF ₆ Gazının Özellikleri.....	1
1.1.Genel Olarak.....	1
1.2.Kimyasal Ozellikleri.....	1
1.3.Fiziksel Özellikleri.....	1
1.3.1.Elementer İşlevler.....	1
1.3.2.Iyonizasyon Karakteristiği.....	2
1.4.Delinme Mekanizmaları ve Tutuşma Şartları.....	4
1.4.1.Homojen Alanda Delinme.....	4
1.4.2.Homojen Olmayan Alanda Delinme.....	6
1.4.3.Townsend Desarjı.....	9
1.4.4.Streamer Teorisi.....	10
2.Delinme Geriliminin Hesabı.....	13
2.1.Genel Hesaplama Tarzı.....	13
2.2.Benzerlik Kanunu.....	15
2.3.Sonuçlar.....	18
3.Benzerlik Kanunundan Sapmalar İçin Teoriler.....	19
3.1.Giriş.....	19
3.2.Alan Emisyonlu Delinme.....	19
3.2.1.Bir Alan Emisyon Akımının Mevcudiyeti.....	19
3.2.2.Alan Emisyonunun Göz Önüne Alınmasıyla Delinme Mekanizmaları.....	20
3.3.Gaz İçindeki Olaylarla Delinme.....	23
3.4.Elektrodlarda Alanın Aşırı Yükselmesi Sonucu Delinmeler.....	24
3.4.1.Kenar(Sınır) Delinmeler.....	24
3.4.2.Lokal Alan Büyümesi.....	25
3.5.Kirlenmeler Sonucu Oluşan Delinme.....	25
3.6.Sonuçlar.....	26

II. BÖLÜM

PRATİK ESASLAR

1.Giriş.....	29
2.Katı İzole Maddeler.....	30
3.Akışkan İzole Maddeler.....	30
4.Gaz İzole Maddeler.....	31
5.SF ₆ İzoleli Salt Tesisleri (GIS)	33
5.1.Yüksek Basınç Tesisleri.....	33
5.2.Alçak Basınç Tesisleri.....	33
5.3.GIS Tesislerinin Yapısı.....	34
5.4.Yapı Elemanları.....	35
5.4.1.Baralar.....	35
5.4.2.Ayırıcılar.....	36
5.4.3.Topraklama Şalterleri.....	38
5.4.3.1.Topraklayıcı Ana Cihaz.....	39
5.4.3.2.İşletme Topraklayıcısı.....	39
5.4.3.3.Hızlı Topraklayıcı.....	39
5.4.3.4.Koruma Topraklayıcısı.....	39
5.4.4.Güç Şalterleri.....	41
5.4.5.Güç Şalterlerinin Gaz Akış Şeması.....	41
5.5.Kapsüllenmiş Akım Trafosu.....	44
5.6.Kapsüllenmiş Gerilim Trafosu.....	45
5.7.Geçişler.....	45
5.7.1.Kablo Bağlantısı.....	46
5.7.2.Transformator Bağlantısı.....	46
5.7.3.Havañ Hat Bağlantısı.....	47
5.8.Bağlantı Parçaları.....	47
5.9.Bütün Konvansiyonel Tesislere Uygun Yapı Biçimleri.....	48
5.10.GIS Tesislerinin Bir Fazlı ve Üç Fazlı Olarak Kapsüllenmesi.....	51
5.10.1.Bir Fazlı Kapsüllemenin Faydalari.....	51
5.10.2.Üç Fazlı Kapsüllemenin Faydalari.....	52
5.11..GIS.Tesislerinde Termik ve Dinamik Kısa Devre Zorlanmaları.....	53

	III
5.11.1. Boyutlandırma İçin Ana Parametre.....	53
5.11.2. Bir Fazlı Kapsüllenmiş Tertiblerin Dinamik Zorlanması.....	55
5.11.3. Üç Fazlı Kapsüllenmiş Tertiblerin Dinamik Zorlanması.....	55
5.11.4. Termik Zorlanma.....	55
5.12. GIS Tesislerinde Geçici Aşırı Gerilimler.....	56
5.12.1. GIS Tesislerinde Aşırı Gerilimlerin Ortaya Çıkması, Yayılması ve Tesirleri.....	56
5.12.1.1. Ayırıcı Bağlantılar.....	56
5.12.1.2. Dengeleme Olaylarının Yayılması.	58
5.12.1.3. Aşırı Gerilimlerin Tesirleri....	58
5.12.2. Yüksek Gerilim Tesislerinde Ölçümler.....	58
5.12.2.1. 380'kV luk Bir GIS Tesisinin Yüksek Gerilim Tarafında Geçici Olaylar	58
5.12.2.2. Yüksek Gerilim İletkeninden Kumanda Dolabına Kadar Bir GIS'in Geçici Gerilimleri.....	59
5.13. GIS Tesislerinin Aşırı Gerilime Karşı Korunması ve İzolasyon Koordinasyonu.....	59
5.13.1. İzolasyon Koordinasyonu İçin Önemli Kriterler.....	60
5.13.2. Konvansiyonel İzolasyon Boyutlandırılması ve Emniyet Seviyesi.....	60
5.13.3. İzolasyon Koordinasyonunun İstatistikî Kullanımı.....	61
5.13.4. SF ₆ Basınçlı Gaz İzolasyonunun Özellikleri	62
5.13.5. Aşırı Gerilim Koruması İçin Tedbirler....	62
5.14. GIS Tesislerinde SF ₆ Gaz Kontrolü.....	63
5.15. GIS Tesislerinde Hususî Problemler.....	64
6. Konvansiyonel ve GIS Tesislerinin İzolasyon Kıyaslamları.....	65
6.1. Konvansiyonel Tesislerin İzolasyonu.....	66
6.2. GIS Tesislerinin İzolasyonu.....	66
6.3. Her iki İzolasyon Sisteminin Kıyaslaması.....	67
6.3.1. İç ve Dış İzolasyon Arasında Kıyaslama.....	67
6.3.2. GIS Tesislerinin Izolasyonunun Hususî Özellikleri.....	69

7.SF ₆ Tekniğinin Faydaları.....	70
7.1.Hibrid Şalt Tesisleri.....	71
7.2.Elektrik Güç Santral Tesislerinde SF ₆ Teknolojisinin Kullanımı.....	75
8.Izole Edilmiş Boru Gaz Kablolarıyla Enerji İletimi....	76
8.1.Havaf Hatlar Vasıtasyyla Konvansiyonel Enerji Taşıma.....	76
8.2.Yeraltından Enerji Taşımeye Olan Talepler.....	76
8.2.1.Havaf Hatlara Bağlı Yeraltı Taşıma Kabloları.	76
8.2.2.Havaf Hatlara Paralel Yeraltı Taşıma Kabloları.....	77
8.2.3.Yeraltı Taşıma Elemanına Umumi Güç Talepleri.	78
8.3.Yüksek Güçlerin Taşınması İçin Boru Gaz Kablosu....	78
8.3.1.Boru Gaz Kablolarının Kullanım İmkanları.....	81
9.SF ₆ Tekniğinin Geleceği.....	83
10.SF ₆ -GIS Teknolojisinin Türkiye Açısından Değerlendirilmesi.....	84
11.Dünyada Halen İşletme İçinde Bulunan Mevcut GIS Tesislerinden Örnekler.....	84

Konu, teorik ve pratik seviyelerde altında iki bölümde incelenmiştir. I.Bölümde SF₆ nin fiziksel Özelliklerinden itibaren GIS-Teknolojisinin önceli teorik kriterlerini ele alınmıştır.

II.Bölümde GIS-Teknolojisinin pratikteki uygulamaları anlatılmış ve Türkiye açısından bir değerlendirme yapılmıştır.

ÖNSÖZ

V

Elektrik enerjisine artan ihtiyaç, büyük şehirlerde ve endüstri sahalarında büyüyen enerji yoğunluğu, mevcut yüksek gerilim şebekelerini tüketim merkezlerinin içlerine kadar genişletmeyi lüzumlu kılmıştır. Taşıma geriliminin, tüketiciye yakın yerdeki şehir veya endüstriyel kablo şebekelerinin gerilime transformasyonu ekonomik faydalar yanında, emin bir enerji beslemesine imkan vermektedir. Bu yüzden modern teknığın bütün talepleriyle ve çevreyle uygunluk teşkil eden yeni bir şalt tesis tipi geliştirmek zaruri olmuştur.

SF_6 -Gazının izolasyon ve söndürme tekniğine girişi, metal kapsüllü gaz izoleli şalt tesislerinin (GIS-Gas isolierte Schaltanlagen/Gas Insulated Switchgear) geliştirilmesine ön ayak olmuştur. GIS-Tesisleri konvansiyonel şalt tesislerindeki bütün şalt cihazlarını (SF_6 -Basıncı ile gazıyla izole edilmiş olarak) topraklanmış metal gövdeerde tutan tesislerdir.

Konu, teorik ve pratik esaslar adı altında iki bölümde incelenmiştir. I. Bölümde SF_6 nın fiziksel özelliklerinden itibaren GIS-Teknolojisinin önemli teorik kriterleri ele alınmıştır.

II. Bölümde GIS-Teknolojisinin pratikteki uygulamaları anlatılmış ve Türkiye açısından bir değerlendirme yapılmıştır.

Haziran, 1990

İstanbul

Selim Trablus

VORWORT

Der steigende Bedarf an elektrischer Energie und die wachsende Energiedichte in Grossstaedten und Industriegebieten machen es notwendig, die bestehenden Hochspannungsnetze bis in die Verbrauchszentren hinein auszudehnen. Die Transformation der Übertragungsspannung auf die Spannung staedtischer oder industrieller Kabelnetze nahe am Verbraucher bringt nicht nur wirtschaftliche Vorteile, sondern ermöglicht erst in vielen Faellen eine sichere Energieversorgung.

Aus diesem Grund war es erforderlich, einen neuen Schaltanlagentyp zu entwickeln, der bei geringstem Raumbedarf allen modernen technischen Anforderungen entspricht und zugleich ausgesprochen umweltfreundlich ist.

Es, dass das Gas "SF₆" in Isolation- und Lichtbogenlöschtechnik eintritt, hatte angeführt, die metallgekapselten gasisolierten Schaltanlagen (GIS-Gas Insulated Switchgear) entwickelt worden zu sein. GIS-Anlagen sind Anlagen, welche die allen Schaltgeräte (isoliert mit Druckgas SF₆) in konventionellen Schaltanlagen mit Hilfe von den geerdeten Metallgehäusen erhalten.

Das Thema ist als theoretische und praktische Grundlagen innerhalb der zwei Kapiteln genau untersucht. Im ersten Kapitel hatte man die wichtigen theoretischen Wertmesser der Technologie "GIS" seit der physikalischen Eigenschaften von SF₆ beachtet.

Im zweiten Kapitel sind die Einsetzungen bei der Praxis der Technologie "GIS" erzählt und im Hinblick auf die Türkei ausgewertet.

Juni, 1990 ~~ayna vada Benzer Sığlığındır~~ ~~aa Selim Trablus~~
~~Istanbul~~

~~Negatif molekul iyonları sağladığı mekanizmasının
re negatif olunabilmesi~~

a) Notr 52 I. BÖLÜM
 B) Aşağıda verilenlerde, bu olayda iyon biriktilir.
 c) Rezonans tutma, bu olayda başka bir moleküle stabilize edilebilir.

TEORİK ESASLAR

1.SF₆-Gazının Özellikleri:

1.1.Genel Olarak:

SF₆, 1900'lü yıllarda Moissan ve Lebeau tarafından Paris'te ilk defa flor gazı içinde kükürdüün yakılması ile elde edildi. 1937'de Cooper SF₆'yı izole edici gaz olarak araştırdı. 1938'de Alman Patent Grossen elektrik arkını söndürme amacıyla SF₆ ile ilgilendi. 1948'den itibaren flor gazı içinde 300°C'de akışkan kükürdüün yakılmasıyla daha büyük miktarlarda imalat yapıldı. SF₆'lı ilk güç şalteri 1960'da Amerika'da, 1966'dan itibarende GIS-Tesisleri işletmeye girmiştir.

1.2.Kimyasal Özellikleri:

SF₆-Molekülüün yapısı sekiz yüzlü olarak kabul edilmektedir. SF₆-Gazı yaklaşık bir asal gaz gibi davranışır. Normal şartlarda renksiz, kokusuz, tadsız, yanmaz, zehirsiz bir gazdır. Gaz kimyasal olarak 500°C'e kadar stabildir.

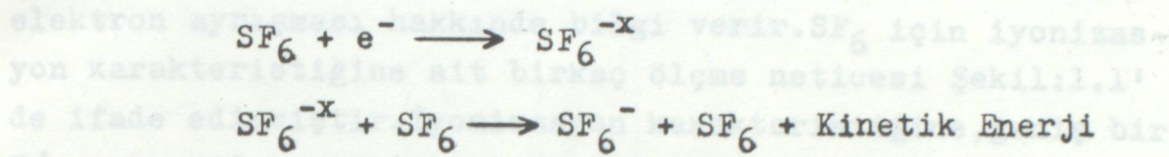
1.3.Fiziksel Özellikleri:

1.3.1.Elementer İşlevler:

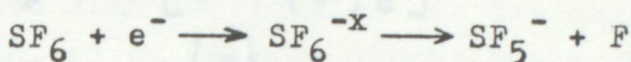
SF₆-Molekülleri, çok kolayca elektronları tutma özelliğine sahiptir. Bunun için bu gaz elektronegatif olarak bilinir. Bu olay, gaz hacminde elektronlar bakımından faktirleşmeye sebebiyet verir. Tutma sonucu, delinmeye sebebiyet veren elektron yığılmalarından elektronlar çekilir. ve yığılmaların büyümesi yavaşlatılır. Ortaya çıkan iyonlar, alan içinde parçacıklar arasındaki iyi enerji transferinden dolayı aynı yada benzer ölçülerde enerji kazanırlar. Hiçbir negatif iyon teşkil etmeyen gazlara kıyasen, SF₆'nın yüksek dielektrik dayanımı elektronlar için geniş tutma olasılığına bağlıdır.

Negatif molekül iyonları aşağıdaki mekanizmalara göre teşkil olunabilir:

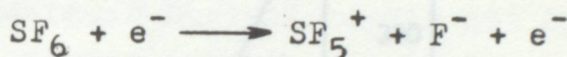
a) Nötr SF_6 molekülü ile Rezonans tutma, bu olayda iyon biriktirilir. İyon bir darbede başka bir moleküle stabilize edilebilir.



b) Ayrışma sonucu yığılma, buradan fazla enerji molekülün ayrışmasına sebebiyet verir. (1.2)



c) Çifte iyon teşkili. Molekül, elektron darbesi sonucu, yeniden tutulma olmaksızın bir pozitif ve bir negatif iyon ayrılır.



(a) ve (b) işlevi elektron sayısını azaltır, (c) işlevi elektronların alanı bozmasına sebebiyet vererek yük taşıyıcı sayısında bir artış meydana getirir.

Elektron ayrılımasına sebebiyet veren işlevler:

- a) Tahrik edilmiş (hareketli) atomlara sahip negatif iyon darbeleri,
- b) İyonlar sayesinde yayılan ışımaların absorbsiyonu,
- c) Yüksek enerjili elektron, iyon veya molekül darbeleri,
- d) Nötral atomlu darbeler.

Bu olaylar kritik bir yığılma oluşumunu teşvik eden bir elektron artışı sebebiyet verirler.

1.3.2. İyonizasyon Karakteristiği:

İyonizasyon olayları çok kompleks oldukları için, iyonizasyon katsayılarının tesbiti küçük basınçta homojen alanda yapılmaktadır. 1. Townsend iyonizasyon katsayısı α ve yığılma katsayısı η , akım artış denklemi üzerinden belirlenebilir.

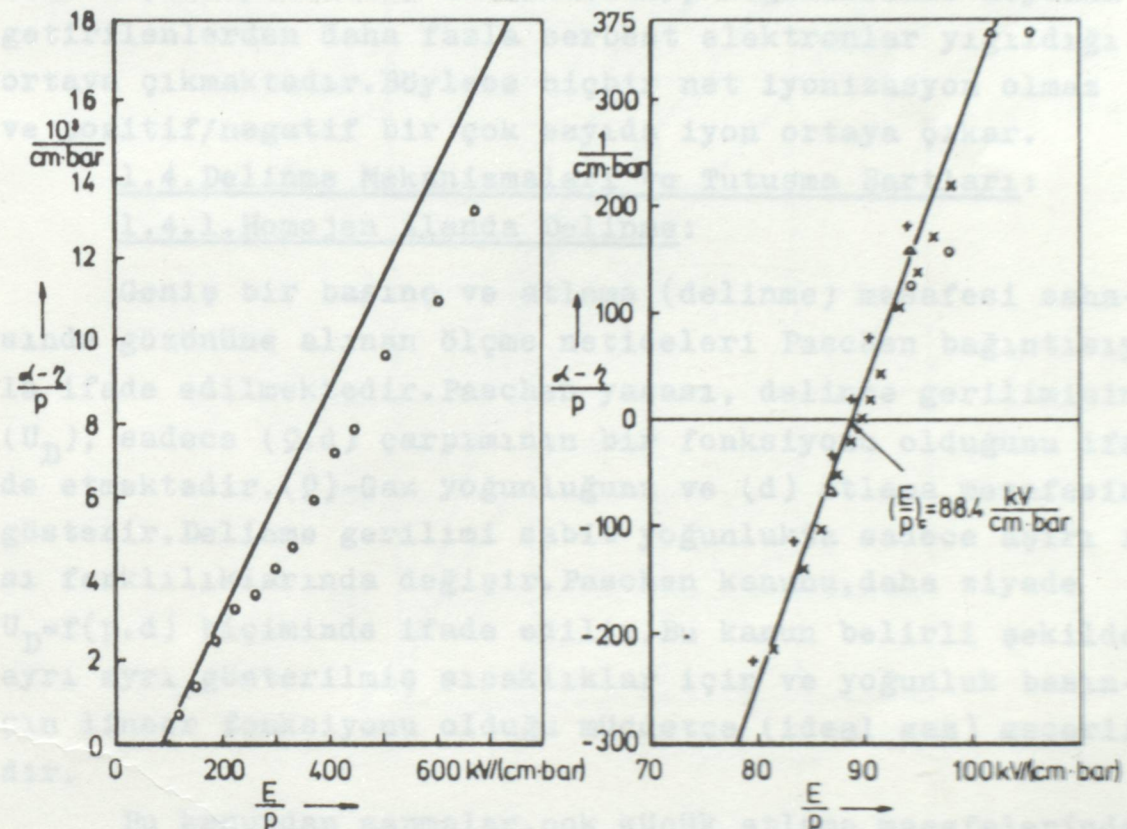
$$I = I_0 \left[\frac{\alpha}{\alpha - \eta} e^{(\alpha - \eta)d} - \frac{\eta}{\alpha - \eta} \right] \quad (1.1)$$

I_0 = Başlangıç akımı (Tamamıyla katodda ultra-viyole ışın yayılması sonucunda oluşur.)

Meydana gelen yığılmaların zamanla gelişimi incelenir. Bu, çeşitli yük taşıyıcılarının ve sekonder tesirlerin yığılma hızı üzerine ayrıca iyonizasyon, elektron yığılması ve elektron ayrışması hakkında bilgi verir. SF_6 için iyonizasyon karakteristiğine ait birkaç ölçme neticesi Şekil:1.1'de ifade edilmiştir. İyonizasyon karakteristiğine, geniş bir E/p sahasında aşağıdaki lineer denklem ile yaklaşılabilir.

$$\frac{\alpha - \eta}{p} = k \left[\frac{E}{p} - \left(\frac{E}{p} \right)_c \right] \quad (1.2)$$

$$k = 27,7 \text{ l/kV} \quad , \quad \left(\frac{E}{p} \right)_c = 88,4 \text{ kV/(cm.bar)}$$



Şekil:1.1 (1.2) Denklemine göre SF_6 için iyonizasyon karakteristiği.

Kaçınılması mümkün olmayan alan bozulmaları ve gereklili yüzey şartlarını meydana getirmede karşılaşılan zorluklar bunun önemli nedenleridir. SF_6 , ideal olmayan bir gaz olduğu için, gaz basıncı ile ilgili iyonizasyon karakteristiğini bir sıkışabilme faktörü ile değiştirilmesi tek-

lif edilmiştir. Bu teklifte, karakteristik basınç yerine gaz yoğunluğu dikkate alınmaktadır. Bu yüzden iyonizasyon karakteristiği aşağıdaki biçimde kullanılır. Bu, (1.2) denklemini yoğunluğa bağlı kilmaktadır.

$$\frac{\alpha-\eta}{\varrho} = k \left[\frac{E}{\varrho} - \left(\frac{E}{\varrho} \right)_c \right] \quad (1.3)$$

$$k = 27,7 \text{ l/kV} , \quad (E/\varrho)_c = 14,4 \text{ kV.l/(cm.gr)}$$

Iyonize olan elektronlar bir hız dağılımına tabi oldukları için, (1.2) ifadesi sadece büyük sayıdaki gaz moleküllerinin ortalama davranışını verir. (1.2) İfadesinden, $88,4 \text{ kV/(cm.bar)}$ altındaki E/p değerlerinde meydana getirilenlerden daha fazla serbest elektronlar yığıldığı ortaya çıkmaktadır. Böylece hiçbir net iyonizasyon olmaz ve pozitif/negatif bir çok sayıda iyon ortaya çıkar.

1.4. Delinme Mekanizmaları ve Tutuşma Şartları:

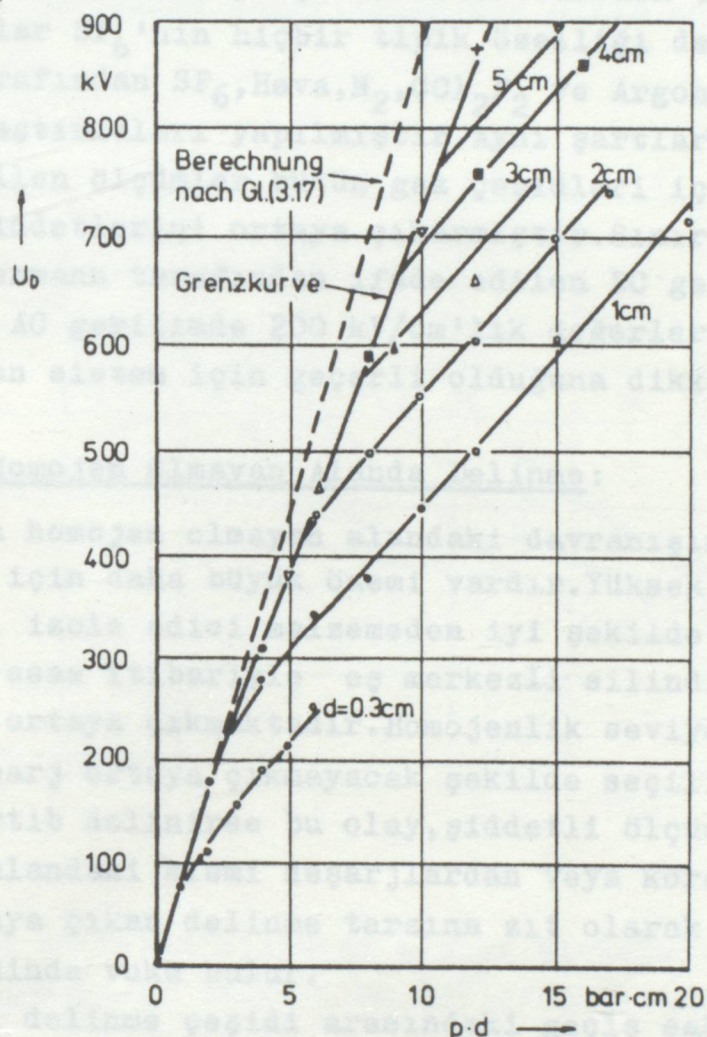
1.4.1. Homojen Alanda Delinme:

Geniş bir basınç ve atlama (delinme) mesafesi sahanın gözönüne alınan ölçme neticeleri Paschen bağıntısıyla ifade edilmektedir. Paschen yasası, delinme geriliminin (U_D), sadece ($\varrho.d$) çarpımının bir fonksiyonu olduğunu ifade etmektedir. (ϱ)-Gaz yoğunluğunu ve (d) atlama mesafesini gösterir. Delinme gerilimi sabit yoğunlukta sadece aşırı ıslıklılıklarında değişir. Paschen kanunu, daha ziyade $U_D = f(p.d)$ biçiminde ifade edilir. Bu kanun belirli şekilde ayrı ayrı gösterilmiş sıcaklıklar için ve yoğunluk basıncın lineer fonksiyonu olduğu müddetçe (ideal gaz) geçerlidir.

Bu kanundan sapmalar, çok küçük atlama mesafelerinde veya daha yüksek basınqlarda ortaya çıkmaktadır. Sapmalar, yüksek alan şiddetleriyle ilişkili olarak (100 kV/cm) elektrodlarda meydana gelmektedir. Sapmaların ortaya çıktığı sıradaki alan şiddeti değeri, elektrod dış yüzey durumuna ve gaz hacmindeki parçacık şeklindeki kirlenmelere bağlıdır.

Paschen bağıntısı, ölçme değerleri $p < 2 \text{ bar}$ ve $d > 0,3 \text{ mm}$

için alındığı takdirde, 1bar.cm'lik (p.d) değerlerine kadar ifade edilmektedir. Paschen bağıntısına göre, delinme gerilimi belirli bir atlama mesafesinde artan basınçla beklenilen den daha az arttığı için, daha yüksek (p.d) değerlerinde (d) parametresiyle bir anlatım tercih edilmektedir. Oppermann ve Kawaguchi et al'in ölçme değerleri Şekil:1.2'de gösterilmiştir.



Sekil:1.2 SF_6 için, çeşitli atlama mesafelerinde Paschen eğrileri.

Her iki araştırma birbirine mutabiktir. Kesikli eğri (1.12) denklemine göre bir hesaplamaya uymaktadır. Yoğunluk 1 bar'daki değerden hareket ederek, lineer olarak ekstrapolasyonu yapılmıştır. Ölçülen sınır eğri, $p.d=2 \text{ bar.cm}^2$ 'den itibaren hesaplanan değerlerden daha küçüktür.

Bugün bu sınır eğri Paschen eğrisi olarak ve (d) parametresine bağlı eğriler Paschen bağıntısından sapmalar olarak ifade edilmektedir.

Şekil:1.2'den, geçerlilik sınırındaki delinme alan şiddetinin (yani sınır alan şiddetini), basınç ve atlama mesafesine pratik olarak bağlı olmayan bir değere (150-250 kV/cm) sahip olduğu ortaya çıkmaktadır. Paschen bağıntısından bu sapmalar SF₆'nın hiçbir tipik özelliği değildir. Oppermann tarafından SF₆, Hava, N₂, CCl₂F₂ ve Argon arasında kıyaslama araştırmaları yapılmıştır. Aynı şartlar altında gerçekleştirilen ölçümler, bütün gaz çeşidleri için aynı sınır alan şiddetlerini ortaya çıkarmıştır. Sınır alan şiddetinin, Oppermann tarafından ifade edilen DC gerilimde 160 kV/cm ve AC gerilimde 200 kV/cm'lik değerlerinin sadece araştırılan sistem için geçerli olduğuna dikkat edilmelidir.

1.4.2. Homojen Olmayan Alanda Delinme:

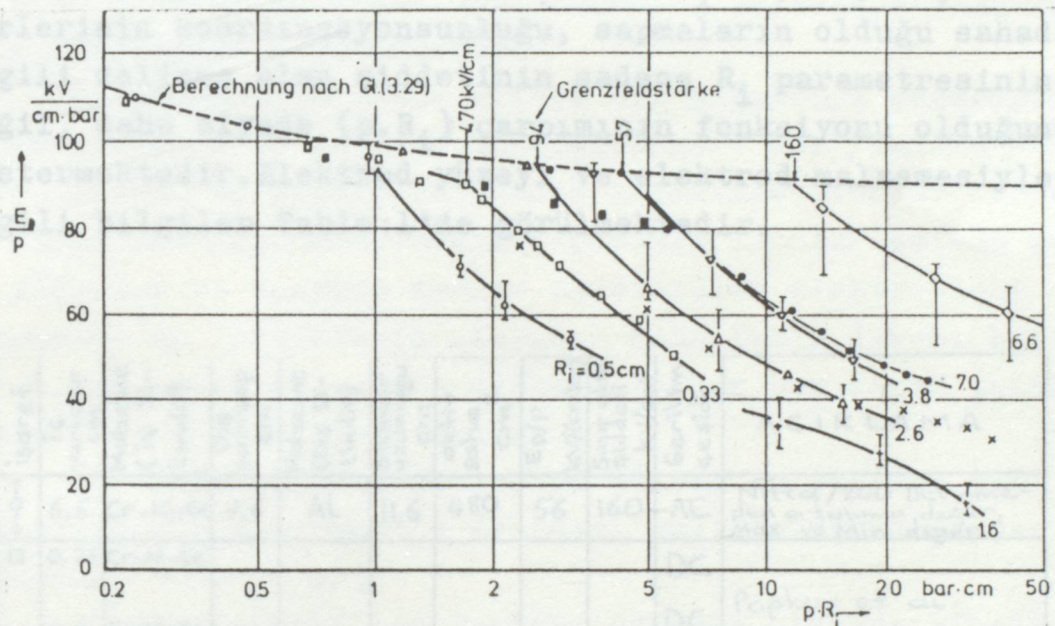
SF₆ nin homojen olmayan alandaki davranışının teknik kullanım için daha büyük önemi vardır. Yüksek gerilim tesislerinde, izole edici malzemeden iyi şekilde faydalansması için esas itibariyle eş merkezli silindir veya küre alanlar ortaya çıkmaktadır. Homojenlik seviyesi, hiçbir kısmi deşarj ortaya çıkmayacak şekilde seçilir. Eğer böyle bir tertib delinirse bu olay, şiddetli ölçüde homojen olmayan alandaki kısmi deşarjlardan veya korona delinmesinden ortaya çıkan delinme tarzına zıt olarak direk bir delinme biçiminde vuku bulur.

Her iki delinme çeşidi arasındaki geçiş sahası Sangkasaad tarafından araştırılmıştır. Eğer alan homojensizliği çok büyük olmadığı takdirde 6 bar'a kadar ki basınç sahasında hiçbir korona delinmesi ortaya çıkmamıştır. Lokal homojen olmayan alanda meydana gelen bozulmalar partiküller ve yırtıklar (yarıklar) şeklinde ortağa çıktıığı takdirde, korona delinmeleri oluşabilir. Bu durum daha ziyade, hazır monte edilmiş yapı parçalarında bir kısmi deşarj denemesiyle ortaya çıkartılabilir.

Silindir alandaki davranışa genel bir bakış vermek için, (1.4) bağıntısı kullanılır.

$$\frac{E_D}{p} = f(p \cdot R_i) \quad (1.4)$$

AC ve DC gerilimde negatif iç silindir ile birlikte en düşük delinme gerilimleri ortaya çıktığı için Şekil:1.3 de sadece bu tür ölçme değerlerine bir bakış gösterilmişdir.



Şekil:1.3 Eş merkezli silindir alanda ölçümlerin kıyası.
(İşaretler Tablo:1'de belirtilmiştir.)

Kesikli eğri, (2.11) denklemine göre hesaplanan davranışa tekabül etmektedir. Burada lineer bir yoğunluk artışı 1 bar'daki değerden hareket ederek kabul edilmektedir. Benzerlik kanunu makroskopik alanda sınırlanmış olmasaydı o zaman bütün ölçme noktalarının hesaplanan eğri üzerinde bulunması gerekiirdi. Şekil:1.3'de homojen olmayan silindir alan için, homojen alandaki gibi benzer bir davranış görülmektedir. Küçük delinme alan şiddetlerinde (küçük basınçta)

ölçme neticeleri hesaplanan eğri üzerinde veya yakınında bulunmaktadır. Şekil:1.3'den, sapmaların başladığı sınır alan şiddetinin belirlenmesine çalışılırsa, o zaman $60\text{kV}/\text{cm}$ ve $200 \text{kV}/\text{cm}$ arasında bu alan şiddeti bulunabilir.

Farklı deneme şartları, genel olarak geçerli bir alan şiddetinin ifade edilememesine sebebiyet verir. Buna karşılık, eğrilerin bir bölümünde kuvvetli sapmaların olduğu sahada sabit E_D/p değerine doğru bir doyma eğilimi farkedilmektedir. Husbands'ın ölçme değerleri, çok yüksek basınçta (20 bar) E_D/p değerinin, hesaplanan değerin %14'üne kadar azalabildiğini göstermektedir (Bak. $R_1 = 1,6\text{cm}$). Ölçme değerlerinin koordinasyonsuzluğu, sapmaların olduğu sahada ilgili delinme alan şiddetinin sadece R_1 parametresinin değil, daha ziyade ($p.R_1$) çarpımının fonksiyonu olduğunu göstermektedir. Elektrod yüzeyi ve elektrod malzemesiyle ilgili bilgiler Tablo:1'de görülmektedir.

İsaret	$\frac{1}{4}$ Yaricap cm	Malzeme ($\frac{1}{4}$ Si-Lindir)	$\frac{1}{4}$ Yaricap cm	Malzeme ($\frac{1}{4}$ Si-Lindir)	Silindir uzunluğu cm	Aktif saha ² cm ²	E_D/p kV/(cm ²)	Sıvı dalaş siddeti kV/cm	Gerişim geridi	AÇIKLAMA
Y	6,6	Cr-Ni-Ge	7,6	AL	11,6	480	56	160	AC	Nitta /200 Delinmeden ortuluma değer, Max ve Min. değer.
□	0,33	Cr-Ni-Ge							DC	Popkov et al.
■	0,5	Cr-Ni-Ge							DC	
Y	0,5	Cr-Ni-Ge	12,5	Piring	91,5	257	66	190	DC	Bartnik, Couke / Ortalama, maximal ve minimal değer
Y	2,6	AL	12,5	Piring	91,5	1340	48	94	DC	
Y	3,8	Cr-Ni-Ge	12,5	Piring	91,5	1960	51	114	DC	
T	1,6	AL	4,3	AL	27	244	41	—	AC	Husbands / Ortulama, max. ve min. değer
X	2,5	AL	4,8	Gelik	25	353	48	—	AC	Menju
•	7,0	AL	12,5	AL	75	3300	44	57	AC	Ermel Ortalama değer

Tablo: 1 Şekil:1.3 için ölçme şartları.

Artan yüzeyle birlikte E_D/p 'nin Nitta tarafından ifade edilen azalışı Cr-Ni-Çelik mamülü elektrodların dahilinde

de mevcuttur. Ancak Alüminyum elektrodlar karşılıklı olarak kıyaslanırsa, monoton hiçbir gelişme bilinemez. Cr-Ni Çelik mamülü iç iletkenlerde daha yüksek E_D/p değerleri-ne ulaşılmaktadır.

1.4.3. Townsend Deşarjı:

Bir gaz hattında zayıf bir alan bulunursa, gaz hactindeki daima mevcut serbest elektronlar ve iyonlardan dolayı küçük bir yol alma akımı akar. Yüksek alan şiddetle-rinde, bu akım iyonizasyon işlevleriyle çok şiddetli ola-rak yükseltilir. Primer iyonizasyon işlevleri elektronlar ve nötr moleküller arasındaki darbeler sayesinde elektron iyon çiftlerini oluştururlar.

Elektronların çabuk artışı bir yığılma sebebiyet verir. Townsend'ın delinme teorisine göre ilk yığılma ka-todda başlar ve deşarj hattından geçer. Elektronlar böyle-ce anoda akarlar, buna karşılık pozitif iyonlar katoda ge-ri giderler ve katodda tekrar oluşturulan elektronlara çarparlar. Bu iyonizasyon olayının daha fazla devamı halin-de akımın artışına ve son olarak iletken bir kanal içinde yükselmesine sebebiyet verilir.

Her yığılmanın geri tesiri tekrar en azından yeni bir başlangıç elektronunu ayırması halinde bir deşarjin tutuşması vuku bulur.

Elektronegatif bir gazdaki homojen olmayan alanda tutuşma şartının çıkartılması için, bir yığılma içindeki pozitif iyonların sayısının (N) tesbit edilmesi gerekmektedir. Toplam geri (ters) etki katsayısı (γ), pozitif iyon-ların sayısıyla ilişkilidir ve katoddan çıkan iyon darbe-leri ve fotonlar sonucu iyon başına birçok elektronun na-sıl çözüldüğünü ifade etmektedir. Maksimum alan şiddetinin bulunduğu alan hattı üstünde, katodun x aralığında, bir başlangıç elektronu bir N_e yığılmasına doğru artar.

$$N_e = e^{\int_0^x (\alpha - \eta) dx} \quad (1.5)$$

($x, x+dx$) aralığında, (x) yerindeki mevcut elektron-



lar yeni iyonları meydana getirir. ~~İkinci sekonder elektron-~~
~~deşarjın sonucunda bu iyonlar sekonder virgülolar oluşturur. Sekon-~~
~~der virgüloların sayısı deşarjın boyutundan etkilidir.~~

$$dN = N_e \cdot \alpha \cdot dx \quad (1.6)$$

Böylece bir başlangıç elektronu için pozitif iyonların toplam sayısı (1.7) ifadesiyle belirtilebilir.

$$N = \int_0^d e^{-\int_0^x (\alpha - \eta) dx} \alpha dx \quad (1.7)$$

Pozitif iyonlar, $\alpha < \eta$ için olan alan hacmi içinde da-hi oluşturuldukları için, bütün elektrod aralığı üzerinden integral almak gereklidir. $N \geq 1$ olur olmaz, deşarj kendiliğinden başlar. Böylece tutuşma şartı (1.8) denklemi olmaktadır.

$$\gamma \int_0^d e^{-\int_0^x (\alpha - \eta) dx} \alpha dx \geq 1 \quad (1.8)$$

Homojen bir alan değişimi için:

$$\gamma \frac{\alpha}{\alpha - \eta} \left[e^{-(\alpha - \eta)d} - 1 \right] \geq 1 \quad (1.9)$$

olmaktadır. Eğer $\alpha < \eta$ ise, (1.9) denkleminden hiçbir delinmenin ortaya çıkamayacağı görülmektedir. (1.8) ve (1.9) denklemelerindeki tutuşma şartlarını kullanmak zordur.

Çünkü γ , gazın safliğine ve yüzey yapısına çok bağlıdır. Bu amaçla, homojen olmayan alanda çift integrasyonlu şartın değerlendirilmesi gerekmektedir. Delinmenin hızlı bir gelişimi, fotonlar sayesinde ters etkiden dolayıda mümkün olmaktadır.

1.4.4. Streamer Teorisi:

Deşarjin kısa zamanlı akışı, delinmenin bir tek yiğilma tarafından iletilebildiği kabulünü verir. Kanal oluşumu esnasında yiğilma içindeki bir tek hacimsel yük, belirli bir kritik büyüklüğe sahip yiğilmanın devamlı artmasına ve onun artış hızının anot doğrultusunda büyük ölçüde yükselmesine (Anoda Doğrultulmuş Streamer) sebebiyet verir.

Pozitif iyonlar katoda geri akmalarından önce, kuv-

vetli hacimsel yük alanlarından dolayı sekonder elektronları çekerler. Bu suretle sekonder yiğilmalar oluşur. Sekonder elektronlar, yiğılma başı içindeki darbe iyonizasyonu sırasında ortaya çıkan kuvvetli UV-ışımıyla çözülürler. Böylece kısa zamanda yiğima başı ve katod arasında bir deşarj hortumu ortaya çıkar (Katoda Dogrultulmuş Streamer).

Her iki Streamer oluşumu sayesinde, elektronlar iletken bir plazma kanalıyla bağlanmıştır. Bu kanalda yüksek değerli deşarj olusur. Streamer oluşumu için, şimdije kadar geniş fiziksel bir teori henüz geliştirilememiştir. Ancak aşağıdaki şartların yerine gelmesi gerekmektedir:

- Yiğılma başında, kâfi miktarda yüksek enerjili foton oluşturulmalıdır,
- Bu fotonların, yiğılma başının direk yakınındaki gazı iyonize edebilmeleri gerekmektedir,
- Sekonder yiğilmaların ortaya çıkabilmeleri için yiğılma başındaki hacimsel yük alanı kâfi miktarda büyük olmalıdır.

Raether tarafından, $(\alpha - \eta)x_c \sim 20$ 'lik bir yiğılma şiddetlenmesi esnasında homojen alanda yiğılma oluşumunun elde edilebildiği ifade edilmiştir (Burada x_c , 20 şiddetlenmedeki kritik yiğılma uzunluğu). Böylelikle homojen alanda tutuşma kriteri formüllize edilebilir. Eğer katodda başlatılmış bir yiğılma tüm elektrod aralığı üzerinden (d) kritik şiddetlenmeye maruz kalırsa, kendiliğinden deşarj olusur. Homojen olmayan alanda, elektrod aralığı üzerinden maksimum alan şiddeti hattı boyunca, $(\alpha - \eta)(x)$ fonksiyonunun integralinin alınması zorunludur. Katod alanı monoton olarak düşerse, o zaman elektronegatif bir gaza yiğılma, sadece $(E/p)_c$ 'nin elde edildiği x_c yerine kadar artabilir (Katoddan daha büyük uzaklıkta $\alpha < \eta$ olduğu için). Böylece bilinen Streamer kriterinin, n_o başlangıç elektronları için formüllize edilmesi mümkündür.

$$\int_0^{x_c} (\alpha - \eta)dx = \frac{K}{n_o} \quad (1.10)$$

K, gaz yoğunluğunun ve yığılma uzunluğunun zayıf bir fonksiyonudur ve geniş anlamda sabit olarak kabul edilebilir. Streamer kriteri, gözlenen fiziksel olaylara dayalı deneysel bir şarttır. Halbuki, deşarj mekanizması üzerine hiçbir yargıya izin vermez. Bu kriterin, delinme geriliminin hesaplanmasındaki elverişliliği çeşitli gazlar da çok geniş bir parametre sahasında ispatlanmıştır.

Townsend ve Streamer teorisinin tesirleri, $n_0 = 1$ kabülü ile aynı etkilerdir (Ancak negatif iyon akış zamanından daha küçük zamanlardaki delinme gelişimi hariç olmak üzere). $N \geq 1$, Townsend oluşumuna göre tutuşma için kritik bir iyon sayısı teşkil edilmesi gerektiğini ifade etmektedir. Bu olay kritik şiddetlenme olarak da anlaşılabilir. Ayrıca bir veya daha fazla yığılmanın elde edilip edilmediği ehemmiyetsizdir. Bu amaçla, K ve γ çok az olarak tam manasıyla bilinmektedir. Çeşitli yazarlar K'yi farklı değerler olarak kabul ederler. Raether tarafından $\sim 20'$ lik bir değer kabul edilir. Pedersen tarafından SF_6 için $\sim 10,6'$ lik bir değer ifade edilmiştir.

Homojen alanda (1.10) denklemi,

$$(\alpha - \eta) d = K \quad (1.11)$$

şeklinde basitleşebilir. (1.3) ifadesi gözönüne alınarak (iyonizasyon karakteristiği) delinme gerilimi belirtilebilir:

$$U_D = \frac{K}{27,7} (kV) + 9 \cdot d (14,4 \frac{kV \cdot 1}{cm \cdot g}) \quad (1.12)$$

Tam olarak bilinmeyen K'nın etkisini elde etmek için, K değişken olarak kabul edilir ve (1.12) denklemi K'ya göre türetilirse,

$$\frac{\partial U_D}{\partial K} = \frac{1}{27,7} \text{ kV} \quad \text{değerinin verilmesi} \quad (1.13)$$

ortaya çıkar.

Iyonizasyon karakteristiğinin değişimini gösteren eğrinin büyük dikliğinden dolayı, K ile delinme geriliminin değiştirilmesi küçük kalmaktadır.

Daha büyük (ϱ .d) değerlerinde (Bu değerler SF₆'nın pratik kullanımında ortaya çıkarlar), (1.12) denkleminin birinci teriminin önemi azalır. Böylece, delinme geriliminin hesaplanması için K'nın tam olarak bilinmesi önemli olmamaktadır. Bu sonuçlardan, K-değerinin sadece küçük (ϱ .d) değerlerinde direk delinme geriliminden tesbit edilebildiği görülebilir.

2. Delinme Geriliminin Hesabı:

2.1. Genel Hesaplama Tarzı:

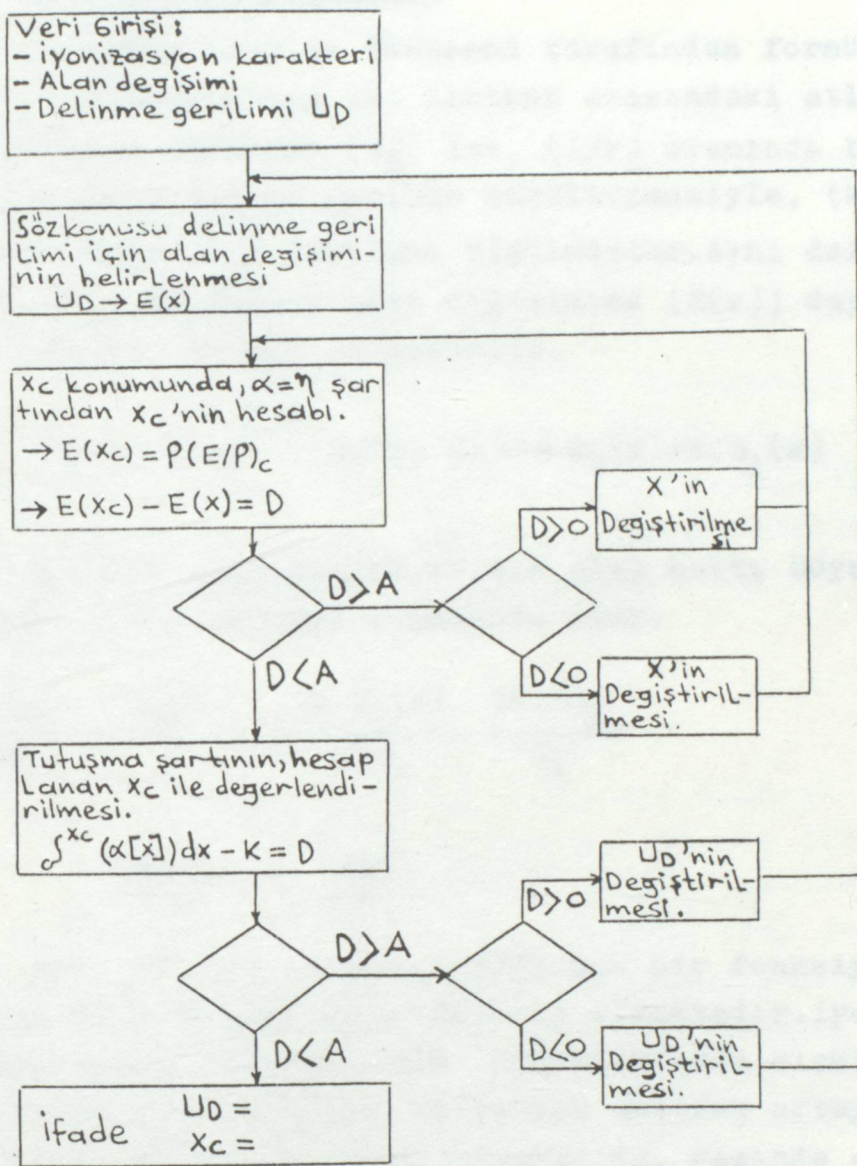
Eğer aşağıdaki büyüklükler bilinirse, diğer elektrod biçimleri için delinme gerilimi Streamer teorisine göre hesaplanabilir.

- a) Yığılmanın en şiddetli olarak arttığı kritik alan hattının alan değişiminin ($E(x)$) bir formül veya bir nümerik tablo biçiminde bilinmesi,
- b) İyonizasyon karakteristiği eğrisi $\frac{\alpha - \eta}{\varrho} = f(E/\varrho)$, denklem (1.3),
- c) Alan monoton azalırsa, $\alpha - \eta = 0$ olduğu yerde, integrasyonun kesilebilmesi şartı.

Tutuşma şartını (Denklem (1.10)) genel olarak değerlendirmek mümkün değildir. Sadece tamamen basit durumlarda veya teknik uygulama için tamamiyle ölçülebilen basitleştirmelerle, delinme gerilimi için (U_D) anlaşılır bir formül ifade edilebilir. Ekseriya kritik yığılma uzunluğu saadece genelleştirilmiş bir ifade içinde gözönüne alınır veya tümünün nümerik olarak değerlendirilmesi gerekmektedir. Şekil:2.1'de belirtildiği gibi, böyle durumlarda bir iterasyon metoduna göre derece derece ilerlemek gereklidir.

Veri girişinden sonra, (U_D) gerilimi için bir başlangıç değeri ile alan değişimi tesbit edilir. Kritik yığılma uzunluğu için bir "Başlangıç" değerinin verilmesinden sonra kısmî bir programla (x_c)'nin yeri (konumu) alan değişimi içinde araştırılır. Burada $E(x_c) = \varrho(E/\varrho)_c$ şartı, yani $\alpha = \eta$ yerine getirilmiş olmalıdır.

Arama programı, sapma kriterinin yerine getirilmesiyle stop ettirilir. Ve tutuşma şartı elde edilen (x_c) değeriyle değerlendirilir.



Şekil:2.1 Genel hesaplama metodunun akış şeması (A =Kesme şartı, D =Fark).

Böylece elde edilen yığılmmanın çok büyük veya çok küçük olup olmadığına göre (U_D) değeri değiştirilir ve yeniden hesaplama başlatılır. Ayrıca, yığılma büyülüklüğü için sapma kriteri gerçekleştirilinceye kadar yeni (x_c) ve (U_D) değerlerinin hesaplanması gerekmektedir. Bu surette belirlenen (U_D) değeri delinme gerilimidir ve son geçiş içinde hesaplanan (x_c) değeri yığılma uzunluğudur. Çok düz alan değişimleri müstesna olmak üzere, normal tarzda iterasyon olayları bir noktaya yönelirler.

2.2. Benzerlik Kanunu:

Bu kanun 1913'de Townsend tarafından formülize edilmiştir.(p) basıncında iki iletken arasındaki atlama (geçiş) veya delinme gerilimi (U_D) ise, (l/k) oranında bütün ebadlarin tümüyle benzer şekilde küçültülmesiyle, ($k.p$) basıncında aynı (U_D) gerilimi ölçülmüştür. Aynı delinme gerilimi (U_D) ve benzer alan değişimine ($E(x)$) dayanarak (2.1) ifadesi ortaya çıkmaktadır.

$$U_D = \int_0^d E_1(x) dx = \int_0^{d/k} E_2(x) dx \rightarrow E_2(x) = k \cdot E_1(x) \quad (2.1)$$

Halbuki iyonizasyon,kritik alan hattı boyunca incelemirse, (2.2) ifadesi sözkonusu olur.

$$\frac{(\alpha-\eta)_2}{\varrho_2} = f \frac{E_2(x)}{\varrho_2} = f \frac{k \cdot E_1(x)}{k \cdot \varrho_1} = \frac{(\alpha-\eta)_1}{\varrho_1} \quad (2.2a)$$

$$\frac{(\alpha-\eta)}{\varrho} = f \left(\frac{E}{\varrho} \right) \quad (2.2b)$$

Eğer $(\alpha-\eta)/\varrho$, sadece (E/ϱ) 'nun bir fonksiyonu olursa, benzerlik kanunu ancak geçerli olmaktadır. İyonizasyon karakteristiği sadece küçük yoğunluklarda ölçülebildiği için ve moleküller arası kuvvetler artarak ortaya çıktıkları için, bu şartın ideal olmayan SF_6 gazında çok yüksek yoğunluklarda gerçekleştirilebilir ve gerçekleştirilemeyeceği şüphelidir.

Benzerlik kanununa göre, geometrik benzer sistemlerin (Ör:Eşit yarıçap oranlı koaksiyal silindirler) delinme gerilimi, basıncı ve alan değişimini için (g) ile gösterilen önemli bir büyülükle tesbit edilebilir.

$$U_D = f(p \cdot g) = f(k \cdot p, -\frac{g}{k}) \quad U_D = f(p \cdot g) \quad (2.3)$$

(2.3) ifadesinden, U_D 'nin yalnızca $(p \cdot g)$ çarpımının bir fonksiyonu olduğu ortaya çıkmaktadır. Delinme gerilimi aynı ise, basıncı bağlı alan şiddeti benzer sistemlerde sabit kalmaktadır.

$$\frac{E_1(x)}{p_1} = \frac{kE_1(x)}{kp_1} = \frac{E_2(x)}{p_2}$$

(2.4)

olduğu (2.3) ve (2.4) denklemlerinden, basınçla ilişkili alan şiddetinin sadece ($p.g$) çarpımının bir fonksiyonu olduğu ortaya çıkmaktadır.

$$\frac{E(x)}{p} = f(p.g) \quad (2.5)$$

Elektrod sisteminde en büyük zorlanmanın olduğu yerde, delinme deşarjı esnasındaki maksimum alan şiddeti işaretlenirse, delinme alan şiddeti (E_D) olarak ve bu yerde tesbit edilen geometrik büyülüük olarak kırılma yarıçapı (r) alınırsa, o zaman (2.6) bağıntısı ortaya çıkar.

$$\frac{E_D}{p} = f(p.r) \quad (2.6)$$

Elektronegatif bir gazda deşarj oluşumu için, sadece devamlı azalan bir alan değişimine ait net bir iyonizasyonun ortaya çıktığı bölüm önemli olduğu için, (2.6) bağıntısının geçerliliği amacıyla bu sahadaki alan değişimlerinin benzerliği kâfidir. Ayrıca, benzerlik kanunu (2.6) bağıntısı formunda kullanılmaktadır. Bu, tutuşma şartı sadece yüksek alan şiddetinde gerçekleştirilir gerçekleştirilemez, benzerlik kanununun lokal bir alan bozulma sahasında tatbik edilebileceğini göstermektedir. Alan değişimini için karakteristik geometrik büyülüük, makroskopik tertib tarafından değil, bozulma tarafından belirlenir. Eş merkezli silindir durumundaki bütün silindir sistemleri, kritik yığılma uzunluğu daha kısa veya atlama mesafesine eşit olduğu müddetçe ve bu silindirler farklı yarıçap oranlarına sahip olsalar bile (2.6) denklemiyle uygunluk teşkil ederler.

Düz elektroldü özel durumda, benzerlik kanunu Paschen bağıntısını ihtiva etmektedir. Ayrıca atlama mesafesi (d) karakteristik geometrik büyülüük olur ve (2.7) bağıntısı ortaya çıkar.

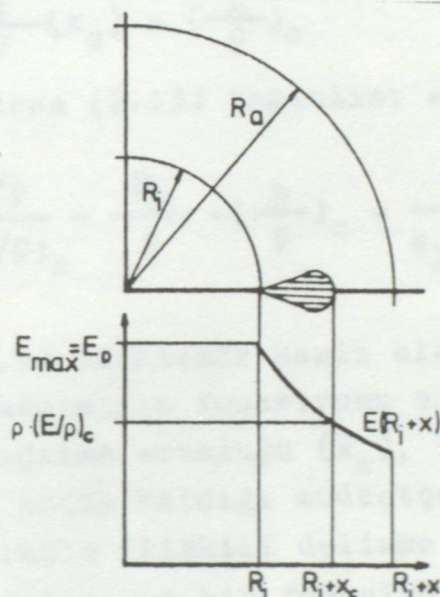
$$\frac{E_D}{p} = f(\vartheta.d) \quad (2.7)$$

Buraya kadar Streamer teorisi, $(\alpha - \eta)/\varrho = f(E/\varrho)$ bağıntısı ve yığılma büyüğü için sabit bir (K) ile ilişkili olduğu için, bu teoriye göre hesaplanan delinme gerilimleri benzerlik kanununa uymaktadır. (1.12) bağıntısının biçim değiştirmesinden anlaşılacağı gibi, homojen alanda bu gerçekleştirılmıştır:

$$\frac{E_D}{\varrho} = \frac{(K/27,7)kV}{(\varrho \cdot d)} + 14,4 \frac{kV \cdot l}{cm \cdot g} \quad (2.8)$$

(E_D/ϱ) , böylelikle sadece $(\varrho \cdot d)$ çarpımının fonksiyonudur.

Örnek olarak, homojen olmayan bir alan için delinme geriliminin silindirsel alan için hesaplanması istenmiş olsun: Şekil:2.2'de gerekli büyüklükler ifade edilmiştir.



Şekil:2.2 Eş eksenli bir silindir alanda delinme alan şiddetinin hesaplanması için geometrik tertib.

Maksimum alan şiddetinden hareket ederek alan şiddeti aşağıdaki gibi ifade edilebilir.

$$E(R_i+x) = E_D \frac{R_i}{R_i+x} \quad (2.9)$$

Bu alan değişimiyle ve iyonizasyon karakteristiği

(1.3) ile tutuşma şartı ortaya çıkar.

$$\int_0^{x_c} k_1 \left(\frac{E_D R_i}{R_i + x} - \varrho \left(\frac{E}{\varrho} \right)_c \right) dx = K \quad (2.10)$$

teklif ve bu sistemin delinme gerilimi hesaplanabilir.

$$k_1 = 27,7 \text{ l/kV} , \quad \left(\frac{E}{\varrho} \right)_c = 14,4 \frac{\text{kV.l}}{\text{cm.g}}$$

Bu bağıntının integrali alınırsa (2.11) denklemi elde edilir.

$$R_i \cdot E_D \ln \frac{x_c + R_i}{R_i} - \varrho x_c \left(\frac{E}{\varrho} \right)_c = \frac{K}{k_1} \quad (2.11)$$

x_c , (2.12) şartından hesaplanırsa,

$$\frac{E}{\varrho} (x_c) = \left(\frac{E}{\varrho} \right)_c \quad (2.12)$$

ve kullanılırsa (2.13) bağıntısı elde edilir,

$$\frac{E_D}{\varrho} \ln \frac{E_D / \varrho}{(E / \varrho)_c} - \frac{E_D}{\varrho} + \left(\frac{E}{\varrho} \right)_c = \frac{K}{k_1 (\varrho \cdot R_i)} \quad (2.13)$$

E_D / ϱ , bu denklemde kesin olarak mevcuttur ve yalnızca $(\varrho \cdot R_i)$ çarpımının fonksiyonu olarak iterasyonla hesaplanabilir. Yığılma uzunluğu (x_c), $(R_a - R_i)$ atlama mesafesinden daha küçük kaldığı müddetçe iterasyon geçerlidir. Böylece basınçla ilişkili delinme alan şiddetinin yalnızca $(\varrho \cdot R_i)$ çarpımının bir fonksiyonu olduğu, dış silindirin çapına bağlı olmadığı gösterilmiş olur. Teknik kullanım için (2.13) denklemi, logaritmik terimin geliştirilmesiyle basitleştirilebilir. Burada tam formül kullanılmıştır.

2.3. Sonuçlar:

Streamer teorisi ve benzerlik kanunu, geçerlilikleri için aynı şartları gerektirirler. Ölçülen delinme gerilimi değerleri, hesaplamayla uygunluk teşkil ederse benzerlik kanunu dahi geçerli olmaktadır. Townsend veya Strea-

mer mekanizmasına göremi delinmenin vuku bulup bulmadığı, delinme geriliminin ölçümü için önemli degildir. Çünkü yük taşıyıcılarının kritik şiddetlendirilmesinden sonra deşarjin tutuşması oluşmaktadır. Streamer kriterinin model teklifiyle bir sistemin delinme gerilimi hesaplanabilir. Gerçekte gaz delinmesi sırasındaki olaylar çok kompleks olduğu için, modele dayandırılan kabüller tamamıyla fiziksel olamamaktadır. Aynı şekilde, model geçerlilik sınırlarına sahip olabilmektedir.

3. Benzerlik Kanunundan Saptalar İçin Teoriler:

3.1. Giriş:

Benzerlik kanunundan saptalar sadece SF₆-Elektronegatif gazına mahsus olmadığı için, burada ; öne sürülen mekanizmalar üzerine genel bir bakış verilmektedir. Bazı teoriler alan şiddetine bağlı olarak iyonizasyon için ortaya çıkan sekonder tesirlerle saptaları açıklarlar. Diğer teoriler bizzat iyonizasyon olayındaki sebepleri araştırır. Üçüncü bir ihtimal olarak, gaz hacminin çok küçük bir bölgesi içinde (mikro alan) delinme kriterinin yerine getirilmesidir. Bu suretle benzerlik kanunu sadece makroskopik alan değişimi göz önüne alındığı takdirde, artık görülebilir şekilde tatbik edilemez.

3.2. Alan Emisyonlu Delinme:

3.2.1. Bir Alan Emisyon Akımının Mevcudiyeti:

Kerner tarafından, soğuk metal yüzeylerde 10⁻⁵ Torr' luk vakumda 10⁻¹⁴ A/cm² lik bir elektron akım yoğunluğu 10 kV/cm'lik bir alan şiddetinde ölçülebilmiştir. Müsterek monte edilmiş elektrodlar 10 kV/cm'de kuvvetli, lokal ve zamana bağlı olarak çok düzensiz bir emisyon göstermişlerdir. Bu olay, toz parçacıklarına ve metal kıymıklarına dayanırmaktadır.

Daha yüksek alan şiddetli şartlandırmadan sonra, elektrodlar birçok merkezden oluşan aynı ölçüülü bir emisyonu gösterirler. Bu merkezler 0,3 nm² den daha küçük olmak zorundadır. Müller tarafından, azot maddesi içinde; 150kV/cm lik alan şiddetlerinde 3ns'den daha az süreli ilgili emis-

yon arkı gözetlenmiştir. Patlamalar yaklaşık 10^3 elektron-dan oluşmaktadır. Dutton ve Morris 140 kV/cm'lik bir alan şiddetinde; havada $1,5 \cdot 10^{-13}$ A/cm²'e kadar alan emisyon akımını belirlemiştir.

Shibuya, SF₆'da basınç miktarını 6 bar alarak; 140 kv/cm'lik bir alan şiddetinde yaklaşık $4 \cdot 10^{-9}$ A/cm² lik akımları tesbit etmiştir. Yakın zamana kadar, Ermel tarafından SF₆ gaz delinmesi üzerine emisyon akımlarının etkisi fikri benimsenmiştir. Çeşitli araştırmacıların ifadelerini kıyaslayabilmek için, akımlar makroskopik elektrod yüzeylerine dayandırılır. Word tarafından, metan gazındaki ölçümlerde; alan şiddetine bağlı olan ancak atama aralığına bağlı olmayan zayıf akımlar tesbit edilmişdir. Bu akım gaz artışına da bağlı değildir.

Word, delinmeler esnasında ince partiküller oluştugunu kabul eder. Bu partiküller, hareketleri sayesinde bir yük transferini gerçekleştirirler. Boulloud; tozlu bir elektrod sisteminde, hava içinde, homojen alanda yüksek basınç altında 10^{-9} A/cm² lik bir akım olmuş ve akımın gerilimin karesiyle arttığını tesbit etmiştir. Tozdan kaçınılması suretiyle aynı şartlar altında 10^{-11} A/cm² lik bir akım akmıştır. O halde toz, akımı önemli ölçüde yokseltmektedir.

3.2.2. Alan Emisyonunun Göz Önüne Alınmasıyla

Delinme Mekanizmaları:

Cookson tarafından teklif edilen mekanizmalar üç ana grupta toplanmıştır:

- Sadece alan emisyonlu delinme,
- Gaz hacminde alan emisyonlu ve hacimsel yük oluşumlu delinme,
- Elektrodlar üstünde alan emisyonlu ve yük toplanması sayesinde oluşan delinme.

(a) şıklındaki olaylar, (b) ve (c) şıklında oluşan ya çok şiddetli lokal bir emisyonu şart koşarlar veya kuvvetlice şiddetlendirilmiş sekonder olaylara dayanırlar.

List tarafından; katodda elektronlar tarafından sebebiyet verilen özel yiğilmaların bir silsilesi ile delinmenin ortaya çıktığı kabul edilmiştir. Bu elektronlar, alan emisyonu ve sekonder elektron emisyonları sayesinde, katoddaki pozitif iyonlar tarafından meydana getirilir. Yayılmış elektronların büyük akım yoğunluğu sayesinde, gazın lokal olarak çok ısınabilmesi ihtimali de mevcuttur. Küçük gaz yoğunluklu bu hacimde, daha sonra iyonizasyon delinmeye yol açar. Cookson; γ -olaylarını şiddetlendiren mekanizmaların tek başına delinme geriliminin kuvvetli bir azalmasını açıklayamayacağı sonucuna gelmiştir.

Basınç yüksekse; (b) mekanizmalarına göre gaz hacmindeki pozitif iyonlar katoddaki alanı, emisyon akımı teşvik edilecek şekilde arttırırlar. SF_6 'da; küçük E/p 'de dahi, yani $\alpha - \eta < 0$, büyük α -katsayılarından dolayı büyük sayıda pozitif iyonlar teşkil edilir. Pozitif hacimsel yükün büyümesi, stabilitesizliğe sebebiyet veren başka bir akım artışını doğurur. Boyle ve Kisliuk; bu esas üzerine bir delinme kriteri geliştirmiştir. Bu kriter E/q 'dan başka parametre olarak E'ye de içine almaktadır.

Pozitif hacimsel yükler sayesinde katod-hacimsel yük sahasında iyonizasyonun teşvik edildiği diğer araştırmacılar tarafından da kabul edilmiştir. Young; emisyon akım yoğunluğuyla ilgili ölçümlerinden ve oluşturulan alan distorsyonuna ait hesaplamadan, eğer katodda tesirli alan şiddetlenmesi ortaya çıkması halinde; emisyonun elektronlar üzerinden aynı ölçüde dağılamadığını ortaya çıkarmıştır. Her iki tesirin aynı zamanda ortaya çıktığında düşünülebilir.

(c) mekanizmasına göre; katoda yerleşen elektrik alan içinde, pozitif iyonlar sürüklendirirler. Bir toz parçası veya katodda izole edici özelliğe sahip bir oksid tabakası bulunursa, o zaman iyonlar; oluşumları esnasında hemen deşarj olamazlar ve katodda toplanırlar. İnce oksid tabakasının en dış yüzeyindeki yüksek elektrik alan, metal elektronlarının bir alan emisyonuna sebebiyet verir. Bu emisyon mekanizması, Malter tarafından vakum içinde keşfe-

dilmiştir. Mahl; üst yüzeyin yüklenmesini direk olarak oksid tabakalı bir metal üst yüzeyindeki elektronların yanımıştır sayesinde ölçmüştür ve oksid tabakasının delinme dayanımını belirlemiştir. Mahl, ayrıca; katoddaki emisyonun hususi noktalarda bulunduğu ortaya çıkarmıştır.

Bu emisyon merkezleri birkaç dakika sonra kayboldabilirler ve başka yerlerde yeni merkezler ortaya çıkabilir. Llewellyn Jones ve Morgan tarafından; ifade edilen mekanizmalar sayesinde, Townsend delinmesi esnasında γ -katsayılarının kuvvetli bir artışının ortaya çıktığı ve böylece küçük ($\alpha \cdot d$) değerlerinde delinme kriterinin gerçekleştirilebildiği kabul edilmiştir. List, Watson ve Sharbaugh tarafından,

$$\frac{d\sigma^+}{dt} > 0 \quad (3.1)$$

(3.1) formunda bir delinme kriteri ifade edilmiştir. Burada, σ^+ = izole edici kattaki iyon yoğunluğudur. Eğer birim zaman başına katod tabakası üzerinde, deşarj oldukları zamankinden daha fazla pozitif iyonlar hasıl olursa bir delinme ortaya çıkar. Alan artışı daha sonra bir emisyon çoğalması üzerinden delinmeye sebebiyet verir. Müller; kendi tarafından gözlenen kısa zamanlı püskürmeler sayesinde elektronların lokal olarak katoddan çıktıklarını kabul etmektedir. Bu yüzden Streamer kriteri (n_0) başlangıç elektronları için kullanılabilir:

$$\int_0^{x_c} (\alpha - \eta) dx = \frac{K}{n_0} \quad (3.2)$$

Öyle ise; eğer $E/\varrho < (E/\varrho)_c$ olduğunda, hiçbir net iyonizasyon ortaya çıkmaması gerektiği için, bu kriter hiçbir delinmeyi açıklayamaz. Goldspink ve Lewis; kâfi bir yüklenme esnasında oksid tabakasının delindiğini kabul etmişlerdir. Meydana gelen kivircım daha sonra bir Streamer deşarjını tutuşturabilmektedir. Bu mikro deşarjlar; ancak yüklenmiş parçacıkların anoda veya katoda yakın olması halinde ve yük dengelenmesinin söz konusu olması ha-

linde ortaya çıkabilirler.

3.3.Gaz İçindeki Olaylarla Delinme:

Mosch ve Hauschild; elektriki delinmenin tesadüfi karakterinin büyük sapmalar için önemli bir sebep ifade ettiğini kabul etmişlerdir. İhtimal büyülüüğünü olarak incelenen elektrik dayanımının dağılım fonksiyonu silindir alanda birçok araştırmalar sayesinde deneysel olarak tesbit edilmektedir. Elde edilen sonuç, iki parametreyle bulunan bir çift üstel dağılıma götürmektedir. Elektrik dayanımının başlangıç dağılımları, deşarj hacminin elementer sahaları için çıkartılabilir. Rein et al; şimşek ve şalt darbe gerilimleri için delinme olasılığını, tesadüfi iyonizasyon olayları ve katoddan çıkan alan emisyonu esasına dayanarak hesaplamıştır. Sonuçlar; alan etkisini, basınç etkisini ve darbe faktörünü geniş bir geometrik saha içinde açıklayabilmektedir.

Dağılım için gerekli sabitleri belirtmek için; pratikteki kullanım için şartlı olarak doğru olan bir çok ölümlerden çıkan neticeler gerekmektedir. Eğer $\alpha < \eta$ olursa, delinmelerin neden ortaya çıktıığı üzerine hiçbir esas teorik açıklama yoktur.

Menju et al, bir eksenli silindir tertibde delinmeleri $E/\vartheta < (E/\vartheta)_c$ esnasında tesbit etmiştir ve bunların ($\alpha < \eta$ olmasına rağmen) α ve η katsayılarının statik özellikleri sebebiyle ufak yığılmalara delinmeye sebebiyet verebilmesine dayandığını söylemiştir. Winkelkemper ve Oppermann tarafından aşağıdaki iki düşünce, düşük delinme gerilimlerinin sebebi olarak gösterilmiştir.

a) Streamer gelişiminin hızlı ceryan etmesi sırasında, elektronların ortaya çıkması ve yığılma arasındaki süre daha fazla ihmali edilebilir küçüklikte değildir, bu yüzden tesirli yığılma katsayısı küçük olur, yavaş ceryan eden olaylar esnasında ölçülen yığılma katsayısından daha küçüktür.

b) Alçak basınçta ölçülen α/ϑ veya η/ϑ değerleri, yüksek basınçta geçerli değildir.

Bir elektron yığılınca kadar ki (t_a) zamanı yığılma katsayılarının (η) tarifi içinde olduğu için, (a) tezi hiçbir mənə vermez. Her iki büyülü elektron hızı (v_-) üzerinden birbiriyle ilişkili olmaktadır.

$$\eta = \frac{1}{v_- \cdot t_a} \quad (3.3)$$

Eğer (b) tezi doğruyaşa; doğruluk ölçümleri esnasında ve küçük basınçta $(\alpha - \eta)/\varrho$ katsayısının bir yoğunluk bağıntısının SF_6 'da tesbit edilebilmesi gerekmektedir. Cohen' nin hava ve azottaki ölçümleri, yüksek yoğunluklarda α/ϱ ; E/ϱ 'nun daha fazla fonksiyonu olmadığını göstermiştir. Moleküller arasındaki değişken tesirler, salınımların teşvik edilmesi sonucu elektronlardan daha fazla enerji çektileri için, bu araştırmalarda α -katsayısı artan yoğunlukla azalmaktadır. Negatif iyonlardan elektron çözülmesi, yüksek basınçta aynı şekilde bir rol oynayamaz.

3.4. Elektrodlarda Alanın Aşırı Yükselmesi Sonucu Delinmeler:

3.4.1. Kenar (Sınır) Delinmeler:

Homojen alandaki doğruluk ölçümlerinde; sabit atlama aralığında, düşük basınçtaki delinmelerin elektrod sisteminin merkezinin yakınında vuku bulduğu ve daha yüksek basınçta ise delinme yerinin elektrodların kenar bölge sine bir geçisi olduğu tesbit edilmiştir. Bu geçiş; Paschen yasasına göre beklenen gerilimlerin önemli ölçüde altında bulunabilen delinme gerilimleri ile ilişkilidir.

Pedersen tarafından, bu davranışın kenar profildeki alanın aşırı büyümeye dayandırılabileceği gösterilmiştir. Daha büyük atlama mesafeleri dikkate alınmadan, elektrod yakınında dar bir bölgede tutuşma şartının yerine getirilmesi mümkündür. Plaka elektrodlarda yapılan araştırmalarda, herseyden önce plaka elektrolarının düz parçası ile kenar profil arasındaki geçişe büyük dikkat gösterilmesi gerektiği ortaya çıkmıştır.

Kenar alan tesirleri diğer elektrod geometrilerinde

de ortaya çıkabilmektedir. Eğer maksimum alan şiddeti elektroların aktif parçası içinde ortaya çıkacak şekilde dizayn edilirse, bu etkilerden kaçınılabilir. Arzu edilmeyen kenar delinmelerden korunmak için, ya deneyler sırasında delinme yerlerini gözetlemek yada deneyden sonra krater yardımıyla lokalize etmek zarûridir.

3.4.2. Lokal Alan Büyümesi:

Pratik kullanımdaki elektrodlar üstündeki alan, kaçınlamayan elektrod pürüzlülüğünün etkisiyle veya ince iletken veya hizmet izole edici özelliğe sahip partiküller sayesinde yükseltebilmektedir. Daha önceki delinmeler, aynı etkiye sahip krater ve küçük parçacıkları meydana getirirler. SF_6 için iyonizasyon karakteristiği $(E/p)_c$ sahasında çok dik olarak değişir. Eğer kritik alan şiddeti sadece az asılırsa, bu olay net iyonizasyonun çok büyük olmasına yol açar.

Kısa bir mesafeden sonra, elektrod yakınında kritik yoğunlaşma büyülüğu elde edilebilir. Böylece herseyden önce direk elektrod yakınındaki alan değişimini ölçüdüür. Deneme zaman noktasını tesbit etmek amacıyla gerçek bir elektrod üst yüzeyinin Topolojisini tam olarak elde edilmesi mümkün değildir. Bununla birlikte, pürüzlülük ölçümleri sayesinde ve ışık veya elektron mikroskopu yardımıyla oranla bir bakış yapabilmek mümkündür.

Üst yüzey özelliklerinin sadece asıl deneme düzendi dışında bir ölçme serisinden önce veya sonra belirlenebilmesi problemi daima mevcuttur. Üst yüzey, çeşitli bozucu geometrilerin kabulü ile tesbit edilebilmektedir.

3.5. Kirlenmeler Sonucu Oluşan Delinme:

SF_6 , hava veya azotlu gaz karışımı içindeki delinme geriliminin ölçümü, saf SF_6 içindeki delinme geriliminin bu gazların küçük ilavelerinden pratik olarak etkilenmediğini ortaya koymustur. Halbuki katı kirlenmeler büyük bir etkiye sahip olabilirler. Cohen tarafından; delinme deneyindeki gazın bir vantilatörle devir daimi yapılması suretiyle, yüksek basınç altındaki ölçüm-

de delinme geriliminin kuvvetli bir azalması tesbit edilmiştir. Bu etki, dağılan toz parçacıklarına ve kirlenmeye dayandırılmaktadır. Müller tarafından; azotta yüksek basınçta delinme geriliminin önemli ölçüde yükselmesi, elektrodların devamlı şekilde tozunun giderilmesinden sonra ve deney düzeninin filtresinin tozu alındıktan sonra elde edilebilmiştir.

GIS-Tesislerinin montajı veya işletilmesi esnasında mekanik aşınma sonucu, iletken olan partiküller izolasyon sistemi içine girebilirler. Ancak, kirlenmelerin mevcut olması mutlaka yeni delinme mekanizmalarına sebebiyet vermez. Yüklenen parçacıklar elektroda yaklaşımları esnasında deşarj olabilirler. Daha sonra bu mikro deşarj delinmeyi tutuşturabilir.

Elektrod üzerinde bulunan bir parçacık, alanı lokal olarak yükseltir ve bu suretle delinmeye sebebiyet verir. Berger'in araştırmalarına göre, parçacık; elektrod üst yüzeyinin yakınındaki deşarj sırasında bir sivri uç gibi tesir eder. Bu olay; serbest parçacıkların, elektrod üst yüzeyinde yapışık olarak kalan aynı büyüklükteki parçacıklardan daha şiddetli olarak delinme gerilimini nasıl azalttığını açıklar.

Cobine göre; delinme gerilimi, katod üst yüzeyindeki kirlenmelerden dahi (Ör: Yağ, parmak izi, oksid tabakaları, toz ve absorb edilmiş olan gazlar) etkilenmektedir. Oppermann, ince yağ tabakalarının temiz elektrodlara kıyasla delinme gerilimini azalttığını tesbit etmiştir.

3.6. Sonuçlar:

Daha yüksek makroskopik alan şiddetlerinde ($> 100 \text{ kV/cm}$) bir alan emisyon akımının mevcudiyeti kesin olarak bilinmektedir. Bununla birlikte hangi mekanizmalarla delinme geriliminin etkilendiği şüphelidir. Elektronegatif olmayan gazlarda homojen alanda ortaya çıkarılan akımın, bir Townsend deşarjının oluşumu için önemli ölçüde bir parça sahip olduğu düşünülmektedir. SF_6 gibi kuvvetli elektronegatif gazlarda ortaya çıkarılan elektronlar böylece

hemen birikenirler ($E/9 < (E/9)_c$) ve anoda doğru yavaş ionlar olarak sürürlür. Eğer gaz hacminde $\alpha < \eta$ olursa önemli hiçbir yığılma yükselmesi ortaya çıkmaz. Ermel'e göre; emisyon oluşumuyla, SF_6 içindeki benzerlik kanunundan sapmalar arasında bir ilişki mevcuttur. Burada emisyonun, sapma sebebi olup olmadığı açıkça görülememektedir. Emisyon, sadece diğer sebeplerden dolayı sapmaların ortaya çıkması için bir işaret olabilir. Ancak emisyonun, başlangıç elektronlarını yüksek alan şiddeti olan yerlerde hazırladığı ve böylece tutuşma gecikmesini azalttığı kesindir.

Bölüm 3.3'de gaz içinde düşünülen olaylar şimdije kadar deneylerle ispat edilememiştir. Dağılım sabitlerini belirlemek için, yığılma istatistiği teorisi teknik şartlar altında birçok denemenin ölçme neticesini gerektirmektedir. Bu, ölçülen değerlere yaklaşım yapabilen bir dağılıma sebebiyet verir. Bununla birlikte, asıl gaz delinme mekanizması üzerine yargılar çıkarmak mümkün olamaktadır. Benzerlik kanunundan gerçek sapmalar çok yüksek gaz yoğunluklarında beklenebilir.

Hippel tarafından; eğer normal şartlar altında gazların delinme dayanımından hareketle, akışkan ve katı izole maddelerin dayanımı üzerine hükmü verilmesi gereğinde, benzerlik kanununun herhangi bir ekstrapolasyonu sırasında ortaya çıkan problemler gösterilmiştir.

1 bar'da hava için 30 kV/cm'lik dayanıklı kıyaslamaların yapılmasıyla; 2000 bar'daki bir basınç tekabül eden ortalamada bir yoğunluktaki akışkan ve katı izole edici maddelerin yaklaşık 60000 kV/cm' i tutabilmeleri gerekmektedir. Katı ve akışkan izole edici maddeler ancak pratik olarak sadece 100 kV/cm ve 2000 kV/cm arasında bir dayanıma ulaşırlar (özel durumlarda yaklaşık 10000 kV/cm'e kadar).

Hippel, bu olayı; alan içinde hızlanan elektronlar sayesinde sadece elektronların sıçrayışları değil, bilâkis akışkanlar içinde molekül titreşimleri ve katı maddelerde kafes titreşimlerinin tahrik edilmesine dayandırır.

Elektrodlarda alan yükselmesi sayesinde ortaya çıkan sapmaların, makroskopik sapmalar olarak yorumlanması gerekmektedir. Eğer, SF_6 gazındaki gibi delinme şartı direk elektrod yakınında yerine getirilebiliyorsa, mikro alana dikkat edilmesi gerekmektedir. Benzerlik kanunu en genel halde elektrod mikro alanı içinde elde edilir. Bu yüzden sapmalardan makroskopik manada bahsedilebilir.

Katı karakterdeki kirlenmeler yüksek basınçta delinme geriliminin kuvvetli bir azalmasına sebebiyet verirler. Parçacıklar, her şeyden önce lokal alanın aşırı yükselmesine ait mekanizmalar üzerine tesirli olurlar, buna karşılık kirlenme tabakaları emisyonu teşvik edebilirler.

Benzerlik kanununun araştırılmasıyla ilgili gerekli hipotezler sunlardır:

- a) Benzerlik kanunu, lokal alanın aşırı yükselme sahası içinde dahi geçerlidir,

b) SF₆'daki benzerlik kanunu, makroskopik alanda çok yüksek basınçlara kadar sınırlı olmayacak şekilde geçerlidir.

Bu basınçlarda, çok yüksek yoğunluklara geçiş sırasında moleküllerin karşılıklı kuvvetli bir tesiri ortaya çıkmaktadır. Ayrıca aşağıdaki şartlar yerine gelmelidir;

a) Tesirsiz kenar alan, b) Tesirsiz pürüzlülük, c) Tesirsiz kirlenme.

Bu iki hipotezin esesine dayanarak, bütün bozucu etkilerden mümkün mertebe kaçınmak suretiyle araştırmalar gerçekleştirilir.

II.BÖLÜM havalı sahalarde dahi osellikle açık hava tesislerindeki problemler ve benzeri olaylardan ve bunun sonucunda PRATİK ESASLAR:

olarak adımları emalatçının azaltmasından kaçınmak için, izolatörlerde sık ve gerekli bir bakıma ihtiyaç duyular.

1.Giriş: Hava, salt tesislerinde; kapasiteli, kapasiteli gibi

Hava, konvansiyonel salt tesis yapısında onde gelen bir izolasyondur. Hava çok ucuz bir izole edici madde olmasına rağmen, aşağıdaki sebeplerden dolayı asla ideal bir izolasyon değildir.

a) Havanın elektrik dayanımı relativ azdır. Bu yüzden yüksek ve çok yüksek gerilimlerde, gerilimli parçalar arasında birbirine karşı ve toprağa karşı çok büyük aralıklar gereklidir. Lüzumlu aralıkların artan gerilimle anormal orantılı olarak arttığı ortaya çıkmaktadır. Bundan dolayı gelecekteki milyon mertebesindeki gerilimlerde çoğu defa zor gerçekleştirilebilir büyük aralıklar ortaya çıkacaktır.

b) Havanın elektrik dayanımı basıncına bağlıdır. Böylece elektrik tesislerinin ve işletme elemanlarının yerleştirilmesi sırasında büyük deniz seviyesi yüksekliklerine dikkat edilmesi gerekliliği ortaya çıkmaktadır. 1000'metreden büyük deniz seviyesinde uygun işletme gerilimi, her 100m'lik seviye artışı için %1 veya %1,25 civarında indirilmesi lazımdır.

c) Havanın elektrik dayanımı hava nemine de bağlıdır. Nemli ve sisli navada çok yüksek gerilim tesislerinde korona olaylarının sık ortağa çıktığı bilinmektedir.

d) Hava izoleli tesisler; şimşek darbeleri, kar ve buz tabakası gibi atmosferik etkilere maruz kalmaktadır. Bu boyutlandırmayı zorlaştırır ve tesislerin arızalanmasına zemin hazırlar.

e) Endüstri sahalarında, çok işlek caddelerde ve sahil kenarları yakınında hava, ekseriya çok kirlenmeye maruz kalır. Bu, izolatörlerin dış yüzeyinde yabancı tabakaların ortaya çıkmasına ve böylece izolatörlerin atlama dayanımının ölçüde azalmasına sebebiyet verir. Bu durumlarda, sadece izolatörlerin sık sık temizlenmesi veya pahali dahili tesislerin inşa edilmesi söz konusu olur.

- f) Ancak temiz havalı sahalarda dahi özellikle açık hava tesisleri, kirlenme ve benzeri olaylardan ve bunun sonucu olarak işletme emniyetinin azalmasından kaçınmak için, relativ sık ve gerekli bir bakıma ihtiyaç duyarlar.
- g) Hava izoleli şalt tesislerinde; kafesleme, kapsülleme gibi ilave tedbirlerle uygun bir dokunma (temas) korumasının temin edilmesi gereklidir. Çok büyük dikkate rağmen, bu dokunma koruması mutlak (katı) olamamaktadır. Aynı şekilde yabancı cisim ve hayvanların bu tür tesislerin içine girmesi kesin olarak azaltılabilmiş degildir.
- h) Hava izoleli yüksek gerilim tesislerinin büyük saha ve hacim ihtiyacı; bugünkü görünümüne göre şüphesiz, çevreye hissedilir bir rahatsızlık vermektedir.

2. Katı Izole Maddeler:

Katı izole maddelerde; modern plastik maddeler (silikon kauçuk), herseyden önce mineralik dolgu maddeli epoksi reçineler ön planda bulunmaktadır. Bu maddeler için yüksek gerilimlerde gerekli olan büyük cidar kalınlıklarında birçok problemler ortaya çıkmaktadır. İmalat sırasında çatlaklıardan ve boşluklardan dolayı iç zorlanmalar oluşabilir. Böylelikle elektriki sınır yüzey problemleri ve kısmî deşarj tehlikesi söz konusu olur. Sürekli termik dayanıklılık dahi bu tür zorlukları büyültmektedir. Katı madde izolasyonlu denemeler, herseyden önce bu tekniğin basit kullanımı üzerine hiçbir sonuca götürmemektedir.

3. Akışkan Izole Maddeler:

Bu tür maddeler bütün boşlukları doldurmak gibi bir faydaya sahiptirler. Uygun hazneler içinde gerilimli parçaların çevresine tertib edilmeleri gerekmektedir. Akışkan maddelerin sıkıştırılamaması bir dezavantaj teşkil etmektedir. Bu yüzden elektrik arkaları esnasında yüksek basınçlar ortaya çıkabilmektedir. Burda daha çok transformatörlerde kullanılan izolasyon yağı söz konusudur. Genişletilmiş elektrik tesisleri için gerekli olan büyük yağ miktarı, bu izole maddeinin tutuşabilirliğiyle ilgili olarak, bu çözümün çok önemli bir zararını ifade etmektedir.

Bir dahili hacim tesisindeki yağ örtüsü özellikle kuvvetli duman çıkışısı ve zor söndürülebilirlikten dolayı az yağ miktarlarında dahi hemen hemen bir felâkettir. Çok bağlantı ve vidalama yerine sahip bir tesisin kusursuz sizdirmazlık kontrolü tecrübe göre anormal derecede zor olmaktadır. En az bir sizıntı dahi tesisin istenilmeyen şekilde kirlenmesine sebebiyet verebilmektedir.

Ayrıca izole yağın eskime davranışını da dezavantaj olarak değerlendirebilebilir; bu olay daha ziyade büyük tesislerde yağ durum kontrolünün zor gerçekleştirilebilediği sırada etkili olmaktadır. Başka bir akışkan izole madde olarak "Clophen" sözkonusu olabilir. Bu maddenin tutuşamazlık gibi bir faydası vardır. Kullanım sırasında, elektrik arkı oluşumunda tuzlu asit buharı meydana geldiği için insanlarda sağlığa zararlı tesirleri olmaktadır.

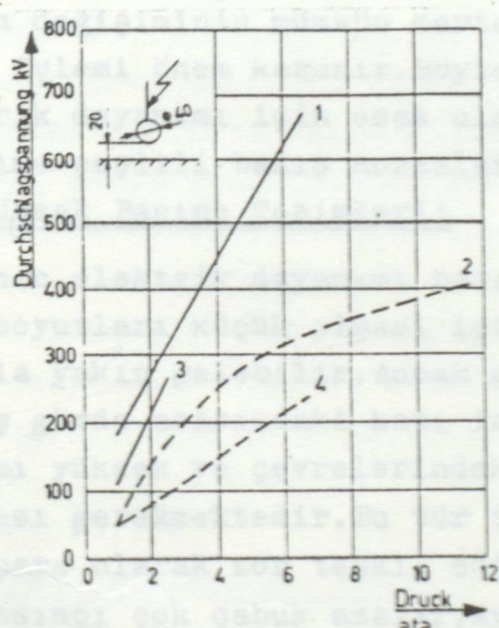
4. Gaz Izole Maddeler:

Bu gruptaki maddeler genel olarak daha fazla faydalara sahiptir.

- a) Homojen bir izalatör teşkil ederler. Kaçak yol, atlama ve bu suretle kısmî deşarj ihtimali azdır.
- b) Elektrik arkalarının ortaya çıkması esnasında, ark enerjiyi sıkıştırılan gaz tarafından kabul edilir. Gazın kontrol edilmiş deşarjiyla infilâklar azaltılabilir.
- c) Gazlar umumiyyetle temiz ve kolayca kullanılabilir.
- d) Sözkonusu gazlar tutuşmaz ve termik olarak aşırı yüklenebilirler.

Izole edici gaz burda tamamiyle, akışkan izole maddelerde olduğu gibi, uygun muhafazalar içindedir. Bu muhafazalar genelde boru şeklindedir. Herseyden önce burada basınçlı (sıkıştırılmış) hava izole edici gaz olarak düşünülebilir. (1,5MPa - 2MPa)'lık basınçlarda havanın elektrik dayanımı gerçekten çok büyük artar. Öyleyse bu yüksek basınçlarda, tesisin inşasının pahali ve zor olmasını sağlayan yekpâre bir çelik muhafaza (kapsül) gereklidir. Kapsülleme içindeki bir sizıntı hemen çok büyük bir basınç düşüşüne sebebiyet verir ve böylece elektrik dayanımının bir azalması da sözkonusu olur.

Elektriki arızaların ortaya çıkmasından kaçınmak için böyle bir tesis en kısa zamanda devreden çıkarılmalıdır. SF_6 gazında hiçbir eskime sözkonusu değildir. Isı taşıma miktarı havadan yaklaşık 2,5 kat daha fazladır. Bu yüzden soğutma özellikleri havaya kıyasla çok elverişli bulunmaktadır. SF_6 'nın izolasyon kabiliyeti aynı basınçtaki havadan 2,5-3 kat daha iyidir (Şekil:4). Dielektrik sabiti 1'e eşittir. SF_6 'nın buhar basıncı karakteristiğinden; bu gazın ortam sıcaklığındaki (hacimsel ısı) yüksek basınçlar da akışkan madde durumuna geçtiği anlaşılmaktadır. Örneğin; -20°C 'de 0,7MPa'lık basınçta, $+5^{\circ}\text{C}$ 'de 1,5MPa 'lık basınçta akışkan hale döner. Açık hava tesisinin alt sıcaklık sahası içinde, relativ az basınçlar SF_6 'nın akışkanlaşmasına kâfi gelebilmektedir. Bu durum SF_6 izoleli şalt tesislerinin tasarlanması sırasında gözönüne alınır.



Şekil:4 SF_6 ve hava içindeki bir küre-plaka kivilcim hattının delinme gerilimleri.

- 1 1,2/50 μs , %50 Delinme Darbe Gerilimi (SF_6)
- 2 1,2/50 μs , %50 Delinme Darbe Gerilimi (Hava)
- 3 A.C. Delinme Gerilimi (SF_6)
- 4 A.C. Delinme Gerilimi (Hava)

Elektrik arkı içinde SF_6 - gazı ayrılır ve esas itiba-

riyle SF₅ ve Flor'a. Bu ayrisma ürünlerinin %90'ni tekrar SF₆'ya kombine olur. Diğer %10'luk kism kapsülemeyi oluşturan metallerde, Metal-Florid meydana getirirler. Bu maddeler kuru durumda çok iyi bir izalatördürler. Su ilavesiyle; izole edici parçaların dielektrik özelliklerini önemli ölçüde azaltan elektrolit haline geçerler. Bu yüzden SF₆ gazının kuru olması önemlidir. Bu tür zararlı etkileri bulunan maddelerin absorbe edilmesi imkânda vardır.

5. SF₆-İzoleli Salt Tesisleri (GIS) :

Salt tesislerinde SF₆-Gazının kullanılmasıyla; bütün gerilimli parçalar, SF₆ ile doldurulmuş, topraklanmış metal gövdeler (kapsüller) içinde bulunmaktadır. Gerilimli parçalar ile gövdenin birbirine karşı durumu izole edici parçalarla tesbit edilmiştir. Bu parçalar dairesel veya konik biçimde olabilmektedir. Bu tür parçalarla SF₆ gazi içindeki homojen alan değişiminin mümkün mertebe az bozulması için, şekil verme işlemi önem kazanır. Böyle bir tesisin ana planı ve elektrik dayanımı için esas olan SF₆ gazının basınç seçimi üzerine çeşitli bakış noktaları aşağıda özetlenmiştir.

5.1. Yüksek Basınç Tesisleri:

SF₆'nın elektrik dayanımı basınçla artar. Bu yüzden, tesislerin boyutları küçük olması için yüksek basınçlarda çalışmak akla yakın gelebilir. Ancak gerilimli parçalar ve topraklanmış gövde arasındaki katı izole parçaların elektrik dayanımı yüksek ve çevrelerindeki elektrik alanında homojen olması gerekmektedir. Bu tür tesislerde metal kapsülleme yekpare olarak zor teşkil edilir. Bir sızıntı esnasında gaz basıncı çok çabuk azalır. Ayrıca yüksek basınç açık hava SF₆-Tesislerinde gazın sıvılaşma tehlikesi de mevcuttur, bundan dolayı çok güvenilir bir ısıtma öngörümlesi zarûridir.

5.2. Alçak Basınç Tesisleri:

Alçak basınç tesisi denince 0,15MPa ve 0,6MPa arasındaki basınç sahası anlaşılır. Tesis gerçi biraz daha büyük boyutlara sahiptir, ancak hafif metalden kapsüllemeler kullanılabilir, böylelikle ağırlık ve fiyatlar aşağıya çekili-

lir.Tesiste bir sızıntı ortaya çıkarsa, SF_6 gaz basıncı azalır fakat basınç düşmesi çabuk vukubulmaz,bu yüzden en azından kısa bir zaman geçici bir işletme kontrol edilebilir.Elektrik arkalarında oluşan basınç yükselmeleri bakımından daha elverişli faktörler ortaya çıkar.Yüksek basınç tesisinin,küçük boyutlarından dolayı alçak basınç tesislerine nazaran ısı transferi daha azdır.Bugün pratik olarak yukarıdaki sebeplerden dolayı sadece alçak basınç tesisleri yapılmaktadır.

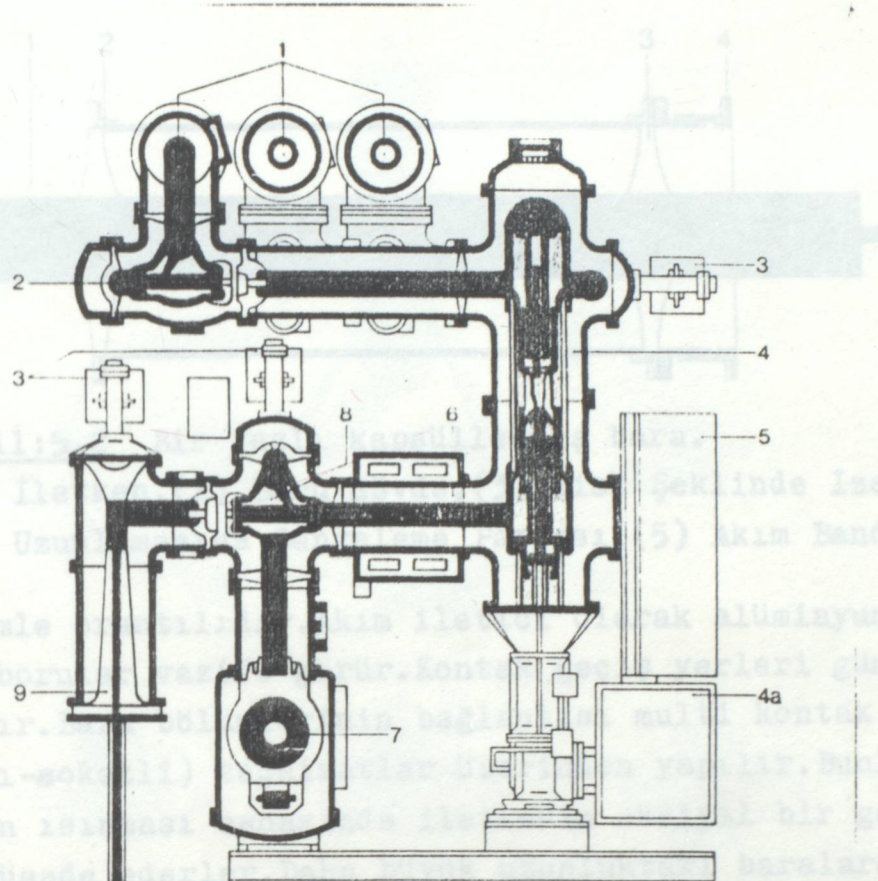
Elektrik dayanım bakımından, SF_6 basıncı atmosfer basıncına düşmesi esnasında geçici bir işletme kontrol edilebilecek şekilde dizayn yapılır. SF_6 'nın daha büyük özgül ağılığından dolayı yavaş yavaş hava ile karışarak elektrik dayanımının azalması ortaya çıkabildiği için bu kontrol ancak kısa zamanlı olur.Bununla birlikte şimdidiye kadar işletme tecrübelerinin; pratik olarak sızıntı ortaya çıkmadığını ve sızıntı kayıplarının yıllık olarak uygun değerlerde bulunduğunu göstermesiyle, tesisi biraz daha dar yerlesitmek ve azalan basınçta işletme imkânından vazgeçmek düşüncesi ortaya atılmıştır.Halbuki genelde alçak basınç tesisleri kurulursa artan basınçta yükselen elektrik dayanımından şu şekilde istifade edilir:

Tesisin daha büyük bir gerilim sahası için gerekli boyutlarla dizayn edilmesi(Ör: 220kV için 300 kV'a kadar veya 380 kV için 500 kV'a kadar).Böylelikle uygun bir SF_6 basıncının seçimiyle istenilen işletme gerilimine uygun bir geçiş yapılabilir.

5.3. GIS Tesislerinin Yapısı:

Bir GIS tesisi esas itibariyle konvansiyonel tesislerde kullanılan benzer elemanları ihtiva eder (Ayırıcılar, topraklama şalterleri,güç şalterleri,baralar,akım ve gerilim trafları gibi). Şekil:5.1 bir GIS tesisinin kesitini göstermektedir.

Boru şeklindeki elemanlardan inşa edilen metalik kapsülleme, gerilimli bütün tesis parçalarını kuşatır.Yüksek gerilim altındaki parçalar döküm reçine izalatörler tarafından taşınırlar.



Sekil:5.1 SF_6 izolasyonlu tam kapsüllenmiş 145 kV'luk bir şalt alanı.

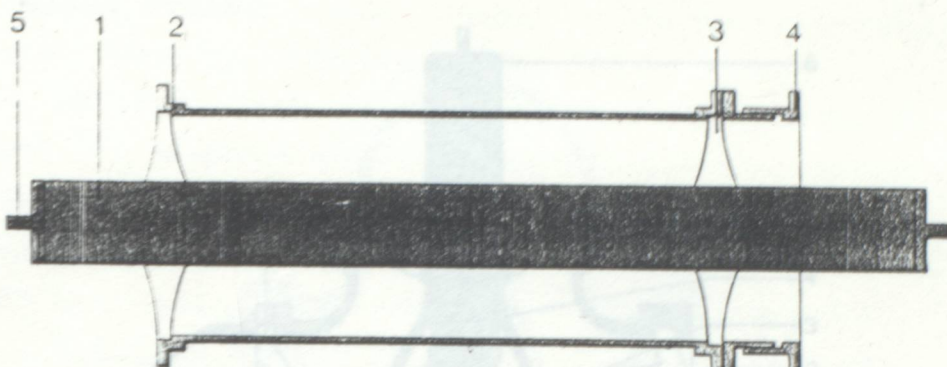
(1) Baralar, (2) Ayırıcılar, (3) Topraklama Şalterleri, (4) Güç Şalteri, (5) Kumanda Dolabı, (6) Akım Trafosu, (7) Gerilim Trafosu, (8) Kablo Ayırıcı Şalteri, (9) Kablo Uç Bağlantısı.

İzalatörler, bölme izalatörleri olarak da tertiblenirler. Bunlar tesisi birbirine karşı ayrı gaz hacimlerine böllerler. Bakım, kontroller ve icabı halinde revizyonlar bu suretle basitleştirilir.

5.4. Yapı Elemanları:

5.4.1. Baralar:

Bara kapsülemleri herbiri bir alan parçasına tekabül eden segmentlerden inşa edilmiştir. Kapsüllemenin çapı



Sekil:5.2 Bir fazlı kapsüllenmiş bara.

- (1) İletken,(2) Boru Gövde,(3) Disk Şeklinde Izalatör,
- (4) Uzunlamasına Dengeleme Parçası,(5) Akım Bandı.

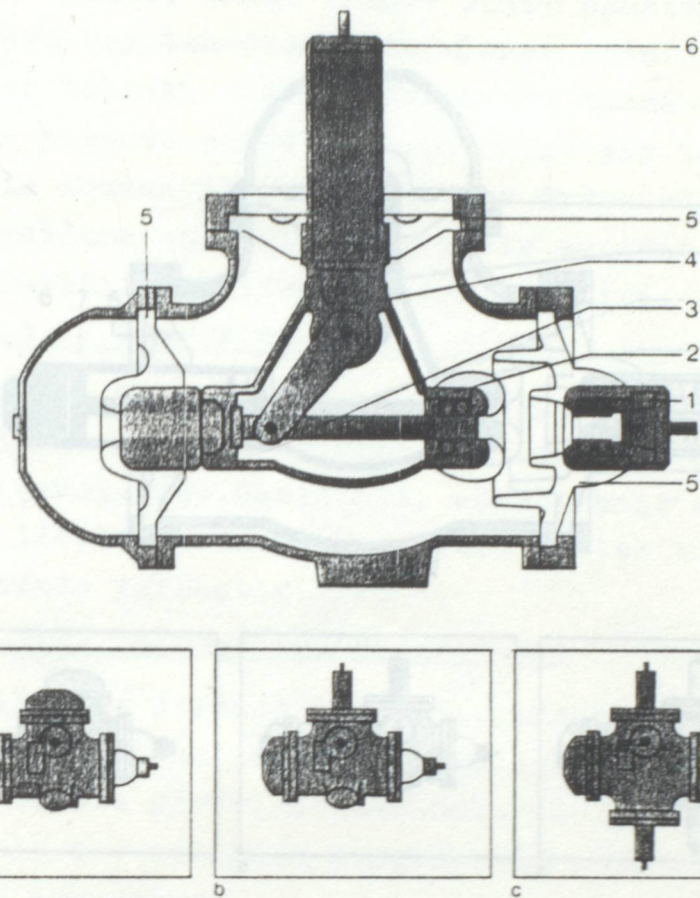
gerilimle orantılıdır. Akım iletici olarak alüminyum veya bakır borular vazife görür. Kontak geçiş yerleri gümüşle kaplanır. Bara bölümlerinin bağlantısı multi kontak (çok parçalı-soketli) teçhizatlar üzerinden yapılır. Bunlar baraların ısınması esnasında iletkenin aksiyal bir genleşmesine müsade ederler. Daha büyük uzunluktaki baralarda ise kapsülleme içinde dahi genleşme elemanları lüzumluudur. İletken borular homojen döküm reçine izalatörler tarafından taşınırlar. Mekanik dayanım baraların boyutlandırılmasına da tesir eder. Bu suretle ortaya çıkan kesitler büyük ve nominal akım altında ısınma da küçük olur.

5.4.2. Ayırıcılar:

SF_6 izoleli şalt tesislerinde iki tip ayırıcı şalter kullanılır: (a) Tesis parçalarına ve çıkışlara karşı bir ayırma hattının oluşturulması için. Bu tip ayırıcı sadece akımsız durumda vazife yapabilir. Ve tesislerin ancak düşük yük akımlarının şalterlenmesini gerçekleştirebilir. (b) Yük ayırıcı şalterleri, normal ayırıcılardan farklı olarak bir akım kesme tertibatına sahiptir. Ohalbde yük akımları açılabilir ve açık konumda ayırma şartları yerine getirilebilir.

Normal bir ayırıcının kapsüllemesi, küçük pencelerle teçhiz edilmiştir. Bu pencerelerle ayırıcının şalt konumu direkt olarak görülebilir.

bir bilgi verir.



Sekil:5.3 Bir normal ayırcı şalter kutbu kesiti.
 (1) Kontak Parçası,(2) Kontak Parçası,(3) Salt mili,
 (4) Kontak taşıyıcı,(5) Disk Şeklindeki izalatör,(6)
 Bağlantı parçası.
 (a) Uzunlamasına yapı biçimi,(b) Açılı yapı biçimi,
 (c) Çapraz yapı biçimi.

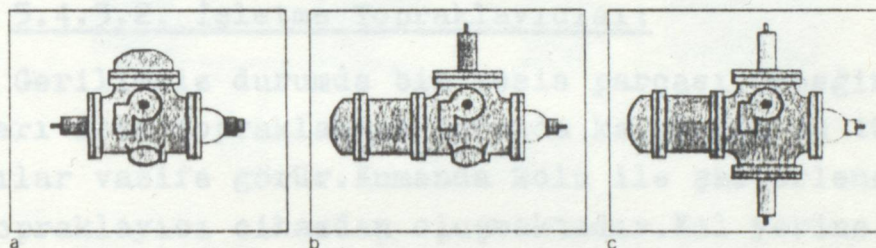
Ayırma hattının elektrik dayanımı, toprağa karşı faz dayanımından %25 daha yüksek olmaktadır.Yük ayırcı şalterler, normal bir ayıracının yerine tesis içinde monte edilebilirler.İlave olarak; SF_6 gaz akışını şalter borusu ucundaki ark akış noktası sahasında temin eden bir üfleme pistonuna sahiptirler.Böylelikle açma arkı hızlıca söndürülür.Uç kutup; güç şalterlerinde olduğu gibi döner yaylı deponayıcı tahrike sahiptir.

Şalter gövdesindeki pencere salt konumu için kesin

bir bilgi verir. İ, rahat hissedip, uskunca komanda amaciyla veya yay tahriki ile hareket etmek için.

Motor tahriki tesislerinde, daima bir el kontrolü ile kol ile komanda edilebilir. 5 yay tahriki; elektrikli tesis koruma sistemi topraklama sistemine alımlıdır.

Bu tesislerde, devre edilebilirler (Şekil 5.4). Daha sonra, sabit late konak daima ile topraklama sistemine alımlıdır. Kapsül tutulur ve desteklenir.



Şekil:5.4 Yük Ayırıcı Salter Kutbu Kesiti.

(1) Kontak parçası, (2) Kontak parçası, (3) Şalt borusu, (4) Kontak taşıyıcı, (5) Disk şeklindeki izalatör, (6) Bağlantı parçası, (7) Üfleme pistonu.

(a) Uzunlamasına yapı biçimi, (b) Açılı yapı biçimi, (c) Çapraz yapı biçimi.

5.4.3. Topraklama Salterleri:

Bu tür şalterler; topraklamaya, tesis parçalarının veya çıkışlarının kısa devre edilmesine yararlar. Üç ana grupta toplanırlar: İşletme topraklayıcısı, hızlı topraklayıcı ve koruma topraklayıcısı. Bütün topraklama şalterleri topraklayıcı ana cihazdan oluşmuştur. Kutup yapısına göre aşağıdaki tahrif çeşitleriyle teçhiz edilebilirler.

- Topraklayıcı kumanda kolu, elden basit kumanda için.
- El kumandalı yay tahriki, hızlı devreye koyma için.

— Motor tahriki, rahat hizmet için, uzaktan kumanda amacıyla veya yay tahrikinin kurulması için.

Motor tahriki tehlike durumunda daima bir el kontrol-lü kol ile kumanda edilebilir. Çözücülü yay tahriki; elek-triki tesis koruma ile tesisin kısa devre edilmesi için bütün topraklama şalterleri, tesisin emniyet sistemleri içine alınmıştır. Kilitleme sistemleri gibi.

5.4.3.1. Topraklayıcı Ana Cihaz:

Bu alet, T- şeklinde bir bağlantı parçasına (Şekil:5.5) veya özellikle bir yük ayırcı ile birlikte monte edile-bilirler (Şekil:5.6). Gerilimli, ekranlanmış sabit lâle kon-tak daima iletken üstünde, hareketli kontak topraklanmış kapsül üzerinde yerleştirilir.

5.4.3.2. İşletme Topraklayıcısı:

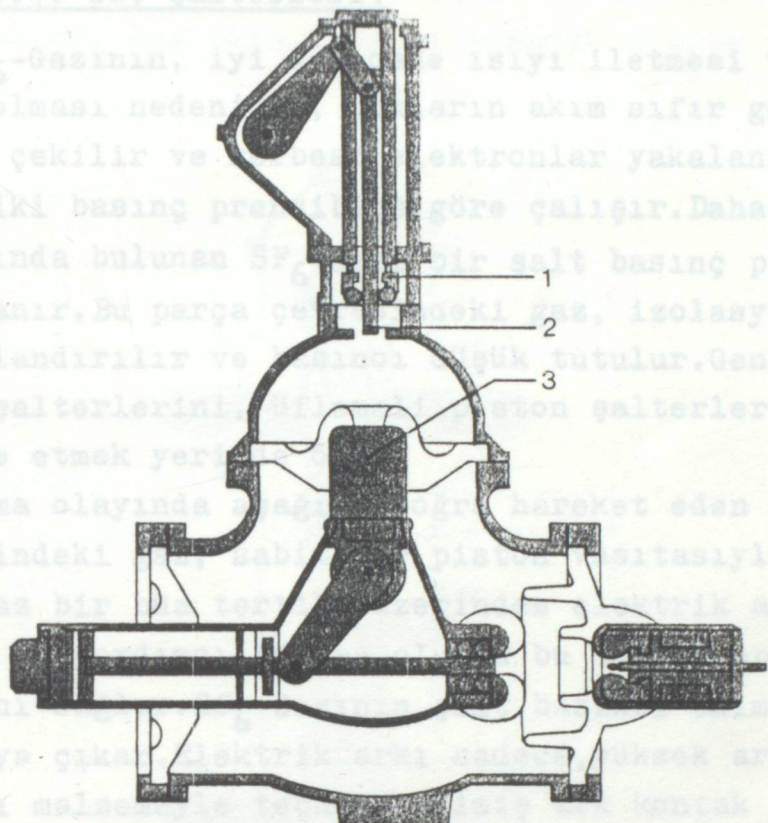
Gerilimsiz durumda bir tesis parçası, örneğin revizyon amaçları için topraklanmak zorunda kalınırsa bu tür toprak-layıcılar vazife görür. Kumanda kolu ile şalterlenen bir ana topraklayıcı cihazdan oluşmaktadır. Kol yerine motor tahriki de mümkündür.

5.4.3.3. Hızlı Topraklayıcı:

Şalterlenmemiş bir tesisin ilk olarak topraklanması-sında emniyet sebeplerinden dolayı, topraklama şalterinin gerilim üzerine dahi kapatılması yani tesisin kısa devre edilebilmesi istenir. Burada yay tahriki ön görülmüştür. Bu tahrik ana topraklayıcı cihazın tahrik ekseni üzerine yer-leştirilir. Yayın gerilmesi bir kol veya motor ile mümkündür. Yay belli bir noktaya kadar gerilir ve bu noktadan kapama ile yay boşaltılır. Açıma için yay tekrar gerilmez.

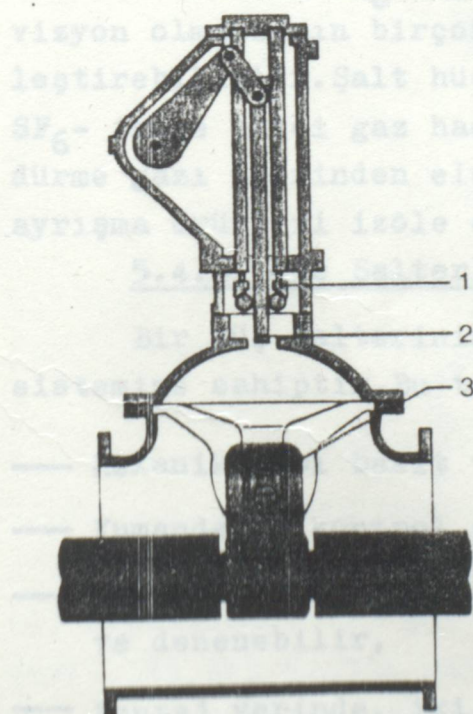
5.4.3.4. Koruma Topraklayıcısı:

Bir dahili atlamanın muhtemel olmadığı durumda; tesis normal elektriki koruma teçhizatlarıyla gerilimsiz olarak şalterlenir. Ortaya çıkacak elektrik arkını çok çabuk kısa devre etmek, ilave bir emniyet olarak istenir. Koruma toprak-layıcıları, hızlı topraklayıcılar gibi yay tahrikiyle teç-hiz edilir.



Sekil:5.6 Yük Ayırıcı Salterindeki Topraklama Salteri.

Bu yıldan SP-800'ümler belli aralıklarla satırlar. Revizyon elde etmek isteyenlerin SP-800'ümleri SOKİT-EF'ye teslim etmeleri gereklidir.



Sekil:5.5
Bir T-Gövdesindeki Topraklama
Salteri.

(1) Kontak Parçası, (2) Salt Mili,
(3) Kontak Parçası.

5.4.4. Güç Şalterleri:

SF_6 -Gazının, iyi derecede ısısı iletmesi ve elektro-negatif olması nedeniyle, arkaların akım sıfır geçiş sahasında ısısı çekilir ve serbest elektronlar yakalanır. SF_6 -Güç şalteri iki basınç prensibine göre çalışır. Daha yüksek basınç altında bulunan SF_6 -Gazı bir şalt basınç parçası içinde depolanır. Bu parça çevresineki gaz, izolasyon gazi olarak adlandırılır ve basıncı düşük tutulur. Genellikle bu tür güç şalterlerini, üflemeli piston şalterler olarak karakterize etmek yerinde olur.

Açma olayında aşağıya doğru hareket eden sıkıştırma silindirindeki gaz, sabit bir piston vasıtasiyla sıkıştırılır ve gaz bir büz tertibi üzerinden elektrik arkı sahasına akar. Ana ve yardımcı büzden oluşan bu tertib optimal akış oranlarını sağlar. SF_6 -Gazının şalt basıncı akıma bağlı olarak ortaya çıkar. Elektrik arkı sadece, yüksek ark enerjisine dayanıklı malzemeyle teçhiz edilmiş ark kontak parçaları arasında tutuşur, buna karşılık akım taşıma kabiliyeti için önemli ana kontak parçalarında hiçbir tutuşma artığı ortaya çıkmaz.

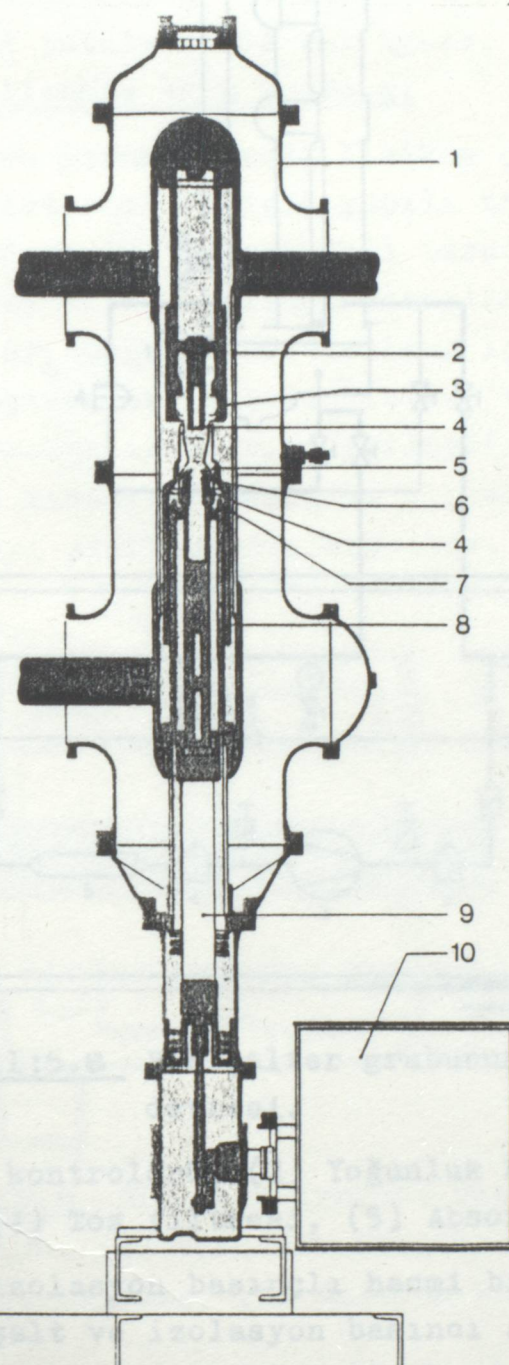
Bu yüzden SF_6 -Güç şalterleri bakım gerektirmezler. Revizyon olmaksızın birçok kısa devre bağlantılarını gerçekleştirebilirler. Şalt hücresinin SF_6 -Gaz hacmi tamamıyla SF_6 -izole edici gaz hacmiyle ayrılmıştır. Bu yüzden söndürme gazi üzerinden elektrik arkının etkisiyle ortaya çıkan ayrışma ürünleri izole edici gazi kirletemezler.

5.4.5. Güç Şalterlerinin Gaz Akış Şeması:

Bir güç şalterinin üç kutbu müsterek bir gaz besleme sistemine sahiptir. Bu tertibin faydaları şunlardır:

- Mekanik yapı basit ve görülebilmektedir,
- Kumanda ve kontrol şeması basittir,
- Şalter kendi besleme birimiyle fabrikada monte edilir ve denenebilir,
- Montaj yerinde, iki gaz hattının ve kumanda kablolarının (1) gidiş yolu, (2) döner yarım kolu,

rının bağlantısı kâfidir. **Şekil:5.8'** de bir şalter grubu-nun kapalı SF₆-Gaz akış devresi şematik olarak gösteril-mektedir.



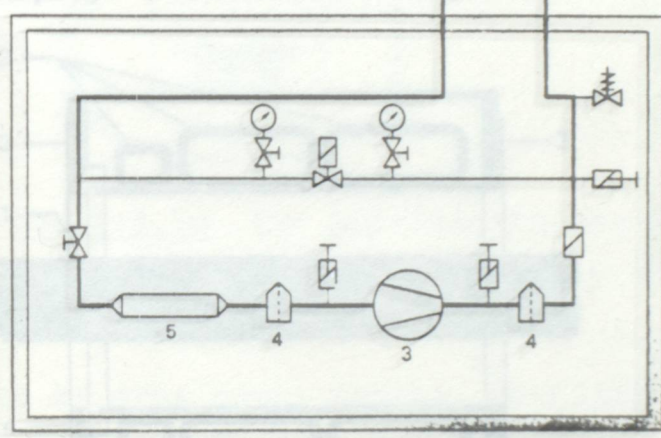
Sekil:5.7 Bir Güç Şalter Kutbunun Kesiti

- (1) Kapsülleme, (2) Salt hücresi, (3) Sabit ana kontak parçası, (4) Ark kontak parçası, (5) Ana büz, (6) Yardımcı büz, (7) Hareketli ana kontak parçası, (8) Sıkıştırma silindiri, (9) Salt çubuğu, (10) Döner yay tahriki.

tarsa, o zaman gaz magnetik ventil üzerinden salt basıncı hacminden izolasyon basıncına yükseleni üflenir. Toz filtresi, kontak tutuşması sonucu oynamayan salt teşunu alır, puna karşılık "Absorbsiyon" adı verilen ayrıma ürünlerinin ve nemlilikin tutulması da oluyor.

5.5. Kapasiteli Aks Akış Fomi

Aks akıştırmaların normal şartlarında iletken çıkış çergevesinde bulunur. Ve tek iletkenli yapıda yapılmış trafo olarak dizayn edilir. Trafo gövdesi ince borularla birleştirilmiş borudan oluşmaktadır. Bu borular her iki alçak basıncı da birbirine kapatılmıştır. Primer iletken, SF₆ ile doldurulmuştur. İkinci boru iletkeni vasıtasiyla oluşturulan bu sistemde yan flanglardan birisinin arası yaklaşık 10 cm mesafede bulunmaktadır. Bu ring trafo gövdesinin kısa bir uzunluğunda farklı tesir etmesini ve böylece ölçmeyi zordlaşanını engeller.



Sekil:5.8 Bir şalter grubunun gaz akış devresi.

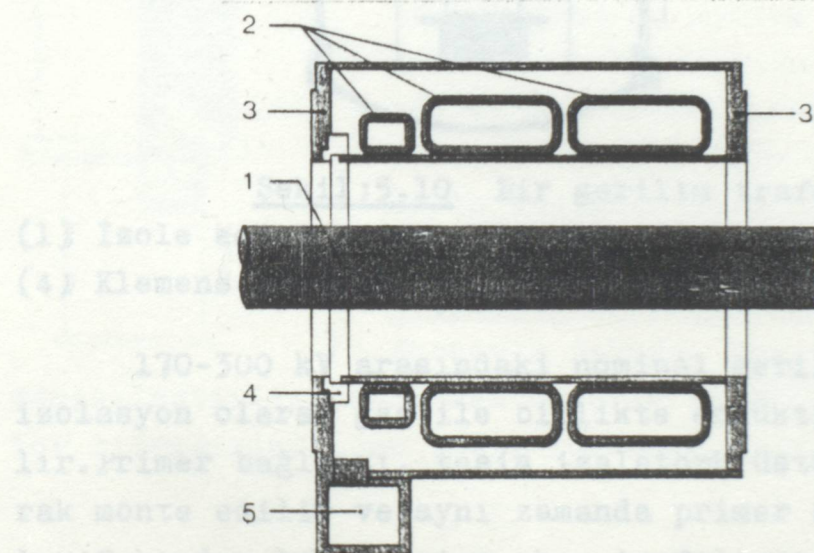
- (1) Fark basınç kontrolörü, (2) Yoğunluk kontrolörü,
- (3) Kompresör, (4) Toz滤resi, (5) Absorbsiyon filtresi.

Şalterin izolasyon basıncı bir gaz yoğunluk kontrolörü ile, salt ve izolasyon basıncı arasındaki basınç farkı bir fark basınç kontrolörü ile kontrol edilmektedir. Bir şalterleme sırasında gaz salt basınç hacminden izolasyon basıncı hacmine akarsa, o zaman fark basınç kontrolörü bir kompresörü çalıştırır. Bu kompresör esas basınç farkını teşkil eder. Sıcaklığa artışlarından dolayı basınç farkı ar-

tarsa, o zaman gaz magnetik ventil üzerinden şalt basınç hacminden izolasyon basınç hacmine üflenir. Toz滤resi, kontak tutuşması sonucu ortaya çıkan şalt tozunu alır, buna karşılık "Absorbsiyon"滤resi ayırtma ürünlerinin ve nemliliğin tutulmasında rol oynar.

5.5. Kapsüllenmiş Akım Trafosu:

Akı̄m trafosu normal tarzda iletken çıkış çerçevesinde bulunur. Ve tek iletkenli değişik yapılı trafo olarak dizayn edilir. Trafo gövdesi iki eş merkezli borudan oluşmaktadır. Bu borular her iki alın tarafında flanslarla kapatılmıştır. Primer iletken, SF₆-Gazıyla doldurulmuş iç boru iletkeni vasıtasiyla oluşturulur. İç boru iletken ve yan flanslardan birisinin arasına izole ring yerleştirilmiştir. Bu ring, trafo gövdesinin kısa devre sargısı olarak tesir etmesini ve böylece ölçmeyi etkilemesini engeller.

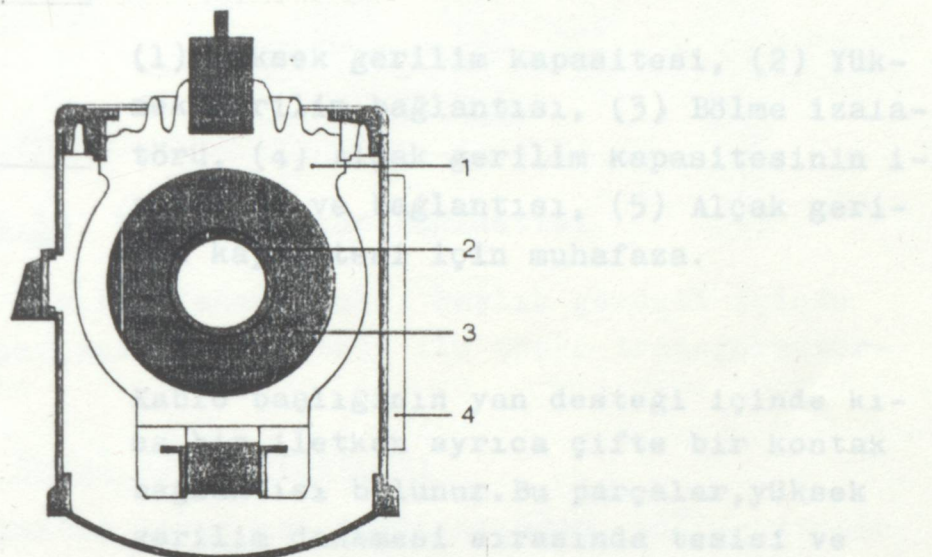


Sekil:5.9 Bir akım trafosu kesiti.
(1) Primer iletken, (2) Sekonder sargılı çekirdek, (3) Metal flans, (4) Izole ring, (5) Klemens kutusu.

İç ve dış boru arasındaki hacme sekonder sargılı 5 trafo çekirdeği yerlestirebilme imkanı vardır. Bu hacim dış havayla bağlantılıdır. Çekirdeklerin sayısına, çekirdek gücüne ve doğruluk sınıfına bağlı olarak sekonder donanımın hacim ihtiyacına göre, çeşitli yapı uzunlıklarında akım trafoları mevcuttur.

5.6. Kapsüllenmiş Gerilim Trafosu:

Kapsüllenmiş tesislerin gerilim trafları üç şekilde dizayn edilir. 170 kV'a kadar nominal gerilimler için döküm reçine izolasyonlu endüktif bir trafo kullanılır. Sekonder bağlantılar konvansiyonel traflardaki gibi bir klemens kutusunda yerleştirilir.



Sekil:5.10 Bir gerilim trafosu kesiti.

(1) İzole edici gövde, (2) Sekonder sargı, (3) Primer sargı, (4) Klemens kutusu.

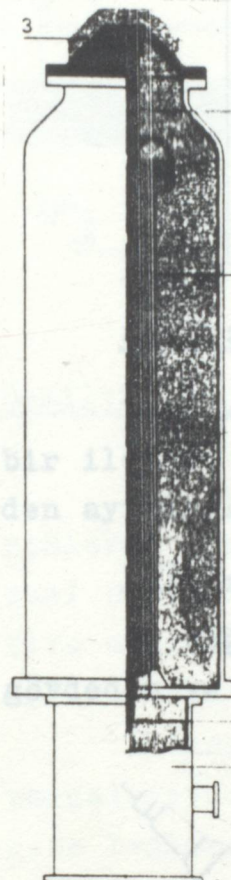
170-300 kV arasındaki nominal gerilimler için, ana izolasyon olarak gaz ile birlikte endüktif trafo kullanılır. Primer bağlantı, tesis izalatörü üstünde soketli olarak monte edilir ve aynı zamanda primer sargı taşınmış olur. Sekonder bağlantılar akım traflarındaki gibi benzer olarak doküm reçine teçhizatı içinde bir geçiş plakası üzerinden dışarıya doğru gönderilir. 300 kv üzerindeki tesislerde kapasitif gerilim trafları kullanılır.

Yüksek gerilim kapasitesi, yağıla izole edilmiş olarak konvansiyonel tarzdaki gibi dizayn edilir. Yüksek gerilim bağlantısı bir tesis izalatörü üzerinden dışarı gönderilir. Bu izalatör aynı zamanda kondansatör çubuklarını yukarıda destekler.

5.7. Geçişler:

5.7.1. Kablo Bağlantısı:

Bir kablo başlığı gövdesiyle yapılmaktadır. Bu gовde ihtiyaca göre direkt veya bir ara gövdeyle çıkış ayırıcı-sında tertiblenmiştir.



Sekil:5.11

2 Kapasitif bir gerilim trafosunun kesiti.

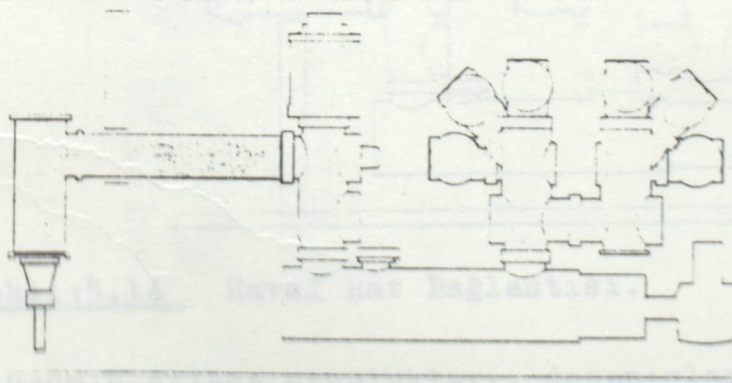
1 (1) Yüksek gerilim kapasitesi, (2) Yüksek gerilim bağlantısı, (3) Bölme izalatörü, (4) Alçak gerilim kapasitesinin izalatörü ve bağlantısı, (5) Alçak gerilim kapasitesi için muhafaza.

Kablo başlığının yan desteği içinde kısa bir iletken ayrıca çifte bir kontak bağlantısı bulunur. Bu parçalar, yüksek gerilim denemesi sırasında tesisi ve kabloyu ayırmak için uzaklaştırılabilir.

Kablo bağlantı gövdesine her çeşit konvansiyonel kablo bağlanabilir.

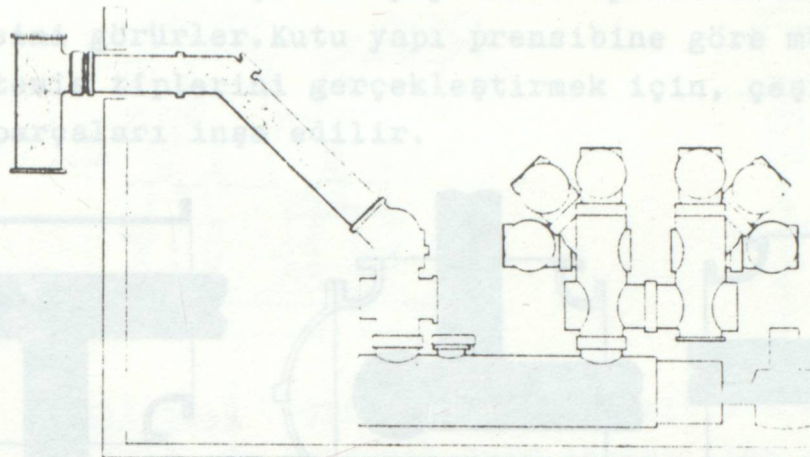
5.7.2. Transformatör Bağlantısı:

Ekonominik tarzda, basit yapı birimiyle gerçekleştirilir. Kompansatörlerin ilavesiyle transformator titreşimlerinden tesis korunmuş olur.



Sekil:5.12 Kablo Bağlantısı.

Tesislerin müsterek yapısında aparatların bağlanması vazifesi deildir. Kütü yapı prensibine göre mümkün olan bütün tesislerin bağlanması gerekçlestirmek için, çeşitli bağlantılar paralel olarak kullanılabilir.



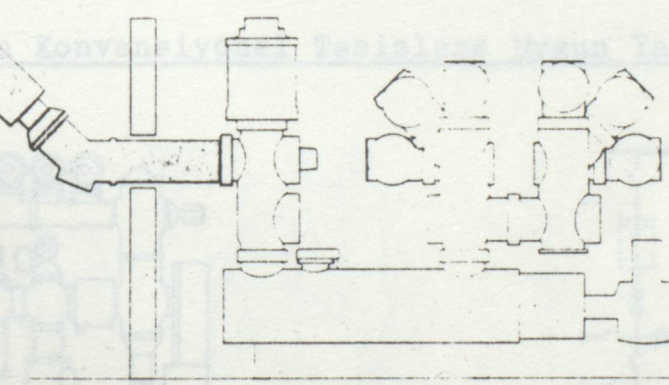
Şekil:5.13 Transformatör Bağlantısı.

Yüksek gerilim denemesinde; baslık gövdesi içinde bir iletken parçasının demontajı ile tesis transformatörden ayrılır.

5.7.3. Havaf Hat Bağlantısı:

Bu bağlantı; havaf hat teçhizatından, 45° açılı bir gövdeden ve silindirik uzatma gövdesinden oluşur.

Lüzumlu atlama uzunlukları, donanımların aynı tarzda aralarının açılmasıyla gerçekleştirilir.

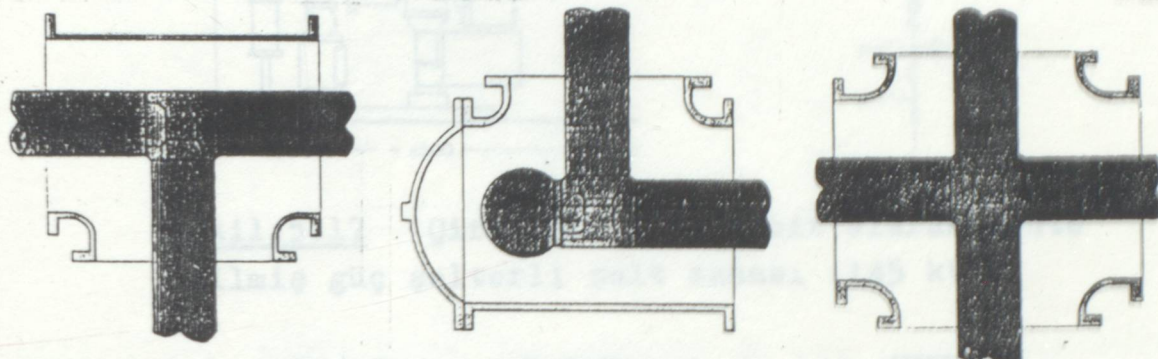


Şekil:5.14 Havaf Hat Bağlantısı.

Lüzumlu atlama uzunlukları, donanımların aynı tarzda aralarının açılmasıyla gerçekleştirilir.

5.8. Bağlantı Parçaları:

Tesislerin müsterek yapısında aparatların bağlanması vazifesini görürler. Kutu yapı prensibine göre mümkün olan bütün tesis tiplerini gerçekleştirmek için, çeşitli bağlantı parçaları inşa edilir.

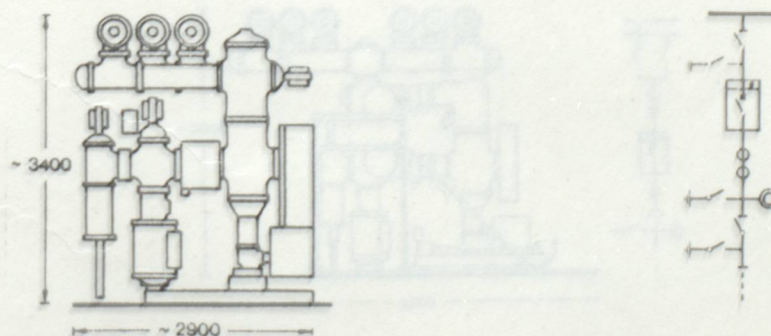


Sekil:5.15 Çeşitli Bağlantı Parçaları.

Bağlantı parçaları, kapsülleme bölümlerini hususî kisimlarla tamamlayan kapsülleme parçalarından oluşur. Bu hususî parçalar, bağlantı elemanlarını ve akım hatlarını ihtiyaç eder. İcabi halinde bu parçalar üzerine normal bölme izalatörleri yerleştirilebilir.

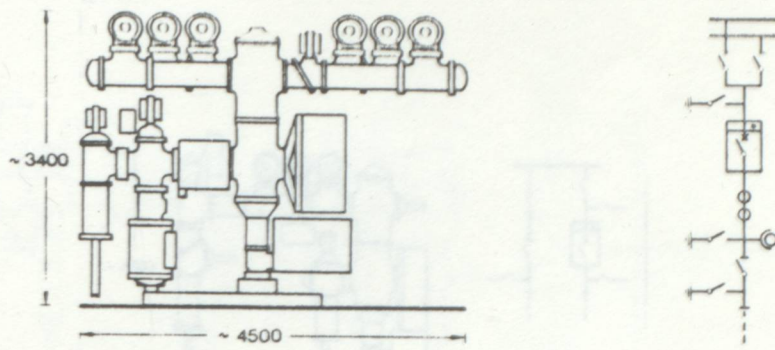
Transformatörler bir kutuplu kapsülleme bağlantı parçalarıyla ve bir SF₆-Yağ geçişleriyle direkt olarak tesis'e bağlanabilirler.

5.9. Bütün Konvansiyonel Tesislere Uygun Yapı Biçimleri:

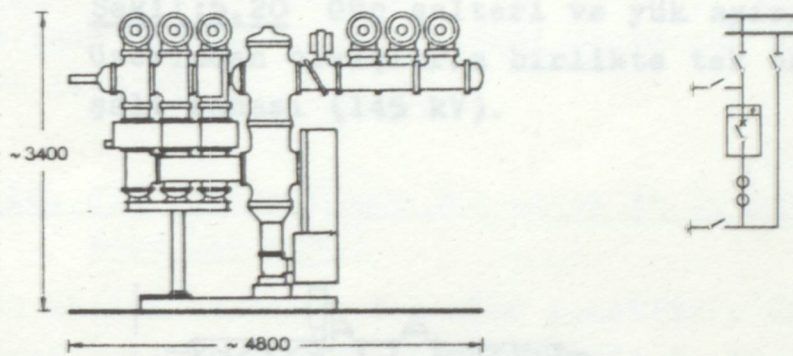


Sekil:5.16

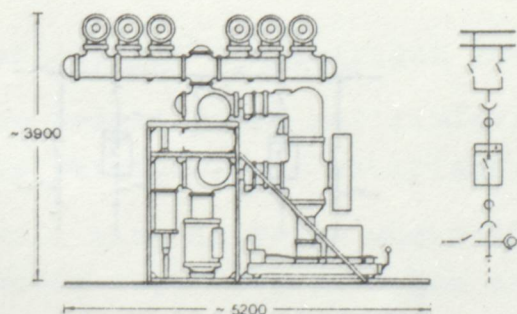
Tek baralı ve sabit olarak monte edilmiş güç şalterli şalt sahası (145 kV).



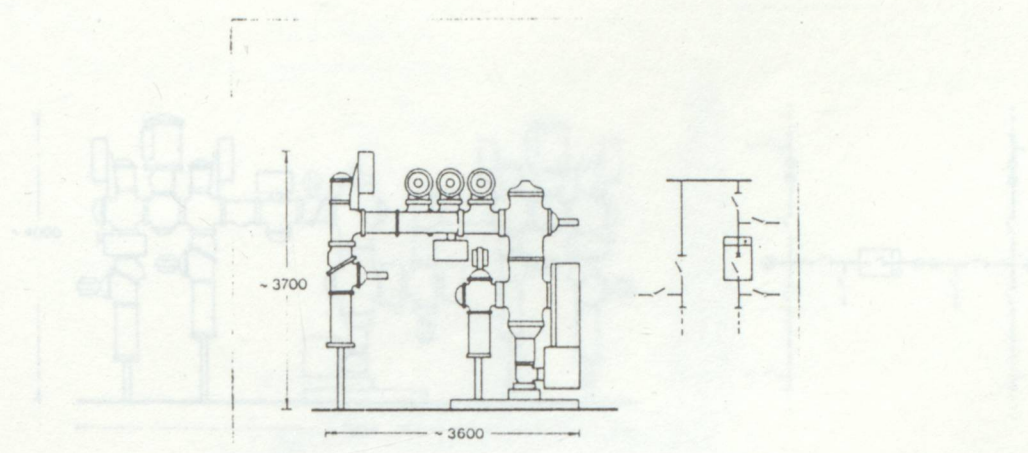
Şekil:5.17 Çift baralı ve sabit olarak monte edilmiş güç şalterli şalt sahası (145 kV).



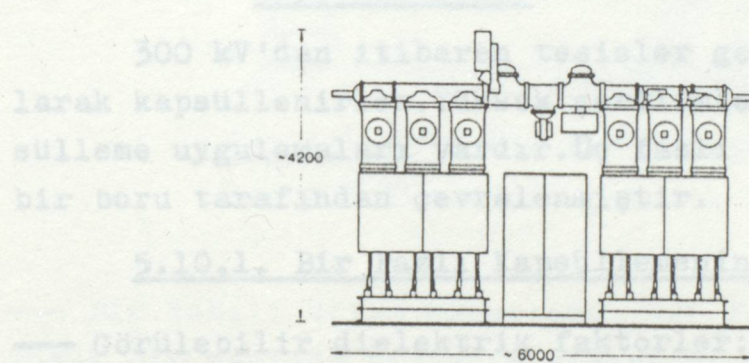
Şekil:5.18 Sabit olarak yerleştirilmiş güç şalterleri üzerinden enine bağlantılı çift baralı şalt sahası (145 kV) .



Şekil:5.19 Çift baralı ve taşınabilir güç şalterli şalt sahası.(145 kV)



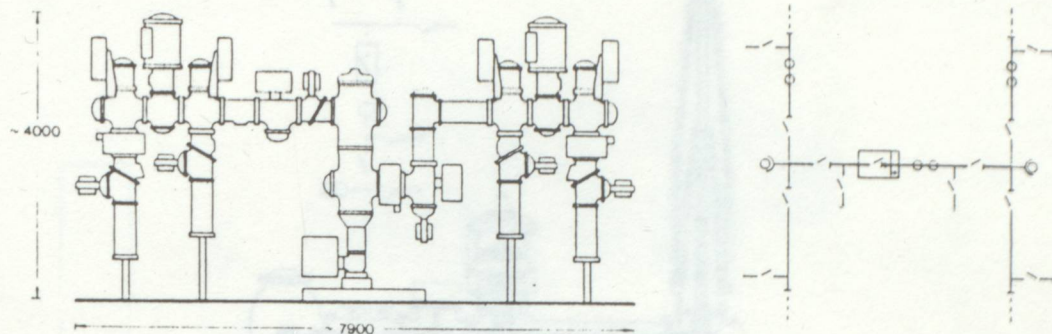
Sekil:5.20 Güç şalteri ve yük ayırcısı
içindeki şalterlerin ve yük ayırcılarının
birlikte tek baralı
başına ayırma (145 kV).



- 300 kV'lik bir şalterin
lara kapılıp kapatıldığında
sülleme uygulanır. Bu
bir baru tarafların devre
başına ayırma (145 kV).
- Görülebilir
yel yüzeyleri.
— Sadece ızgara
genişliğinde elektrikin
zorlanması.
— Gas isolasyonu
başına ayırma
başına ayırma
— Fazlı kira devreler mümkün değildir. Topraklanma
ve ızgaranın nedeninden
küçük toprak değne skipleri ortaya
çıkarılır.

Sekil:5.21

Sekil:5.20'e göre iki şalt sahasından oluşan
H-bağlantı içindeki şalt tesisi ve yük ayırcı
şalterleri üzerinden uzunlamasına ayırma
(145 kV).



Sekil:5.22 Dört yük ayırcı şalter çıkışlı H-bağlantısı içindeki şalt tesisi ve güç şalteri üzerinden uzunlamasına ayırma (145 kV).

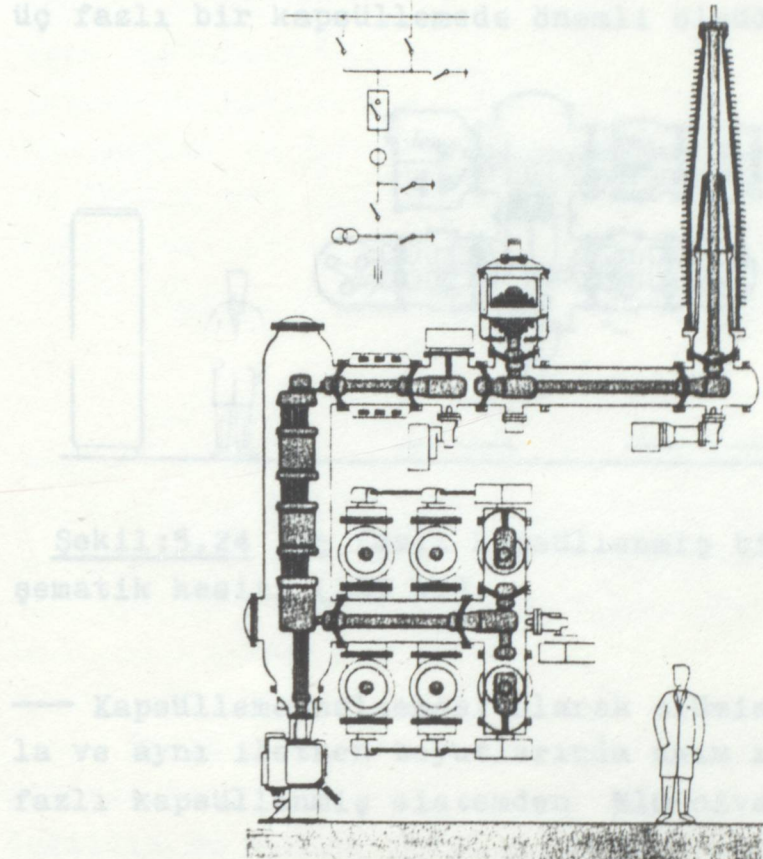
5.10. GIS Tesislerinin Bir Fazlı ve Üç Fazlı Olarak Kapsülleme:

300 kV'dan itibaren tesisler genellikle bir fazlı olarak kapsüllemdir. Yüksek gerilimlerde de üç fazlı kapsülleme uygulamaları vardır. Üç fazlı kapsüllemede, üç faz bir boru tarafından çevrelenmiştir.

5.10.1. Bir Fazlı Kapsüllemenin Faydaları:

- Görülebilir dielektrik faktörler: Eş merkezli potansiyel yüzeyler,
- Sadece faz geriliğiyle dielektriğin zorlanması,
- Gaz izolasyonu sadece aşırı gerilimlerle zorlanır. Bu aşırı gerilimlerde parafudrlarla sınırlanabilir,
- Sadece bir fazlı kısa devreler mümkündür. Topraklanmamış şebekede nisbeten küçük toprak değme akımları ortaya çıkar,
- Eğer kapsülleme ters (geri) akıma sebebiyet verirse, dinamik kuvvetlerin simetrisi yani destekleyiciler az zorlanırlar,

Böylece ark tutumları, bir fazla kapsüllenmeye nisbetle üç fazlı bir kapasitörde daha büyük olmaktadır.



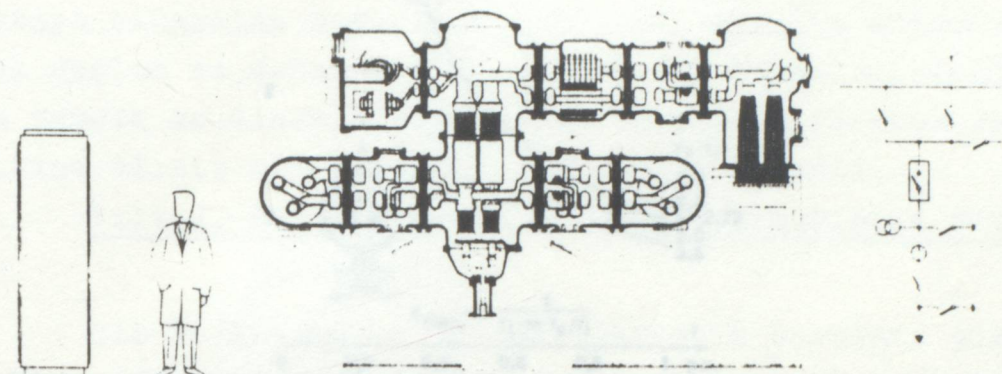
Şekil:5.23 Bir fazlı kapsüllenmiş bir GIS Tesisinin şematik kesiti (550 kV).

- Bir dahili arıza esnasında, bir faz üzerinde ve nisbeten küçük bir hacimde arızanın sınırlanırılması,
- Tesislerin teşkilinde yüksek fleksibilitet,
- Komponentlerin hafif olması,
- Kapsülleme malzemesi olarak alüminyum kullanımından dolayı, korozyona dayanıklılık.

5.10.2. Üç fazlı Kapsüllemenin Faydaları:

- Kapsülleme malzemisi olarak çelik kullanılabilir,
- Çelik, elektrodların aynı geometrik tertibinde (yani iç iletken ve kapsülleme) aynı kalınlıklarda, alüminyumdan daha büyük bir ark tutuşma zamanına sahiptir.

Böylece ark tutuşmaları, bir fazlı kapsüllemeye nisbetle üç fazlı bir kapsüllemede önemli ölçüde azaltılmıştır.



Sekil:5.24 Üç fazlı kapsüllenmiş bir GIS Tesisinin şematik kesiti (145 kV).

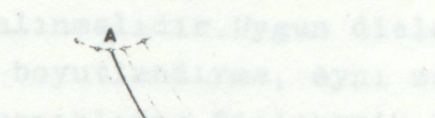
— Kapsülleme malzemesi olarak alüminyum kullanılımasıyla ve aynı iletken boyutlarında akım ısı kayipları, bir fazlı kapsüllenmiş sistemden %10 civarında daha azdır.

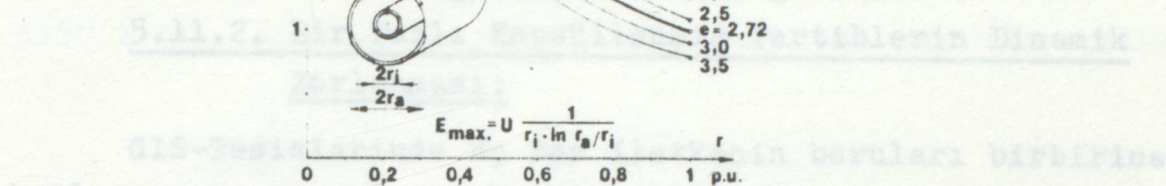
5.11. GIS Tesislerinde Termik ve Dinamik Kısa Devre Zorlanmaları:

5.11.1. Boyutlandırma İçin Ana Parametre:

Dielektrik zorlanma asıl boyutlandırma büyüklüklerini ifade eder. İletken ve kapsülleme arasındaki serbest gaz hatında maksimum uygun alan şiddetine ve belirli bir nominal gerilim için talep edilen darbe gerilim seviyesine uygun olarak gerilimli parçalar ve topraklanmış kapsülleme arasında asgari açıklıklar ortaya çıkmaktadır.

Koaksiyal silindir elektrodlu bir fazlı kapsüllenmiş tertiblerde en yüksek alan şiddeti (en büyük dielektrik zorlanma) iç iletkenin dış yüzeyinde olur. Sekil:5.25, kapsülün iç çapı ile elektrodlar arasındaki sabit gerilim farkında çeşitli yarıçap oranları için (r_a / r_i) eş merkezli silindirler arasındaki alan şiddeti değişimini göstermektedir. İç iletkendeki en az alan şiddeti, yarıçap oranı $r_a / r_i = e = 2,718$ (A noktası) olması halinde ortaya çıkmaktadır.

rında bulunur. Böylece GIS-tapınlıklarında usinma problemi es-
runlu olarak birka plana ittilir ve buel tedbirler sadece hu-
suslu durumlardır.
 3.  A diagram illustrating the electric field distribution around a GIS tap. It shows a central vertical axis with a horizontal branch extending to the right. The horizontal branch has two points labeled 'A' and 'B'. Point 'A' is at the end of the branch, and point 'B' is further down the branch. A curved arrow originates from point 'A' and points towards point 'B', representing the direction of the electric field. The background is shaded to indicate different dielectric regions.
 2. $\frac{r_A}{r_B} =$
 2,2 \rightarrow tarekin,



Sekil:5.25 Çeşitli yarıçap oranları için (r_a/r_i), eş merkezli silindirler arasındaki ($r_a = lpu = \text{sabit}$) alan şiddeti dağılımı.

En az gerilim zorlanması için minimum (kesikli çizgilerle belirtilen eğrinin gösterdiği gibi) fazla belirgin değildir. Bu yüzden ideal yarıçap oranından (e) belirli bir ayrılma en azından $2,5 \leq r_a/r_i \leq 3,0$ sahasında pek az bir bozulmaya sebebiyet verir. Böylece konstruksiyoncuya iletken ve kapsül çapı seçiminde belirli bir esneklik sağlar.

İstenen darbe gerilim seviyesi ve önerilen bir SF₆ gaz basıncında maksimum uygun alan şiddetini, seçilen yarıçap oranı için ve bir emniyet faktörüne dikkat edilmesiyle birlikte her iki eş merkezli boru arasındaki gerekli açıklık bulunabilir.

100 kV'dan 800 kV'a kadar ki nominal gerilim sahası için 120 mm'den 220 mm'e kadar iç iletken çapları ve 310 mm'den 630 mm'e kadar kapsülleme boru çapları mevcuttur. Dayanıklılık sebeplerinden dolayı bu boruların kalınlıkları 5 mm'i geçmez. Ayrıca zorunlu olarak 2000 mm^2 - 10000 mm^2 'lik iletken kesitleri vardır, ki bunlar benzeri havaf hat iletken kesitlerinin önemli ölçüde üzerindedir.

Bir fazlı tertiblerde aynı şekilde akım geçiren boğuların (kapsülleme) kesitleri yaklaşık (e) faktörü civarında

rında bulunur. Böylece GIS-Tesislerinde ısınma problemi zorunlu olarak arka plana itilir ve özel tedbirler sadece hususi durumlarda alınmalıdır. Uygun dielektrik zorlanmadan ortaya çıkarılan boyutlandırma, aynı zamanda mekanik olarak çok sağlam ve dayanıklıdır. Dielektrik boyutlandırmadan sonra termik ve dinamik kısa devre zorlanmalarının kontrol altına alınıp alınmadığının denenmesi gereklidir.

5.11.2. Bir Fazlı Kapsüllenmiş Tertiblerin Dinamik Zorlanması:

GIS-Tesislerinde üç faz iletkenin boruları birbirine bağlanmış ve en azından borular başlangıç ve sonlarında galvanik olarak birbirine temas ettikleri için, borular içinde uzunlamasına akımlar endüklenir, ki bu akımlar iletken akımları gibi pratikte aynı büyüklükte, fakat zıt olarak yönlendirilmişlerdir. Kapsül ve iletken akımlarından ortaya çıkan kuvvet tesirleri silindirik şekildeki simetrik tertiblerden dolayı karşılıklı ortadan kalkar, bu yüzden bir fazlı kapsüllenmiş tertibler bir kısa devre esnasında dahi pratik olarak zorlanmazlar.

5.11.3. Üç Fazlı Kapsüllenmiş Tertiblerin Dinamik Zorlanması:

Eşit kenarlı üçgen içinde yerleştirilmiş iletkenler arasında zamana bağlı olarak, üç faz akımının hususi iletkenler içinde akan moment değerlerinden ileri gelen kuvvetler etki eder ve bunlar basitçe hesaplanabilir. İki iletken için:

$$F \left[\frac{N}{m} \right] = \frac{\mu_0}{2\pi} i_1 i_2 \frac{1}{a} = 0,2 i_1 i_2 \frac{1}{a}$$

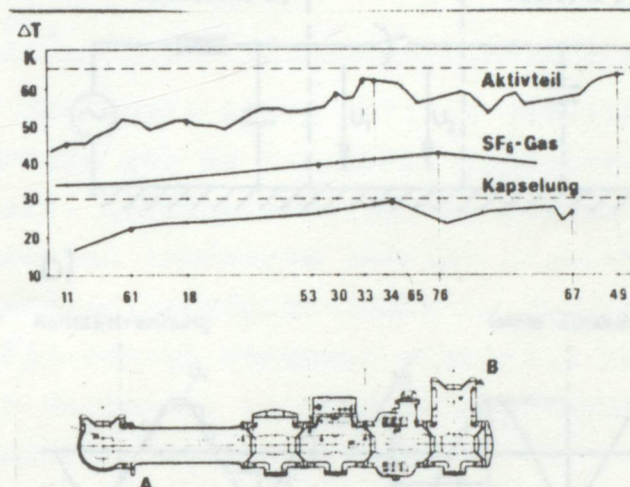
(a= iki iletken arası mesafe, l= Mesnet uzaklığı)

Üçüncü iletkeden ileri gelen kuvvetlerde uygun olarak hesaplanabilir ve bileşke kuvvet için geometrik bir toplam ile birleştirilir.

5.11.4. Termik Zorlanma:

Devamlı işletme esnasındaki nominal akımdan ileri ge-

len ısınma; SF_6 içinde iyi ısı transferinden dolayı ve büyük alüminyum kesitler sayesinde az kayıp güçten dolayı, problem değildir. Oksijen maddesinin mevcut olmaması sayesinde sıcak kontak teması mümkün değildir. Aynı miktarda ve aynı zamanda olmayan termik genleşmeden dolayı hem kılıf boru için hemde iletkenler için genleşme parçaları lazımdır. Şekil:5.26, bir GIS-Tesisinin hususi bileşenleri için 3150 A'lık nominal akımda ısınma profilini göstermektedir.



Şekil:5.26 Bir GIS-Tesisinin ısınma profili.

GIS-Tesislerinin, kapsül ve iletkenlerinin çap ve kesitleri dielektrik ve imalat sebeplerinden dolayı, termik ve dinamik kısa devre zorlanmaları umumiyetle hususi ve ilave tedbirler olmaksızın kontrol altına alınacak kadar büyük boyutlandırılırlar.

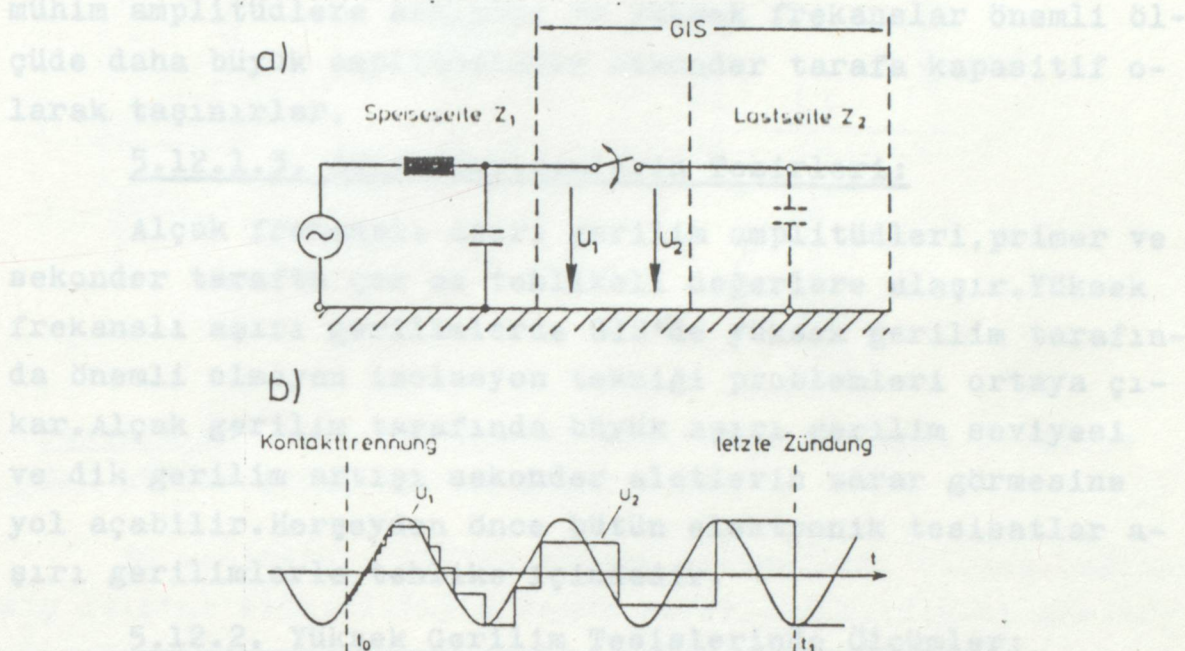
5.12. GIS-Tesislerinde Geçici Aşırı Gerilimler:

Geçici aşırı gerilimlerin değişimi tam olarak hem primer hemde sekonder tarafta, ne önceden tahmin edilir nede modeller ile belirlenebilir. Aşırı gerilimin büyüklüğü ve çeşidi için primer ve sekonder tarafta bir seri ölçümler yapmak gereklidir.

5.12.1. GIS-Tesislerinde Aşırı Gerilimlerin Ortaya Çıkması, Yayılması ve Tesirleri:

5.12.1.1. Ayırıcı Bağlantılar:

Ayırıcılar nisbeten yavaş şalterlenen aletlerdir, bu yüzden boştaki parçaların kapatılıp açılmasında (özellikle kapasitif yüklerde) ön veya geri tutuşmalar ortaya çıkar. Şekil:5.27'de açma olayının esas değişimi ifade edilmiştir.



Sekil:5.27 GIS'de boşta duran iletken bölümülerinin ayrılmaması sırasında dengeleme olaylarının esas değişimi.

a) Bağlantı Şeması

Z_1 , Z_2 Besleme ve Yük tarafının karakteristik empedansı,

t_0 Kontak ayırma başlangıcı,

t_1 Son tutuşma ,

b) Besleme ve Yük tarafının gerilim değişimi.

Geri ateşleme sırasındaki ayırma, GIS'de elektronagatif izole edici gaz sebebiyle birkaç (ns) içinde yapılır. Işık arkı direncide düşük değerlere ulaşır. Bu suretle sebebiyet verilen yürüyen dalga olayları kompakt GIS içinde ns mertebesinde dengeleme olaylarını ortaya çıkarır. Bu tür dengeleme olaylarının üst üste bindirilmesiyle ve artan salınımlarla tesis içinde pratikte ölçülen kompleks gerilim

değişimleri ortaya çıkar.

5.12.1.2. Dengelerme Olaylarının Yayılması:

Alçak frekanslı dengelerme olayları hemen hemen yalnızca trafolar üzerinden elektrik tesislerinin sekonder tarafına taşınırlar. Yüksek frekanstaki dengelerme olayları mühim amplitüdlere sahiptir ve yüksek frekanslar önemli ölçüde daha büyük amplitüdlerle sekonder tarafa kapasitif olarak taşınırlar.

5.12.1.3. Aşırı Gerilimlerin Tesirleri:

Alçak frekanslı aşırı gerilim amplitüdleri, primer ve sekonder tarafta çok az tehlikeli değerlere ulaşır. Yüksek frekanslı aşırı gerilimlerde GIS'de yüksek gerilim tarafında önemli olmayan izolasyon tekniği problemleri ortaya çıkar. Alçak gerilim tarafında büyük aşırı gerilim seviyesi ve dik gerilim artışı sekonder aletlerin zarar görmesine yol açabilir. Herseyeden önce bütün elektronik tesisatlar aşırı gerilimlerle tehlike içindedir.

5.12.2. Yüksek Gerilim Tesislerinde Ölçümler:

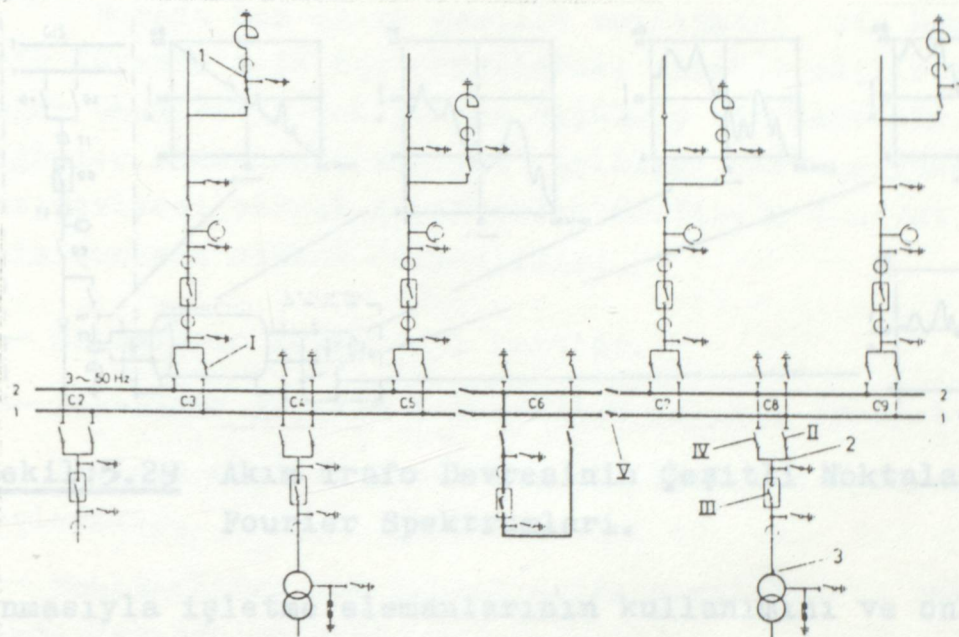
5.12.2.1. 380 kV'luk Bir GIS-Tesisinin Yüksek Gerilim Tarafında Geçici Olaylar:

Güney Viyana'daki 380 kV'luk GIS-Tesisinde; salt hareketleri esnasında gerilim değişimini ve direkt olarak işaretme elemanlarına ait Yağ-SF₆ donanımlarından önce tesbit etmek için, üç yerde kapasitif gerilim bölücüler monte edilmiştir. (1) ölçme noktası bobin donanımında, (2) noktası II bara ayırcısının yakınında, (3) noktası trafo yakınındadır.

Toplam Ölçme Serisinin Sonuçları:

(1) Yeter derecede emniyetli nominal baz gerilimi tarafından sınırlanan en yüksek gerilim zorlanmaları (1,7pu), kHz-Mertebesinde güç şalterleriyle trafonun devreye konması sırasında ortaya çıkmıştır.

(2) Uygun olmayan şalterlemeler için, 0,5pu'de 13ns'lik ve uygun şalteriemelerde 0,3pu'de 25ns'lik en kısa alın zamanları elde edilmiştir.



Sekil:5.28 Salt yerleri ve ölçme noktalarıyla birlikte 380 kV'luk Güney Viyana GIS-Tesi.

Bu neticeler, GIS'in toplam sisteminin, direkt bağlanmış işletme elemanlarıyla doğru boyutlandırıldığını göstermektedir.

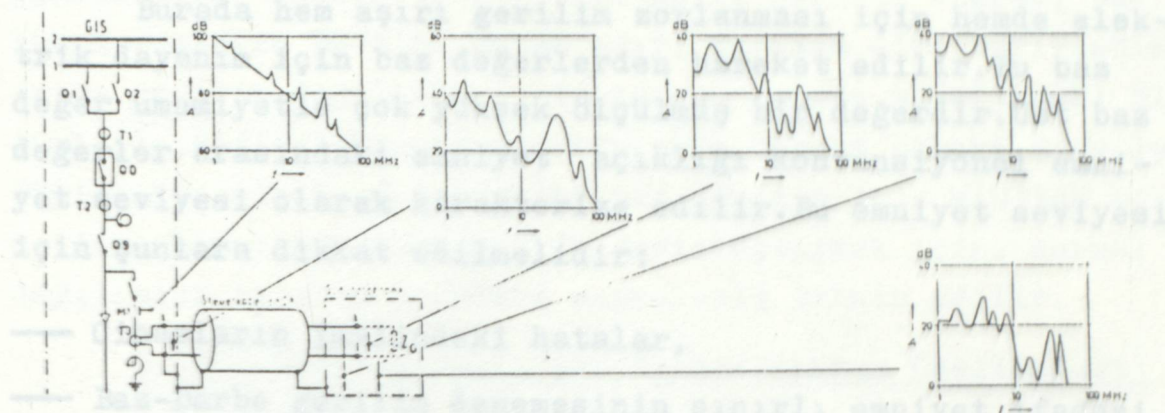
5.12.2.2. Yüksek Gerilim İletkeninden Kumanda Dolabı-na Kadar Bir GIS'in Geçici Gerilimleri:

Çıkış ayırcılı bir şalterlemede yüksek gerilim iletkeninden sekonder aletler üzerine bağlantı mekanizmalarını daha yakından araştırmak için bir kablo sahasında ölçümler yapılır. Özel ölçme yerleri (kapasitif ölçme plakası, akım trafosu sekonder klemensleri, koruma dolabı gibi) ve onlara ait ölçme sonuçları Sekil:5.29'da gösterilmiştir.

Burada primer parazit (bozucu) sinyalin akım trafo-sundan geçerken zayıflaması yaklaşık 50 dB'dır. Akım trafo-sundaki sinyale nisbetle kumanda dolabındaki sinyal 10 dB civarında zayıflamaktadır.

5.13. GIS-Tesislerinin Aşırı Gerilime Karşı Korunması ve İzolasyon Koordinasyonu:

İzolasyon koordinasyonu; işletme elemanın öngörüldüğü bir şebekede ortaya çıkabilecek gerilimlerin dikkate a-



Sekil:5.29 Akım Trafo Devresinin Çeşitli Noktalarında Fourier Spektrumları.

linmasyla işletme elemanlarının kullanımını ve onların izolasyon seviyesinin seçimini kapsar. Mevcut aşırı gerilim koruma teçhizatlarının özelliklerini ve ortaya çıkan aşırı gerilim zorlanmaları; bir işletme elemanındaki izolasyonun zarar ihtimalini veya işletmenin kesilmesini ekonomik ve işletmeye uygun kabul edilebilir bir miktara indirecek şekilde seçilir.

5.13.1. Izolasyon Koordinasyonu İçin Önemli Kriterler:

- İşletme elemanlarının elektrik dayanımı,
- Aşırı gerilim zorlanmaları,
- Aşırı gerilim koruma seviyesi,
- Aşırı gerilimiere karşı istenen emniyetin derecesi.

Nominal izolasyon seviyesinin tesbiti için sonuç büyülük; geçici gerilim yükselmesidir. Gözönüne alınması gereken geçici gerilim yükselmesinin maksimum değeri konvansiyonel yapı tarzının aşırı gerilim parafudrlarının sönmeye gerilimi veya metal oksid parafudrların termik uygun ölçünlendirilmesi tesbit eder. Nominal izolasyon seviyesi, koruma seviyesi üzerinde belirli bir emniyet marjında seçilir.

5.13.2. Konyansiyonel Izolasyon Boyutlandırılması ve Emniyet Seviyesi:

Burada hem aşırı gerilim zorlanması için hemde elektrik dayanım için baz değerlerden hareket edilir. Bu baz değer umumiyetle çok yüksek ölçülmüş bir değerdir. Üst baz değerler arasındaki emniyet açıklığı konvansiyonel emniyet seviyesi olarak karakterize edilir. Bu emniyet seviyesi için şunlara dikkat edilmelidir:

- Cihazların imalindeki hatalar,
- Baz-Darbe gerilim denemesinin sınırlı emniyet ifadesi,
- Tesisin çeşidi, paralel izole hattının aynı zamanda zorlanması,
- Beklenebilen çok yüksek aşırı gerilimlerin belirlenmesinde yapılan hatalar.

72,5 kV'dan 525 kV'a kadar olan tesislerde emniyet seviyesi şimşek darbe gerilimi için 1,4'den 1,6 kadar ki değerlerde; salt darbe gerilimi için 1,15'den 1,25'li değerlerde bulunur.

<i>İşletme elemanı için en yüksek gerilim U_m (Efektif) kV</i>	<i>Kesme Gerilimi U_i (Efektif) kV</i>	<i>Koruma Seviyesi (Tepe Değerler) Şimşek U_{s8} kV</i>	<i>Koruma Seviyesi (Tepe Değerler) Salt U_{s8} kV</i>	<i>Nominal izolasyon seviyesi (Tepe Değerler) Şimşek kV</i>	<i>Nominal izolasyon seviyesi (Tepe Değerler) Salt kV</i>	<i>Konvansiyonel emniyet seviyesi Şimşek Salt</i>
72,5	72	205	-	325	-	1,58
123	132	350	-	550	-	1,57
245	264	690	-	950	-	1,37
	288	750	-	1050	-	1,40
360	900	850	1425	1050	1,58	1,23
420	408	1020	950	1425	1175	1,39
525	432	975	950	1550	1175	1,59
	444	1020	1000	1550	1175	1,52
						1,17

Sekil:5.30 $U_m=72,5 \text{ kV}-525 \text{ kV}$ sahasında konvansiyonel emniyet seviyesi.

5.13.3. İzolasyon Koordinasyonunun İstatistikî Kullanımı:

Aşırı gerilim ve dielektrik dayanım olasılık dağılımı

olarak ifade edilir. İstatistikî aşırı gerilim olarak; bütün durumların %2'sini geçen aşırı gerilim diye tariflenir. Aşırı gerilim dağılımları, transient şebeke modelindeki ölçümlerle, digital hesaplamalarla veya direkt şebeke ölçümlemeyle elde edilir. İstatistikî baz gerilim için %10'luk bir delinme olasılığı farz edilir. Basitleştirmek için, normal dağılımlar bilinen standard sapmalarla tahmin edilir.

5.13.4. SF₆-Basınçlı Gaz Izolasyonunun Özellikleri:

Basınçlı gaz izolasyonunun boyutlandırılmasında çoktanlıkla şimşek darbe gerilimi kesin neticeyi temin eder. İlave olarak tesir eden parametrelerin, yani dış yüzey oranları, pislenme ölçüsü ayrıca artan basınç ve daha büyük ölçülerle azalan yüzey-hacim etkisinin göz önüne alınması gereklidir.

Destekleme yapı elemanları olarak tahrîk kuvvetlerinin taşınması ayrıca SF₆ hacimlerinin bölmelendirilmesi için lüzumlu sert yapılı izalatörlerin, hem kısa süreli deneme gerilimleri için hemde devamlı işletme kabiliyeti bakımından seçilmesi gerekmektedir. Kısa zamanlı nominal baz gerilimlerle devamlı işletme gerilimleri arasındaki oran daima daha küçük olduğu için; bu durum artan ölçüde daha yüksek işletme gerilimleri içinde geçerlidir.

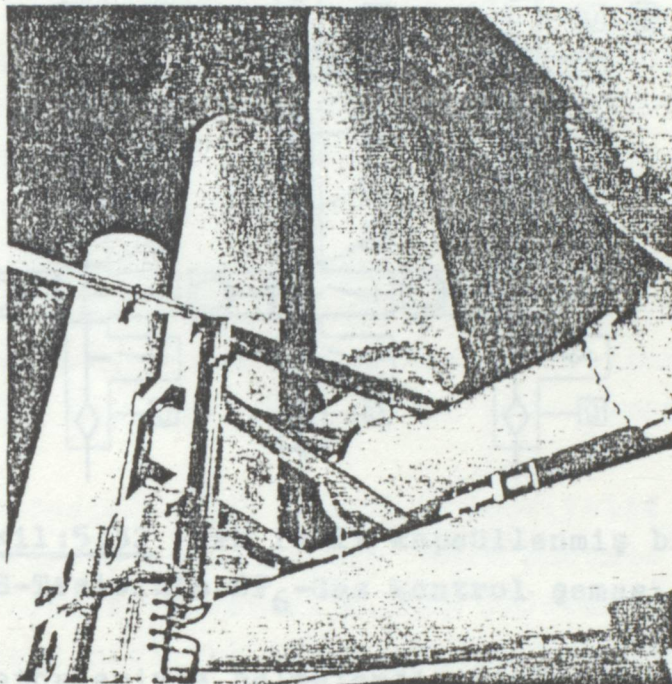
5.13.5. Aşırı Gerilim Koruması İçin Tedbirler:

GIS-Tesislerinin çok yüksek aşırı gerilimlere karşı parafudrlar ile korunması gereklidir. $U_m = 123-245$ kV için havâf hat bağlantılı daha küçük tesislerde ziyade geçiş yerlerinde havâf hat yapı tarzında parafudrlar yeterlidir. Büyük tesisler, tercihan $U_m = 420$ kV ve daha yüksek gerilimler için, transformatörlerde veya diğer yerlerde metal kapsüllü teçhizat içinde ilave entegre edilmiş parafudrlar gereklidir.

Bunun dışında aşağıdaki parametreleri göz önünde bulundurmak gereklidir:

— Kablonun veya boru hattının uzunluğu, gas hacimleri
ve tesislerin boyutları, tesislerin inşâ-

- Havaî hat-Kablo veya boru hattının karakteristik empedans faktörü,
- Tesisin nominal baz şimşek darbe gerilimi,
- Aşırı gerilimin yüksekliği ve biçimini ,
- Yürüyen dalgaların yansima noktaları.

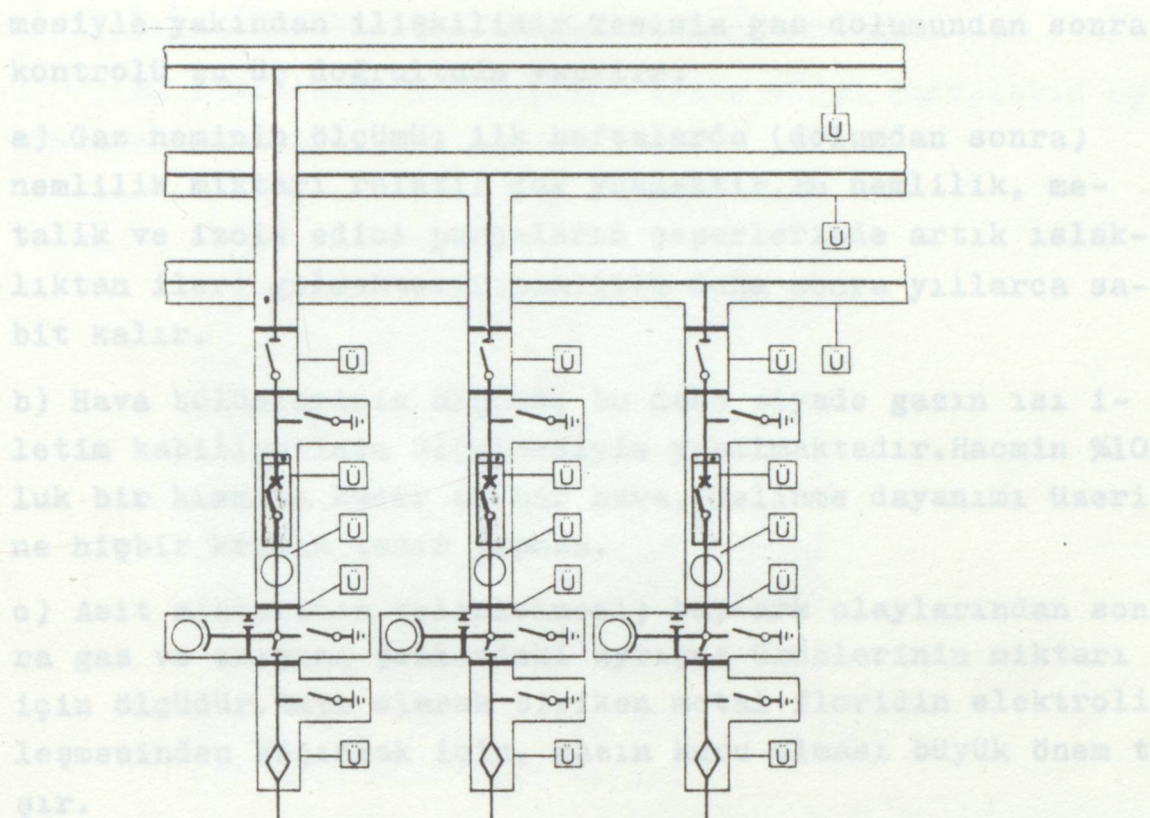


Sekil:5.31 420 kV'luk SF₆-Boru iletimli enerji taşıma sisteminde kapsüllenmiş bir aşırı gerilim parafuduru.

5.14. GIS-Tesislerinde SF₆-Gaz Kontrolü:

SF₆ izoleli şalt tesislerinin gaz yoğunluğu için çeşitli tedbirlerin birleştirilmesi gerekmektedir. Meselâ, Alüminyum döküm tekniğinin iyileştirilmesi, kapsülleme yapı parçalarına şekil verme işlemi esnasında hususî imalat ve tamamlayıcı metodların kullanılması gibi. Bu yüzden, lüzumlu işletme basıncında SF₆ ile bir defalık doldurmadan sonra uzun yıllar bakıma ihtiyaç duymayan tesislerin inşası mümkündür.

Bir kutuplu kapsüllenmiş izole edici gaz hacimleri ayırcı şalterlerin ve yük ayırcı şalterlerin disk şeklin-



Sekil:5.32 Tek fazlı kapsüllenmiş bir
GIS-Tesisinin SF_6 -Gaz kontrol şeması.

deki izalatörleriyle bolмелendirilirler. Bu suretle, meselâ güç şalterindeki çalışmalar esnasında, tertib edilen bara-ayırıcı şalterindeki izolasyon muhafaza edilebilmektedir.

Gaz hacimleri gaz yoğunluk ölçücü cihazlarla monte edilmiş birimlerle kontrol edilir. Küçük dolaplarında ışık diodlu elektronik soket kartları vardır. Bu diodlar ilgili kontrol biriminin cevabını optik olarak gösterirler. Kontrol birimleri iki değişik şalt fonksiyonuyla teçhiz edilirler. Meselâ izolasyon gazının azalması ve/veya basınç artışı esnasında alarm sistemleri mevcuttur. Ayrıca güç şalteri kesme hücresinde de bir yoğunluk kontrol cihazı vardır.

5.15. GIS-Tesislerinde Hususî Problemler:

Bir GIS-Tesisinin işletme emniyeti şüphesiz izole edici gazın kalitesiyle ve gerekli basıncın muhafaza edil-

mesiyle yakından ilişkilidir.Tesisin gaz dolumundan sonra kontrolü şu üç doğrultuda yapılır:

- a) Gaz neminin ölçümü; ilk haftalarda (dolumdan sonra) nemlilik miktarı relativ çok yüksektir.Bu nemlilik, metalik ve izole edici parçaların çeperlerinde artık ıslaklıktan ileri gelmektedir.Nemlilik daha sonra yıllarca sabit kalır.
- b) Hava bölümlerinin ölçümü; bu daha ziyade gazın ısı i-letim kabiliyetinin ölçülmesiyle yapılmaktadır.Hacmin %10 luk bir kısmına kadar az bir hava, delinme dayanımı üzerine hiçbir kritik tesir yapmaz.
- c) Asit miktarının belirlenmesi; bu, ark olaylarından sonra gaz ve akışkan şeklindeki ayrışma ürünlerinin miktarı için ölçüdür.Katı olarak biriken metal floridin elektrolit-leşmesinden kaçınmak için, gazın kuru olması büyük önem taşırlı.

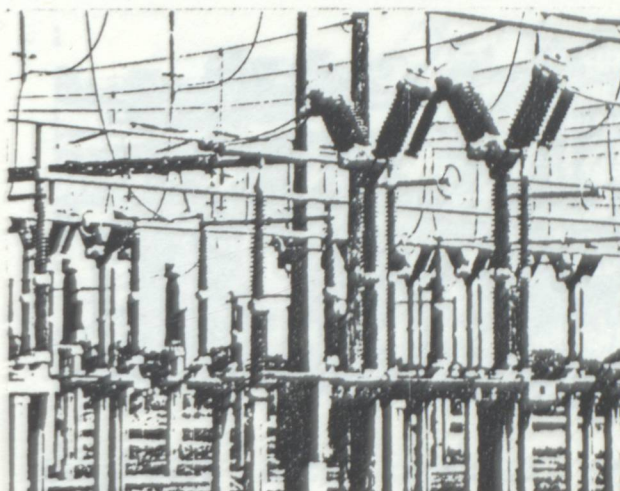
GIS-Tesislerinde pratikte umumiyetle ark arızaları ortaya çıkar.Bu arızalar SF₆ dolu hacimde kuvvetli basınç artışı sebebiyet verirler.Bunu önlemek için , bu tür arızalar modern,hızlı ve 100ms altında devreye girme zamanına sahip topraklayıcılarla kısa devre edilmelidir.Eğer bu tür bir korumada bir aksaklık veya bir gecikme olursa tesis iki bakımdan kritik bir noktaya gelir:
İlk önce tehlikeli boytlarda basınç artışı elde edilir ve ikinci olarak ark kapsüllemede kuvvetli lokal ısınmaya sebebiyet verir.Burada kapsülleme malzemesinin birleşme yerine dikkat edilmelidir.Hafif metalli kapsüllemeler, arzu edilen basınç deşarjına müsade ederler.Gelik saçılı kapsüllemelerde deşarj diyafraqları kullanmak zorunludur.

Çoğu kere belirli yerlerde uygun olarak daha zayıf boyutlandırılmış bölmeye izalatörleri kullanılır.Bunlar aşırı basınçta kırılırlar ve aşırı basıncı daha kolay karşılayabilecek daha büyük bir gaz hacmini oluştururlar.

6. Konvansiyonel ve GIS Tesislerinin İzolasyon Kıyaslamaları:

6.1. Konvansiyonel Tesislerin Izolasyonu:

- a) Bu tesislerin izolasyonu, izole edici maddelerin üç ana grubundan müteşekkildir.



Sekil:6.1 245 kV'luk konvansiyonel bir açık hava şalt tesisi.

a) En önemli izolasyon malzemesi atmosferdir. Tesislerin dış izolasyonunu teşkil eder.

b) Katı izole maddeler, gerilimli parçalar arasındaki mesafeyi açarlar ve aparatlara mekanik dayanım verirler veya iç izolasyonun kuvvetlendirilmesini sağlarlar.

c) Gaz şeklinde, akışkan veya nadir durumlarda katı izole maddeler dahi iç izolasyonu teşkil ederler.

Konvansiyonel tesislerin tipik bir özelliği, işletme içinde bulunan aletlere veya tesis parçalarına dokunulamamasıdır.

6.2. GIS Tesislerinin Izolasyonu:

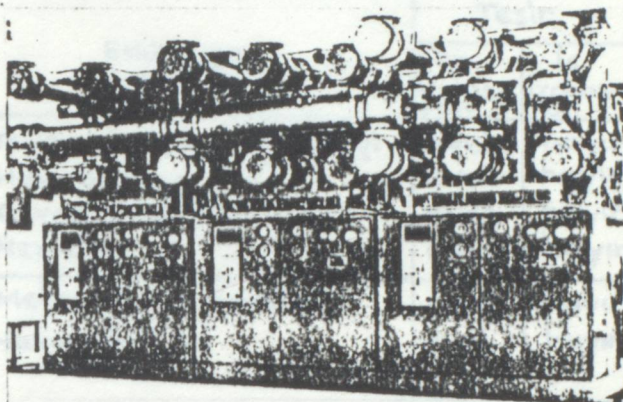
Bu tesislerde de, izole edici maddelerin üç karakteristik grubu vardır:

a) En önemli izole edici malzeme basınçlı SF_6 gazıdır. İç izolasyonun ana kısmını teşkil eder.

b) Katı isolasyon bakımından; relativ az bir kısım, gaz hacimlerinin ayrılmasına ve gerilimli parçaların mesafelen-

dirilmesine yarar.

c) Hava dış izolasyonu teşkil eder. O, ancak sadece SF₆-
Hava geçişlerinde rol oynar.



Sekil:6.2 Metal kapsüllü, SF₆ izoleli
123-245 kV'luk bir şalt tesisi.

Bu tür tesislerin boyutlandırılması SF₆-Gaz izolasyonun izole edici kabiliyetine bağlıdır. Bütün tesisin gerilimli parçaları topraklanmış gövdede inşa edildiği için tesis parçalarına dokunulabilir (SF₆-Hava geçişleri hariç).

6.3. Her İki Izolasyon Sisteminin Kıyaslaması:

Konvansiyonel ve SF₆ izoleli yüksek gerilim tesislerinin izolasyonu arasındaki esas fark; iç izolasyonun, dış izolasyona etkisi nisbetinde bulunmaktadır. Konvansiyonel tesislerde dış izolasyon kesin bir rol oynamamasına karşılık, GIS tesisleri pratikte **sadece** iç izolasyona sahiptir.

6.3.1. İç ve Dış Izolasyon Arasında Kıyaslama:

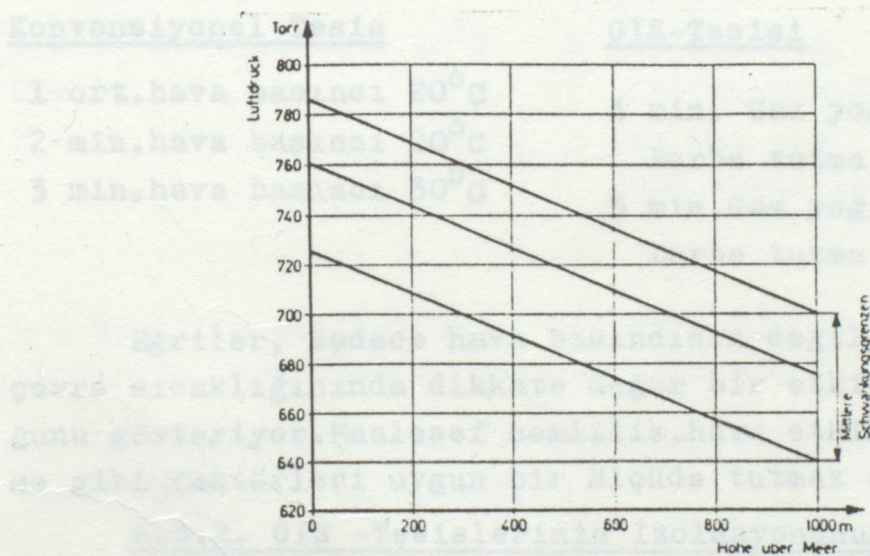
İç ve dış izolasyondaki esas farkı Şekil:6.3 göstermektedir. Dış izolasyonun çevre faktörleriyle etkilendiği, buna karşılık iç izolasyonun çevre ile hiçbir tesir altında kalmadığı görülmektedir. Dış izolasyonun tesbiti için, denemeler sırasında çevre şartlarının çok iyi taklit edilmesi gerekmektedir. İç izolasyonun dielektrik dayanımı herşeyden önce izole edici malzemeye ve elektrodların biçimine bağlıdır. Örneğin 245 kV'luk bir izolasyonla; montaj yerinin

deniz seviyesinden yüksekliğinin, hava basıncının ve çevre sıcaklığının dış izolasyon seviyesine nasıl tesir ettiğini gösterelim.

Etkilenme Faktörü	Tesir	
	Dış izolasyon	İç izolasyon
Tesisin denizden yüksekliği	evet	hayır
Hava basıncı	evet	hayır
Gevre sıcaklığı	evet	hayır
Nemlilik	evet	hayır
Meteorolojik şartlar	evet	hayır
Hava kirliliği	evet	hayır

Sekil:6.3 İç ve Dış izolasyonun etkilenmesi.

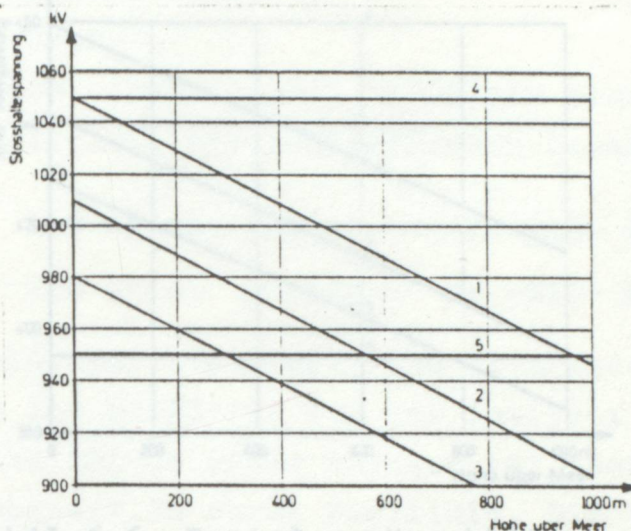
İlk önce Sekil:6.4'de denizden yüksekliğin fonksiyonu olarak hava basıncının ortalama farklılık sınırları 20°C 'de ifade edilmiştir.



Sekil:6.4 Deniz seviyesinden itibaren hava basıncının farklılık sınırları.

Sekil:6.5'de darbe tutma gerilimi için gerekli durum gösterilmiştir. Eğriler ; m^3 başına 11gr. su ihtivali normal hava nemliliğindeki bir atmosferde kuru, temiz bir izo-

lasyonu karakterize etmektedir.



Sekil:6.5 Denizden yüksekliğin ve çevre sıcaklığının fonksiyonu olarak; konvansiyonel ve SF₆ izoleli yüksek gerilim salt tesislerinin darbe tutma geriliminin kıyaslanması.

Konvansiyonel Tesis

- 1 ort.hava basıncı 20°C
- 2 min.hava basıncı 20°C
- 3 min.hava basıncı 30°C

GIS-Tesiisi

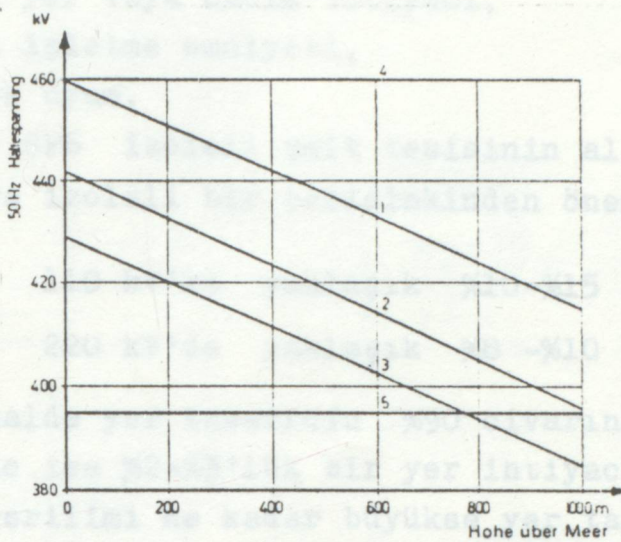
- 4 min. Gaz yoğunluğu 40°C
Darbe tutma gerilimi 1050 kV
- 5 min.Gaz yoğunluğu 40°C
Darbe tutma gerilimi 950 kV

Eğriler, sadece hava basıncının değil, aynı zamanda çevre sıcaklığınınında dikkate değer bir etkiye sahip olduğunu gösteriyor. Maalesef nemlilik, hava etkileri ve kirlenme gibi faktörleri uygun bir ölçüde tutmak çok zordur.

6.3.2. GIS -Tesislerinin İzolasyonunun Hususi Özellikleri:

Şu şekilde özetlenebilir:

- GIS-Tesislerinin boyutlandırılmasında mümkün mertebe iç kirlenmede gözönünde bulundurulmak zorundadır,
- SF₆ izolasyonunun elverişli eskime davranışısı,



Sekil:6.6 Denizden yüksekliğin ve çevre sıcaklığının fonksiyonu olarak; konvansiyonel ve SF₆ izoleli yüksek gerilim tesislerinin 50Hz-Tutma geriliminin kıyaslanması.

Konvansiyonel Tesis	GIS Tesisi
1 ort. hava basıncı 20°C	4 min.Gaz yoğ. 40°C
2 min. hava basıncı 20°C	50Hz Tutma gerilimi 460 kV
3 min. hava basıncı 30°C	5 min.Gaz yoğ. 40°C
	50Hz Tutma gerilimi 395 kV

- Nemlilik miktarı uygun tedbirlerle; dielektrik olarak hiçbir rol oynamayacak şekilde cüzfü tutulabilmektedir,
- Gaz kontrol sistemiyle minimum izolasyon seviyesi devamlı kontrol edilmektedir,
- Üç fazlı kapsüllenmiş baralar şalt aşırı gerilimleri ile ilgili olarak bir fazlı kapsüllemeden daha yüksek izole edilmiş olmak zorundadır.

7. SF₆-Tekniğinin Faydaları:

SF₆ Tesis teknığının başlıca faydaları üç başlık altında özetlenebilir: İzolasyon ve SF₆ Isolasyon,

- a) Çok az yer veya hacim ihtiyacı,
- b) Yüksek işletme emniyeti,
- c) Çevreye uyum.

Bir SF₆ izoleli şalt tesisinin alan ve hacim ihtiyacı, hava izoleli bir tesisinkinden önemli ölçüde azdır.

110 kV'da yaklaşık %10-%15 kadar

220 kV'da yaklaşık %8 -%10 kadar

Ohalde yer tasarrufu %90 civarındadır. 750 kV'luk tesislerde ise %2-%3'lük bir yer ihtiyacı hesaplanmıştır. İşletme gerilimi ne kadar büyükse yer tasarrufuda o kadar büyük olmaktadır. Bu durum özellikle, bir tesisin büyütülemeyecek mevcut bir bina içinde genişletilmesi gerektiğinde veya 20kV'luk bir tesisin 110 kV'a dönüştürülmesi lüzmunda oldukça avnajlıdır.

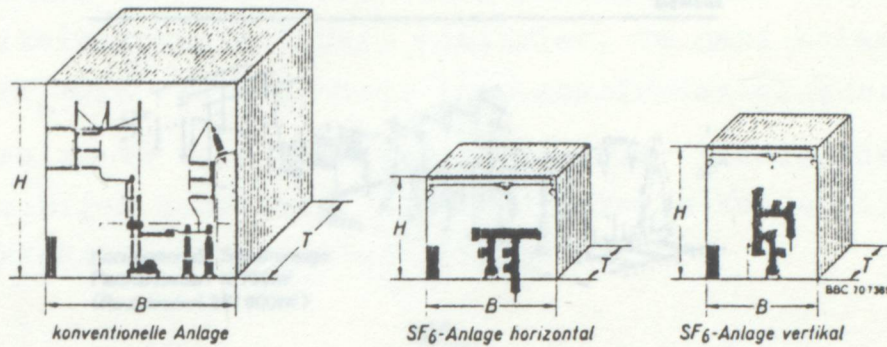
İşletme emniyeti açısından GIS Tesislerinin faydaları şu şekilde özetlenebilir:

- a) Kapsüllenmiş bir tesis kirlenmenin ve nemlenmenin her çeşidine karşı tam anlamıyla hassas değildir.
- b) Hava basıncı, şimşek darbeleri, buzlanma gibi dış atmosferik şartlardan etkilenmez.
- c) Kapsüllenmiş tesis; insan, hayvan veya yabancı cisimlerin yol açtığı dokunma tehlikesine karşı mutlak emniyetlidir.
- d) GIS tesisinin bakımı, mütat revizyon sayısı konvansiyonel tesislerden çok daha azdır.
- e) Bu özelliklerden dolayı, GIS tesislerindeki arızalar çok zor meydana gelir, ki bu suretle işletme emniyeti ve devamlılığı esas surette yüksek bir seviyeye çıkartılmış olur.

7.1. Hibrid Şalt Tesisleri:

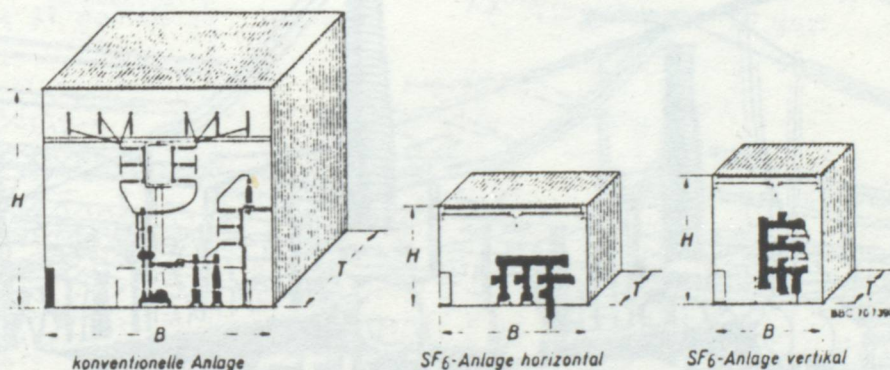
Bu tip şalt tesisleri, konvansiyonel bir şalt tesisinin parçalarından ve kapsüllenmiş SF₆ tesislerinin komponentlerinden müteşekkil kombinasyonlardan oluşmuştur.

Farklı davranışa sahip iki izolasyon malzemesine sahiptirler (Hava izolasyon ve SF₆ izolasyon).



Anlagen mit Einfach-Sammelschienen
(Werte je Abzweig)

Bauart	B m	T m	H m	Grundfläche m ²	%	Rauminhalt m ³	%
Konventionell	9,0	5,1	9,2	45,9	100	422	100
SF ₆ . horizontal	6,0	2,2	4,8	13,2	29	63,4	15
SF ₆ . vertikal	5,0	2,2	6,1	11,0	24	67,1	16

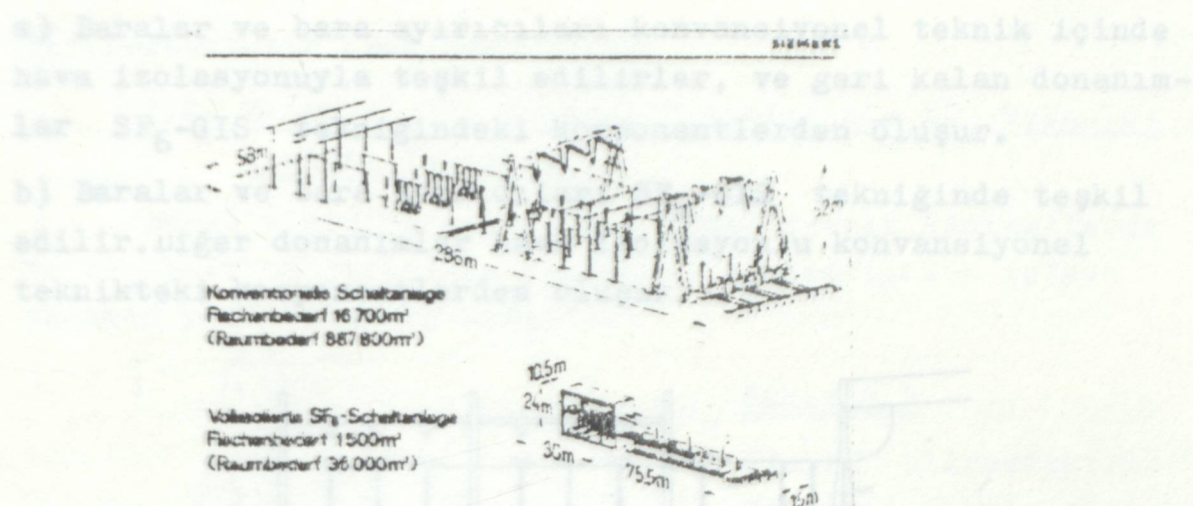


Anlagen mit Doppel-Sammelschienen
(Werte je Abzweig)

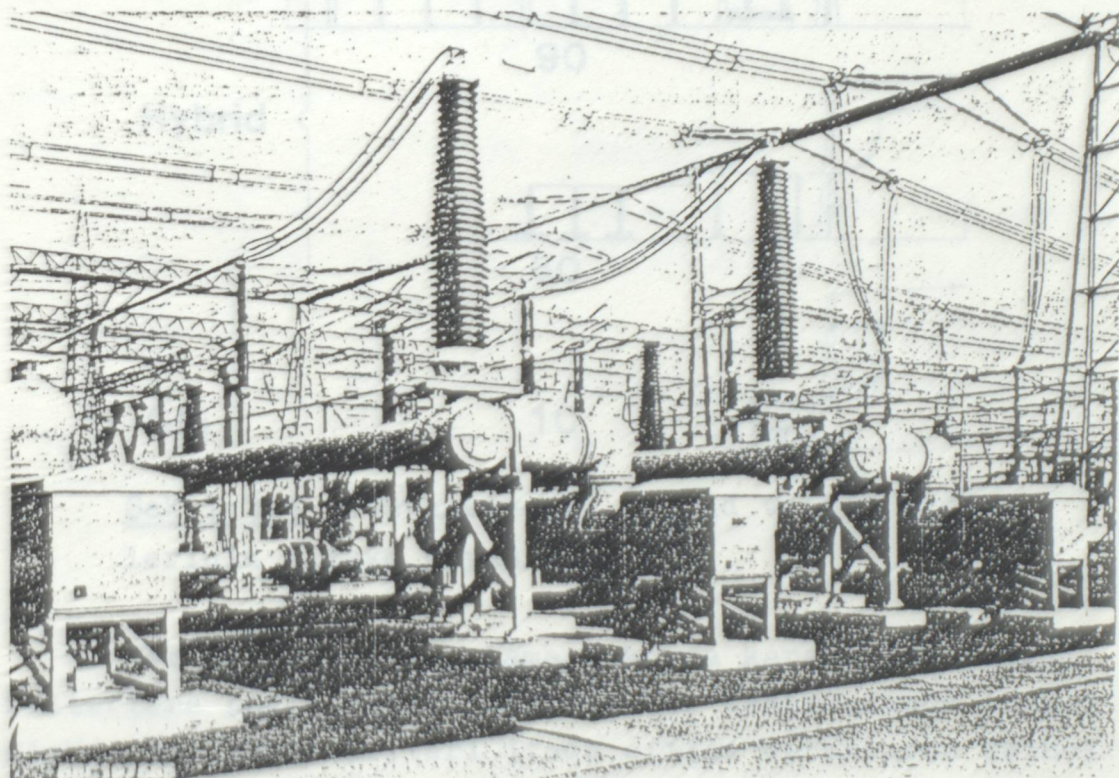
Bauart	B m	T m	H m	Grundfläche m ²	%	Rauminhalt m ³	%
Konventionell	11,0	5,1	10,5	56,1	100	589	100
SF ₆ . horizontal	7,0	2,2	4,8	15,4	27	74	12,5
SF ₆ . vertikal	5,2	2,2	6,2	11,5	20	71	12

SEKİL:7.1

Açık ve kapsüllenmiş teşkil içinde 110 kV'luk tesisler arasındaki ana saha ve hacim kıyaslaması.



Sekil:7.2 Tek baralı 1300 kV'luk şalt tesisi; Transformatör beslemesi 3 GVA (USA).

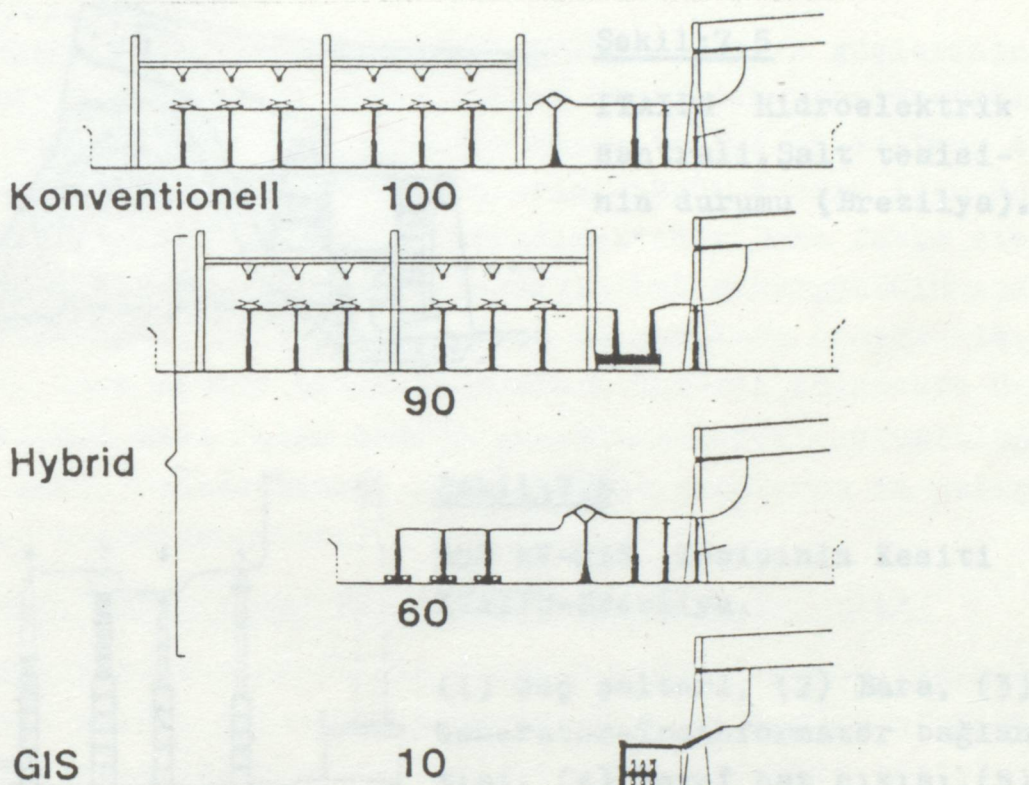


Sekil:7.3 Hava izoleli ve SF₆ izoleli baralar arasındaki kapsüllenmiş kupaş sahası (420 kV'luk Hibrid tesisi).

Hibrid şalt tesisleri; iki ana dizaynda sınıflandırılabilirler:

değişikliklere uygun olmayan teknik tesislerde de kullanılabilecekler;

- a) Baralar ve bara ayırcıları konvansiyonel teknik içinde hava izolasyonuyla teşkil edilirler, ve geri kalan donanımlar SF₆-GIS tekniquiddeki komponentlerden oluşur.
- b) Baralar ve bara ayırcıları SF₆-GIS tekniquidde teşkil edilir. Diğer donanımlar hava izolasyonlu konvansiyonel tekniquiddeki komponentlerden oluşur.



Sekil:7.4 Konvansiyonel, Hibrid ve GIS tesislerinin dizayn kıyaslaması.

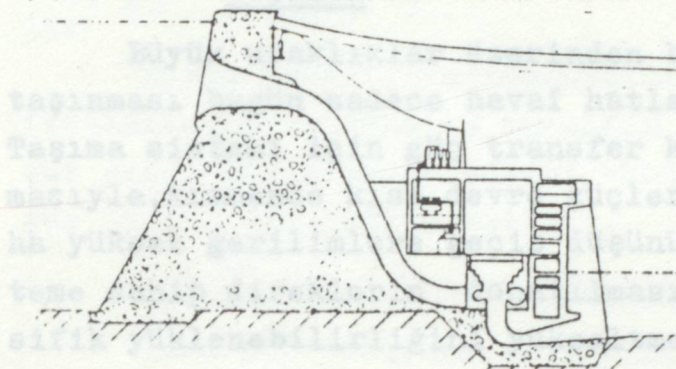
Her iki tarzı uygulamaya koyma kararı, çok farklı kriterlere bağlı olabilmektedir. Yer tasarrufunun önemli ölçüde bir seçim kriteri ifade ettiği durumlarda ikinci duruma göre dizayn tercih edilmektedir.

Hava izolasyonlu mevcut şalt tesislerinin, ilave yer olmaksızın pratik olarak genişletilmesi, sadece SF₆-GIS tekniquiddeki komponentlerin yardımıyla mümkündür. Örneğin; İsviçre'nin Lauferenburg bölgesindeki 420 kV'luk bir şalt tesisinde, mevcut çift baralı sistemin üçüncü bir baraya genişletilmesi SF₆ izoleli baralar sayesinde gerçekleş-

tirilebilmistiştir (Bak.Şekil:7.3).

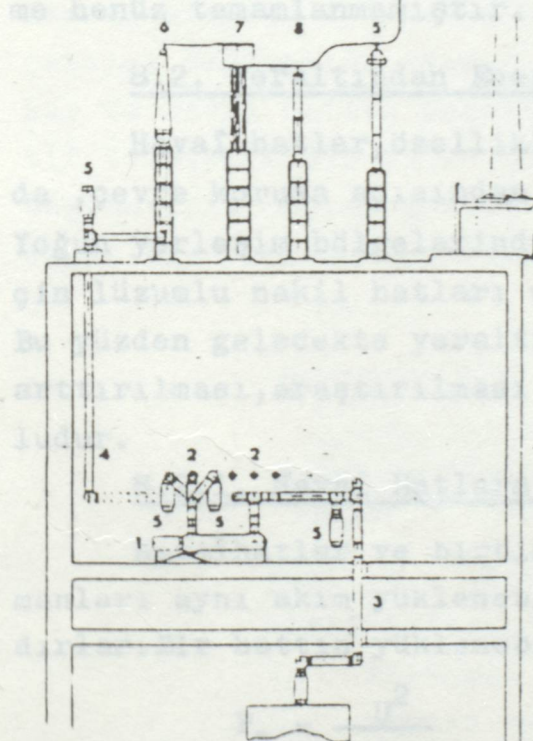
7.2. Elektrik Güç Santral Tesislerinde SF₆-Teknolojisinin Kullanımı:

Büyük hidrolik santraller gibi, termik santrallerde de SF₆-Şalt tesislerinin kullanımı toplam taslaç içinde tamamen yeni imkanlar açmıştır.



Sekil:7.5

ITAIPU Hidroelektrik santrali. Şalt tesisi-nin durumu (Brezilya).



Sekil:7.6

550 kV-GIS Tesisinin Kesiti
ITAIPU-Brezilya.

(1) Güç şalteri, (2) Bara, (3) Generatör-Transformatör bağlan-tısı, (4) Havañ hat çıkışı,(5) Parafudr, (6) SF₆ -Hava geçisi (7) Yüksek frekans süzücü,(8) Gerilim Trafosu.

Şalt tesisinin enerji kaynağına (Generatör-Transformatör grubu) direkt monte edilmesi mümkündür. Ve böylece Generatör-Transfor-matör-Şalt Tesisinden oluşan elektromekanik zincirin optimal

dizaynı hem yer tasarrufu hemde fonksiyon ve işletme bakı-mından yerine getirilmektedir. İlave olarak bütün koruma, kumanda ve kontrol birimleri hemen hemen ideal olarak, en

kısa bağlantı iletkenleriyle, görülebilir şekilde tertib edilir. Bu da önemli ölçüde santral işletmesinin emniyetini yükseltir.

8. İzole Edilmiş Boru Gaz Kablolarıyla Enerji İletimi:

8.1. Havaf Hatlar Vasıtasyyla Konvansiyonel Enerji Taşıma:

Büyük uzaklıklar üzerinden büyük elektrik güçlerinin taşınması bugün sadece havaf hatlar üzerinden yapılmaktadır. Taşıma sistemi için güç transfer kapasitesini yükseltmek amacıyla, kısmende kısa devre güçlerini küçük tutmak için daha yüksek gerilimlere geçiş düşünülmektedir. Daha fazla sisteme sahip direklerin donatılmasıyla hat güzergahının spesifik yüklenebilirliğini yükseltme çalışmaları denenmektedir. Daha önce mevcut hat güzergahları üstünde gelecekte önemli ölçüde daha fazla enerji nakledilebilmesi zorunluluğu olduğu için, konvansiyonel havaf hatlar sahasında da gelişme henüz tamamlanmamıştır.

8.2. Yeraltından Enerji Taşımaya Olan Talepler:

Havaf hatlar, özellikle tüketim merkezlerinin yakınında, çevre koruma açısından uygunsuz bir durum oluştururlar. Yoğun yerleşim bölgelerinde, ilave havaf hatların tesisi için lüzumlu nakil hatları umumiyetle mevcut olamamaktadır. Bu yüzden gelecekte yeraltından yüksek taşıma imkanlarının artırılması, araştırılması ve devamlı geliştirilmesi zorundadır.

8.2.1. Havaf Hatlara Bağlı Yeraltı Taşıma Kabloları:

Havaf hatlar ve birbirine bağlı bu yeraltı taşıma elemanları aynı akım yüklenebilirliğine sahip olmak zorundadırlar. Bir hattın yüklenebilirliği burada ilgili

$$P_n = \frac{U^2}{Z}$$

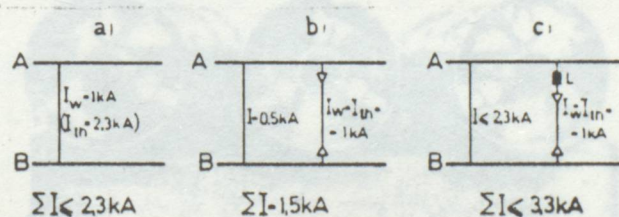
bağıntısınca açık olarak tanımlanmadığı için, bu şart o kadar basitçe yerine getirilemez.

İletken kesitleri; talep edilen taşıma gücü, "ekonomik olarak taşınabilir güce" eşit olacak şekilde tespit edilir. Buradan ortaya çıkan ekonomik akım yoğunluğu, Al-Çelik hatlar için yıllık faydalananma süresine göre yaklaşık $0,7 \text{ A/mm}^2 - 1 \text{ A/mm}^2$ arasında bulunmaktadır. Termik bakımdan sınır yüklenebilirlik (iletken kesitine ve çevre sıcaklığına göre) yaklaşık $1,5 \text{ A/mm}^2 - 2,5 \text{ A/mm}^2$ arasındadır.

Bütün yeraltı taşıma kablolarında daha yüksek yatırım fiyatlarından ve daha az spesifik yüklenmeye bağlı daha düşük aktif kayıplardan dolayı ekonomik olarak taşınabilecek güç termik sınır güce eşittir.

8.2.2. Havaf Hatlara Paralel Yeraltı Taşıma Kabloları:

Daha çok kompleks şebekelerde ortaya çıkan bir durumdur. Aynı tarzda taşıma elemanı sözkonusu olduğu zaman paralel akım yolları üzerindeki akım dağılışı bir problem teşkil etmez. Havaf hatlar, sözkonusu yeraltı taşıma elemanın dan en azından iki kat yüksek reaktansa sahip olduğu için, paralel bağlantılarda akımın en büyük kısmı kablo üzerinden akar ve havaf hattının önemli ölçüde yükü hafifler. Eğer relativ teabirler ile kablo reaktansı büyültülmese, bu paralel bağlantıyla taşıma gücüde azalabilir. Şekil:8.1'de bu durum basit bir örnekle açıklanmıştır.



Şekil:8.1 Konvansiyonel bir kabloyla bir havaf hattının paralel bağlantısı.

I_w ekonomik taşınabilir akım

I_{th} termik sürekli akım

X_L = Havaf hat..... $0,3 \Omega/\text{km}$.

Kablo..... $0,15 \Omega/\text{km}$.

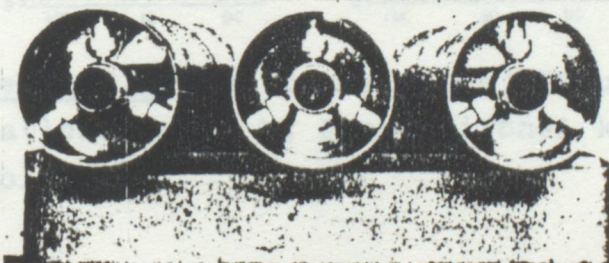
- a) 420 kv havaf hatla A ve B istasyonlarının esas bağlantısı.
- b) Bu bağlantı, ilave ve yüksek yüklenebilir bir kablo ile (1 kA) kuvvetlendirilmiştir. Buna rağmen bu taşimanın toplam yüklenebilirliği %35 civarında azalmıştır.
- c) Bir endüktif reaktansın seri bağlanmasıyla maksimum taşıma gücü yükseltilebilir.

8.2.3. Yeraltı Taşıma Elemanına Umumi Güç Talepleri:

Örneğin 10 GVA'lık büyük bir kuvvet tesisi düşünülürse, o zaman bu tesis tabiiki bir tüketici merkeziyle tek bir sistem üzerinden bağlanmaz. Ancak 5 GVA 'lık iki bağlantı sisteminde dahi; sistemlerden herbirisi aşırı yüklenemek zorundadır. O halde ikili sistemde %100, üçlü sistemde %50 ve dörtlü sistemde %33'lük bir aşırı yüklenebilirlik düşünülmeli gerekmektedir.

8.3. Yüksek Güçlerin Taşınması İçin Boru Gaz Kablosu:

Kapsüllenmiş şalt tesislerinde izole edici madde olarak SF₆ının kullanımı ile edinilen tecrübeler, boru gaz kabolarının geliştirilmesi için temel teşkil etmiştir. İlk boru gaz kablosu ile kısa taşıma hattı (yaklaşık 200m'lik) 1971'de New York'da işletmeye girmiştir.



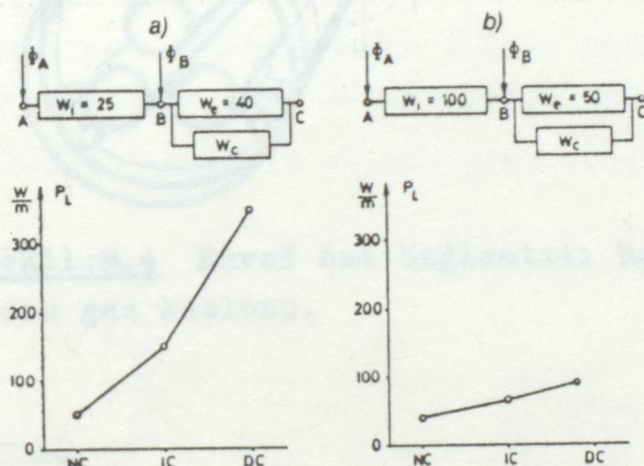
Sekil:8.2 Üç mesnetli, bir fazlı üç boru gaz kablosunun kesiti.

Boru gaz kablosu, gaz şeklindeki izole edici maddenin yapısından ($\epsilon = 1$) ve iletken ile kapsül arasındaki nisbeten büyük aralıktan dolayı konvansiyonel kablodan daha küçük bir kapasiteye sahip olduğu için, reaktif güç karakteristiği

havaî hatlارinkine benzer, bunun yanında tabîf gücü yaklaşık üç-dört misli daha yüksektir.

Boru gaz kablosunun yapılışı çok basittir ve destekleyici gövde ile kapsül içinde ortalanmış boru şeklinde bir Alüminyum iletkeninden oluşmuştur (Şekil:8.2).

İletken ve kapsül arasında elektriği izolasyon olarak SF_6 -Gazı yaklaşık 3-4 bar'lık bir basınçla kullanılmıştır. Bu konstrüksiyonda çok büyük iletken kesitlerine ihtiyaç vardır. Örneğin 420 kV'da $3000-8000 \text{ mm}^2$ arasında bulunmaktadır. Konvensionel kabloda büyük joule ısısı sadece sert madde izolasyonu üzerinden sevk edilir; boru gaz kablosunda ısı transferi ışıma ve konveksiyon ile yapılmaktadır. Bu yüzden sıcaklık transferi konvansiyonel kablodakinden 4-6 kat daha büyütür.



Şekil:8.3 Isı Transferi a) Boru gaz kablolarında, b) Konvansiyonel kablarda.

Φ_A , Φ_B A iletkeninde veya B kapsülündeki aktif kayıplar.

W_i Dahili ısisal direnç (İzolasyon)

W_e Dış ısisal direnç (Toprak)

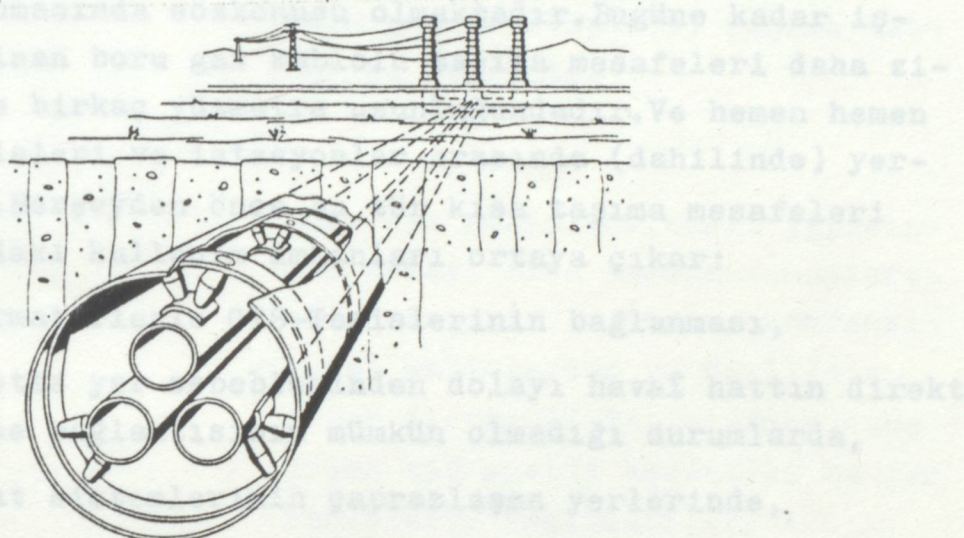
W_c Kapsülleme ve soğutma sistemi arasında ısisal direnç

Tabîf soğutma ($W_c = \infty$)

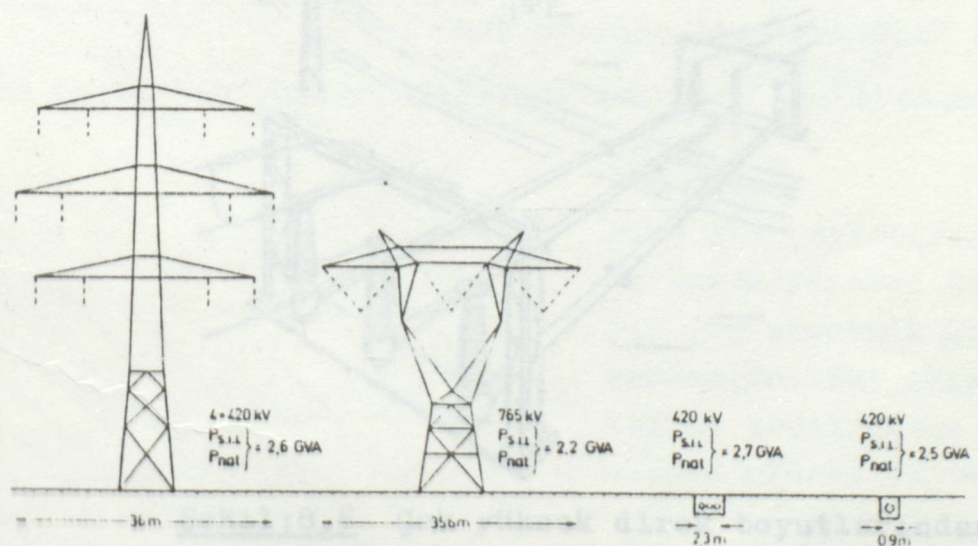
İndirek soğutma ($\infty > W_c > 0$)

Direkt soğutma ($W_c = 0$)

Konvansiyonel kablolarla kıyasla, boru gaz kablolarının daha yüksek yüklenebilirliği; tabii soğutma yanında, onemli ölçüde daha büyük iletken kesiti ile ve ayrıca uygun küçüklükte aktif dirençle karakterize edilir. Bir fazlı boru gaz kablolarına ilave olarak üç fazlı dizaynlarda geliştirebilir, ki böyle teşkillerde üç iletken boru müşterek bir dış kapsül içinde yerleştirilmiştir (Şekil:8.4).



Şekil:8.4 Havaî hat bağlantılı üç fazlı boru gaz kablosu.



Şekil:8.5 Yaklaşık aynı tabii gücü sahip havaî hat ve boru gaz kabloları için lüzumlu hat genişlikleri.

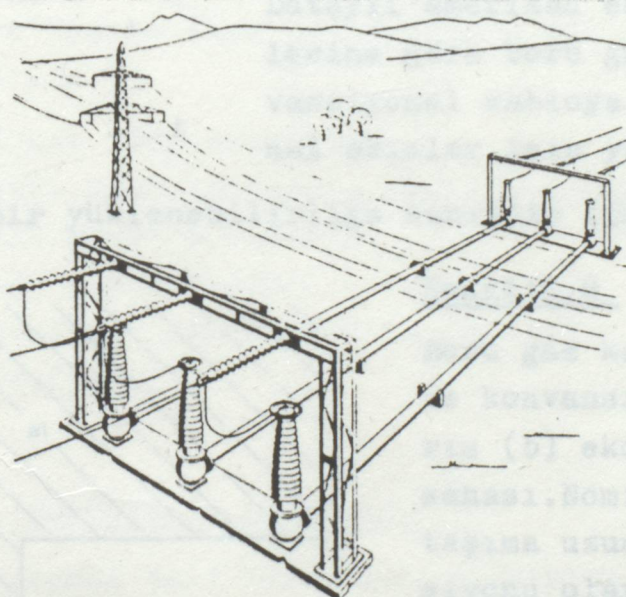
Bu tertible daha az yer ihtiyacı ortaya çıkar. Böylelikle lüzumlu olan hat genişliği uygun biçimde azaltılmış olmaktadır (Şekil:8.5).

Boru gaz kablolarının kullanımını herseyden önce daha büyük taşıma gerilimleri için uygun olmaktadır.

8.3.1. Boru Gaz Kablolarının Kullanım İmkanları:

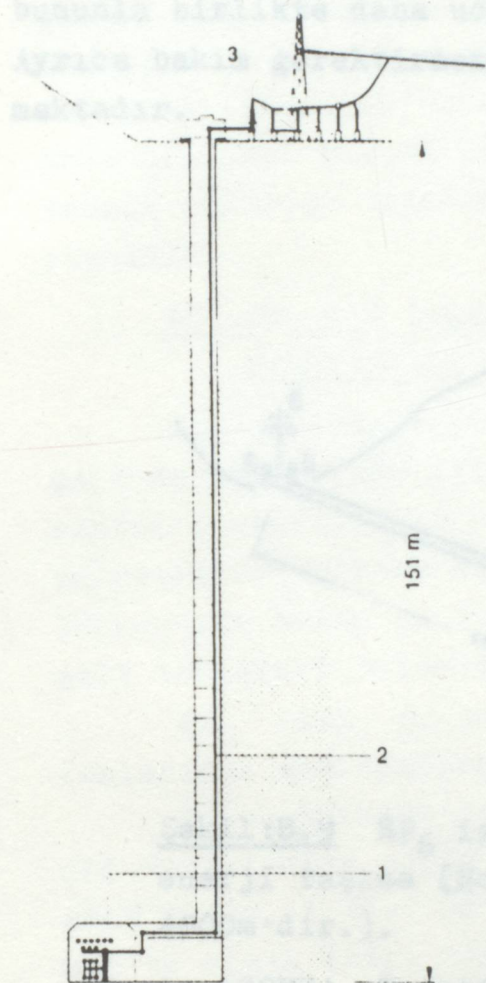
Boru gaz kablosu, çok yüksek gerilimlerde büyük güçlerin taşınmasında sözkonusu olmaktadır. Bugüne kadar işletmeye alınan boru gaz kablolu taşıma mesafeleri daha ziyade sadece birkaç yüzmetre uzunluğundadır. Ve hemen hemen kuvvet tesisleri ve istasyonlar arasında (dahilinde) yerleştirilir. Herseyden önce bu tür kısa taşıma mesafeleri için aşağıdaki kullanım imkanları ortaya çıkar:

- a) Transformatörlerle GIS-Tesislerinin bağlanması,
- b) Ekseriyetle yer sebeblerinden dolayı havaf hattın direkt GIS Tesisine bağlantısının mümkün olmadığı durumlarda,
- c) Havaf hat sistemlerinin çaprazlaşma yerlerinde,



Sekil:8.6 Çok yüksek direk boyutlarından kaçınmak için, bir sistem boru gaz kablosu olarak teşkil edilmektedir. Şekilde iki havaf hattan oluşan çaprazlaşma yeri görülmektedir.

d) Yeraltı kuvvet tesislerinden enerji alınması amacıyla.



Şekil:8.7

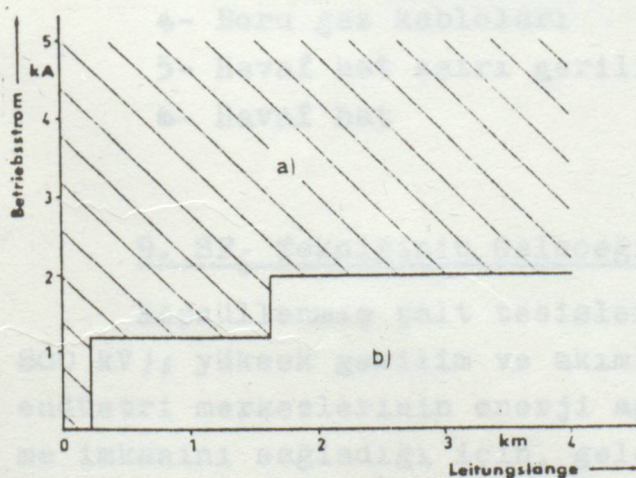
Taşıma hattına bağlantı için dikey boru gaz kablolulu 420 kV'luk yeraltıda bir GIS-Tesişi.

(1) Şalt tesisli hücre,(2) Dikey boru gaz kablosu, (3) Taşıma hattarına bağlantı.

Boru gaz kabloları, basit yapısından dolayı kısa onarım zamanlarını gerektirir. Bu yüzden, konvansiyonel kablolardan ve özellikle süper iletkenli kablolardan daha düşük bir enerji kesintisi bu tür kablolara sağlanabilir.

Düzenli amerikan ekonomik analizlerine göre boru gaz kablosu konvansiyonel kabloya nisbetle nominal akımlar için yaklaşık 1 kA

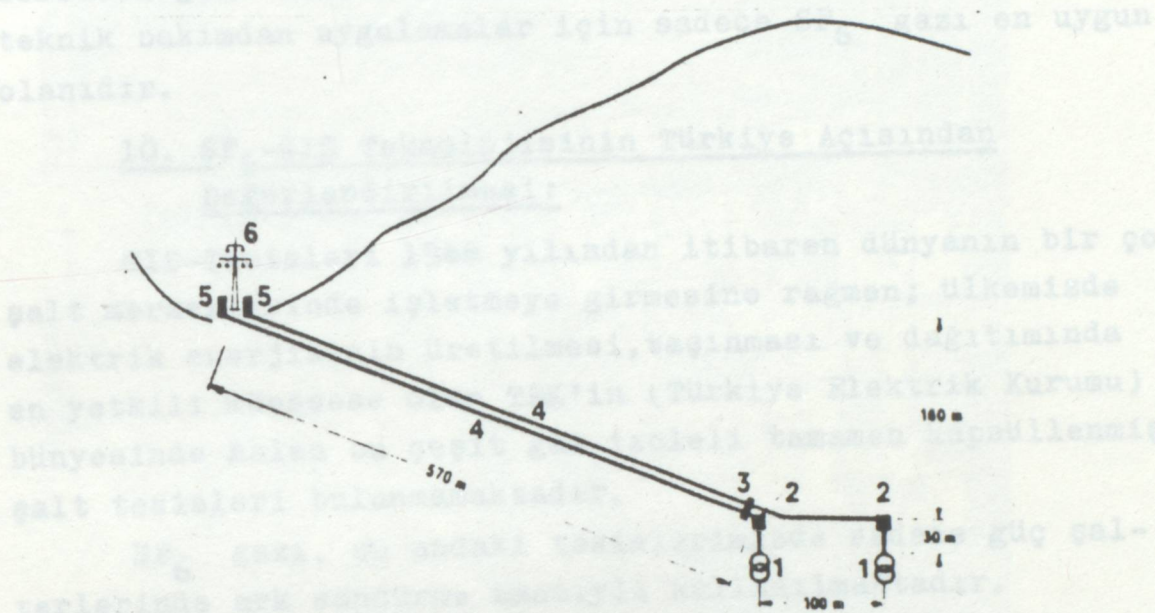
daha büyük bir yüklenebilirliğe sahiptir (Şekil:8.8).



Şekil:8.8

Boru gaz kablolalarının (a) ve konvansiyonel kablolaların (b) ekonomik kullanım sahası. Nominal akımın ve taşıma uzunluğunun fonksiyonu olarak ($U_n > 200$ kV).

Çok kısa taşıma mesafeleri için boru gaz kablosu; toplam akım sahasında SF_6 -tekniği sayesinde daha basit ve bununla birlikte daha ucuz uygulama imkanları vermektedir. Ayrıca bakım gerektirmemesi, sistem güvenirliliğini artırmaktadır.



Şekil:8.9 SF_6 izoleli boru iletkenlerle 420 kV'luk enerji taşıma (Her iki sistemin bir fazlı uzunluğu 4000m'dir.).

- 1- 600MVA Transformatör
- 2- Metal kapsüllü aşırı gerilim parafudur
- 3- Salt manevra donanımı
- 4- Boru gaz kabloları
- 5- Havaî hat aşırı gerilim parafudur
- 6- Havaî hat

9. SF_6 Tekniğinin Geleceği:

Kapsüllenmiş salt tesisleri ve taşıma hatları (72,5 kV-800 kV); yüksek gerilim ve akımların, büyük şehirlerin ve endüstri merkezlerinin enerji **ağırlık** noktalarına sokulabilme imkanını sağladığı için, gelecekte talep edilebilecek Ultra yüksek gerilimli uygulamalar içinde tek çözüm yolu olarak görülmektedir.

Ayrıca izolasyon gazı için araştırmalar yoğun bir şekilde devam etmektedir. Bu çeşit SF₆ gibi elektronegatif gazlar için araştırma kriteri elektriksel dayanımından başka basınç ve sıcaklığa bağlı olarak yoğunlaşma davranışları, kimyasal stabilitesi, kolay elde edilebilmesi, fiyatı, zehirlilik derecesi gibi birçok etkenlere bağlı olduğu için şu andaki teknik bakımdan uygulamalar için sadece SF₆ gazı en uygun olanıdır.

10. SF₆-GIS Teknolojisinin Türkiye Açısından Değerlendirilmesi:

GIS-Tesisleri 1966 yılından itibaren dünyanın bir çok şalt merkezlerinde işletmeye girmesine rağmen; ülkemizde elektrik enerjisinin üretilmesi, taşınması ve dağıtımında en yetkili müesseseye olan TEK'in (Türkiye Elektrik Kurumu) bünyesinde halen bu çeşit gaz izoleli tamamen kapsüllenmiş şalt tesisleri bulunmamaktadır.

SF₆ gazı, şu andaki tesislerimizde sadece güç şalterlerinde ark söndürme amacıyla kullanılmaktadır.

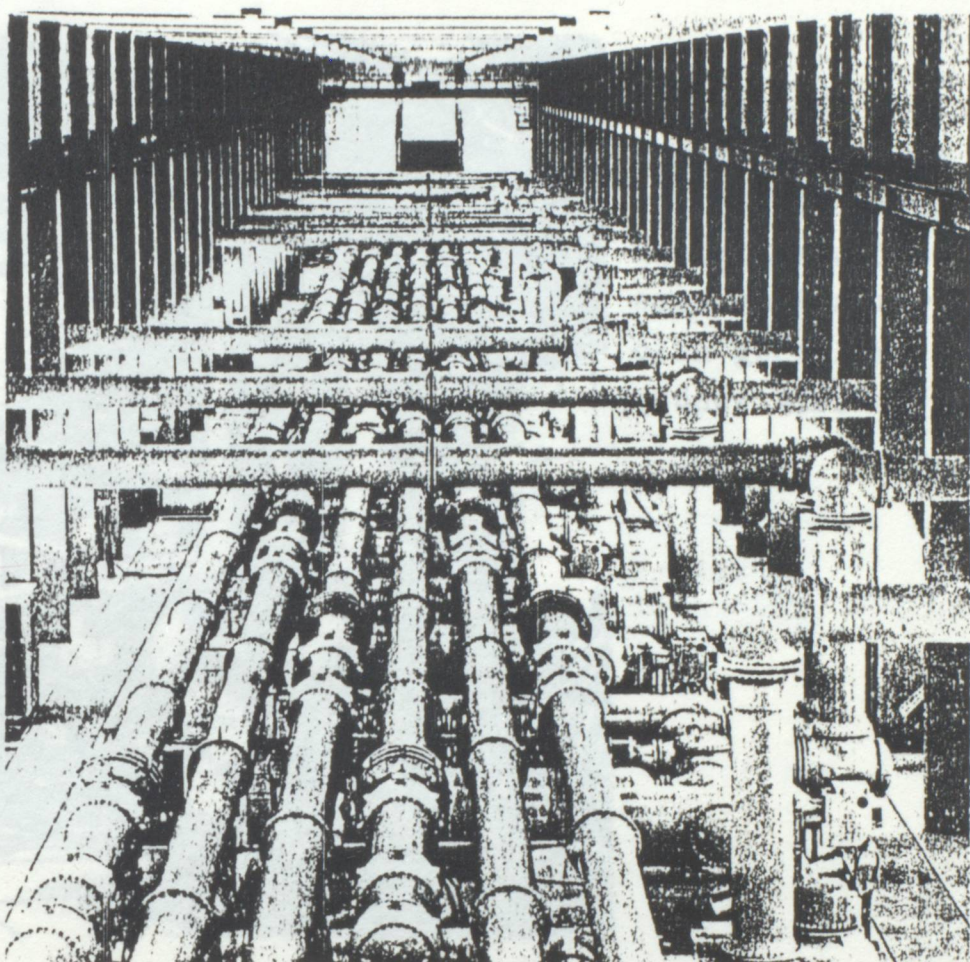
Ancak Türkiye'de de şu sıralarda çeşitli yerlerde GIS-Tesislerine geçiş çalışmalarına başlanmıştır. Halen 5 adet İzmir, 2 adet İstanbul, 1 adet Ankara ve 1 adet de izmit'te olmak üzere toplam 9 adet 154 KV'luk gaz izoleli Trafo Merkezlerinin inşaatı devam etmektedir.

11. Dünyada Halen İşletme İçinde Bulunan Mevcut GIS-Tesislerinden Örnekler:

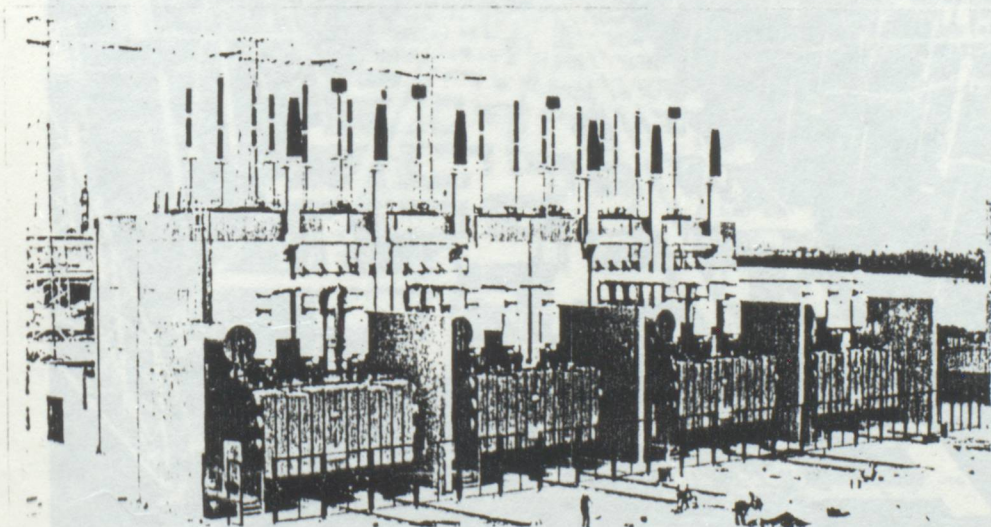
DÜNYADA HALEN İŞLETME İÇİNDE BULUNAN MEVCUT
GIS TESİSLERİNDEN ÖRNEKLER

SEKİZLİZ. NİGERİYA'DA İLK 300 KV'LUK
GIS TESİSLERİNIN TRANSMİTÖR VE HAT
BAĞLANTILARI

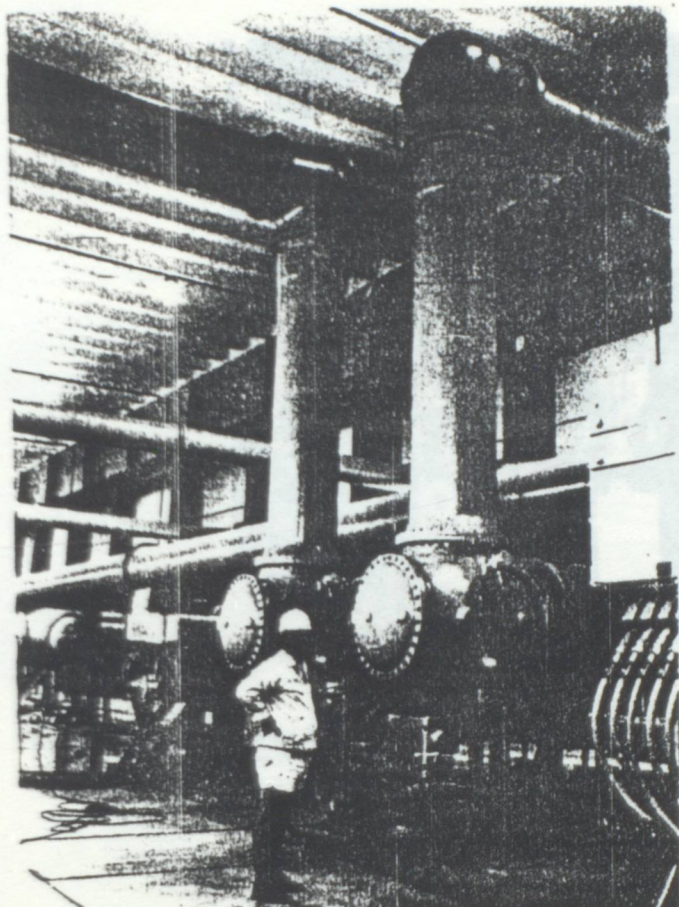
(Nijerya/ ABB)



Şekil:ll.1 800 kV'luk ALPHA GIS Tesisi
(Güney Afrika/ ABB)

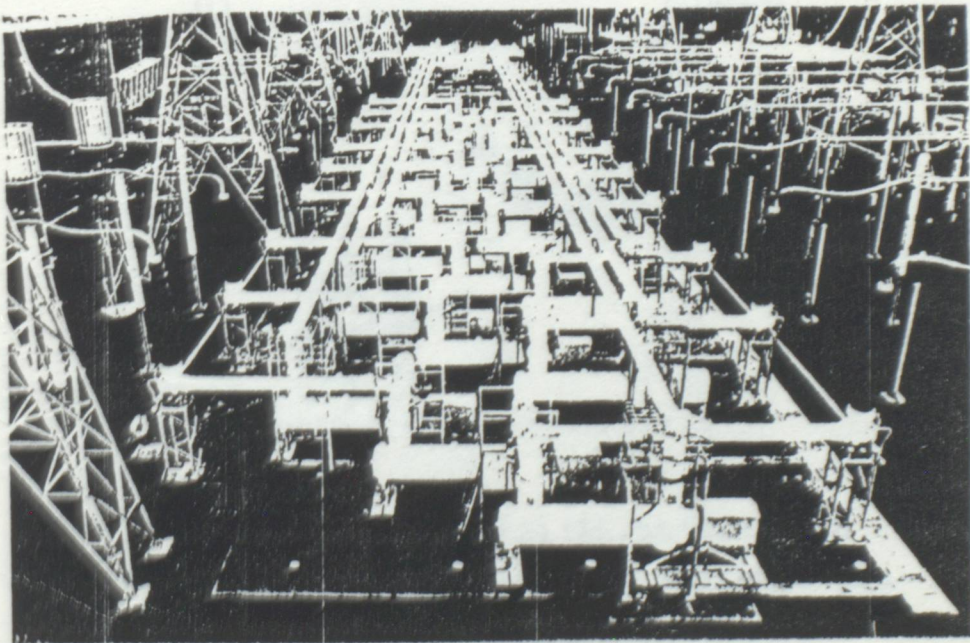


Şekil:ll.2 Bir Çelik Fabrikası İçin 362 kV'luk
GIS Tesisinin Transformator ve Hat
Bağlantılarının Görünümü
(Nijerya/ ABB)

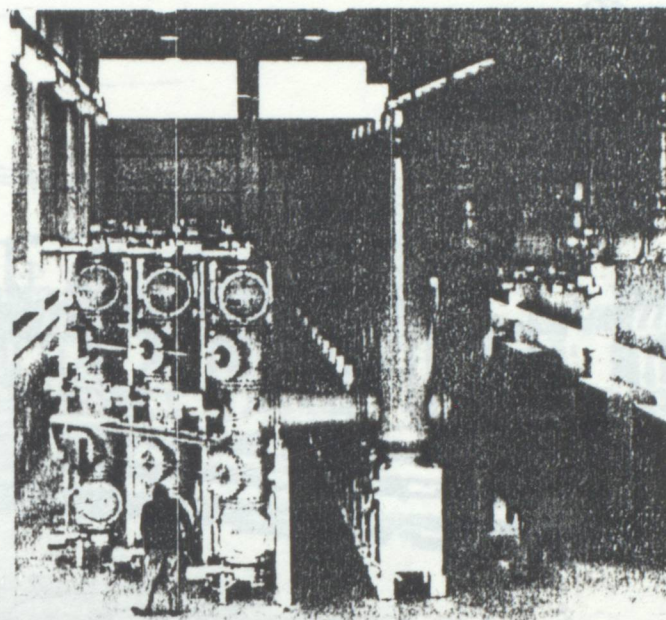


Sekil:ll.3

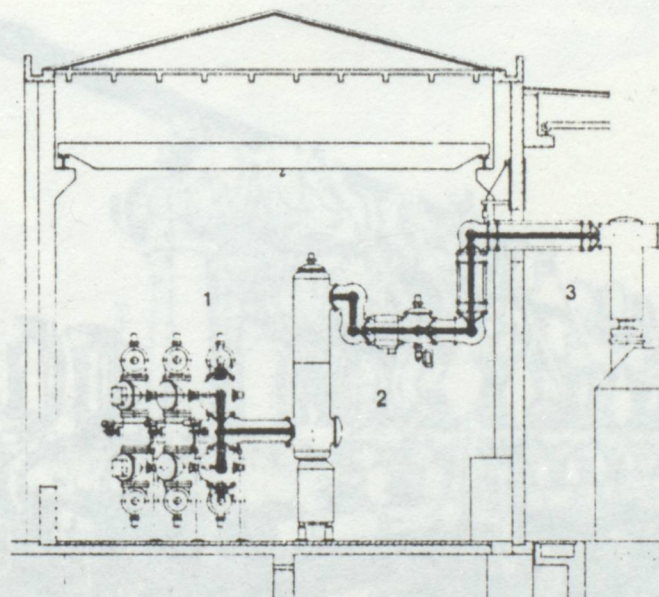
800 kV'luk ALPHA GIS Tesisine ait Havaf Hat donanımlarına, İletken sına ve Reaktör alanına olan geçişler
(Güney Afrika/ ABB)



Sekil:ll.4 525 kV'luk Hârıcı GIS Tesisi
(Avustralya/ ABB)

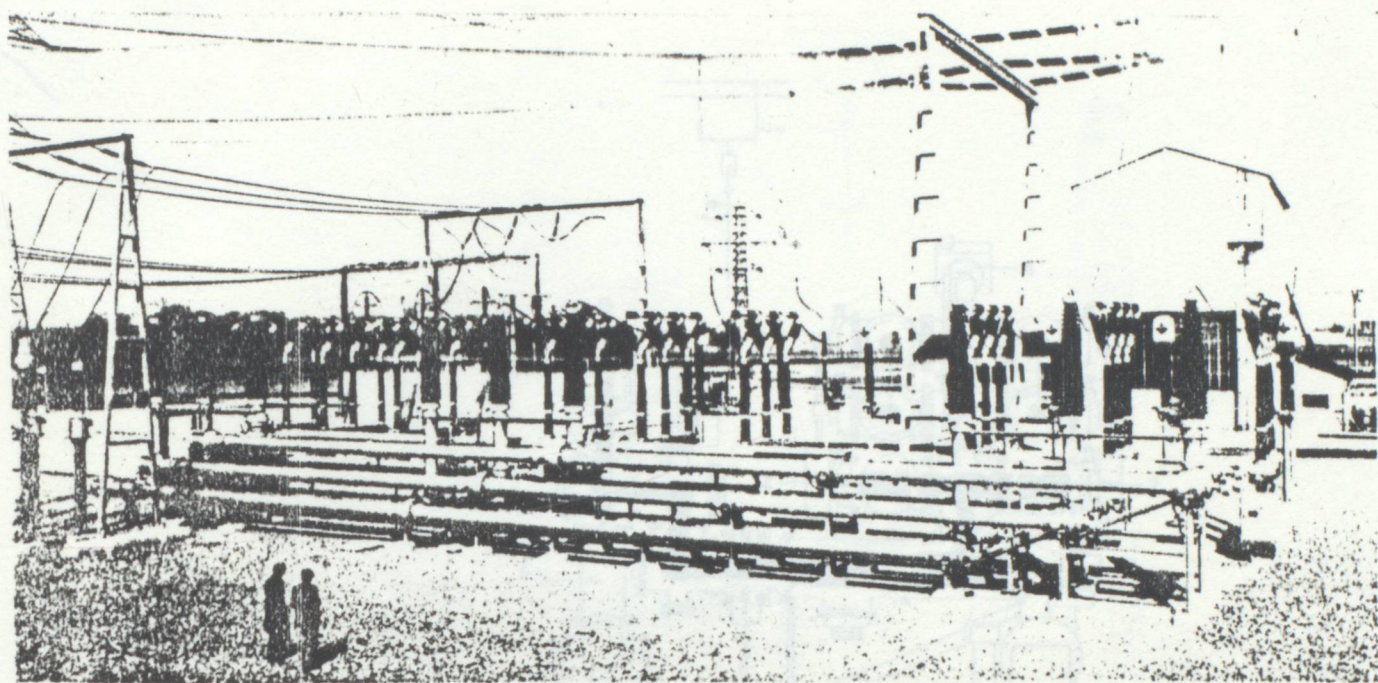


Sekil:11.5a 420 kV'luk Dahili Bir
GIS Tesisi (Avusturya/ ABB)

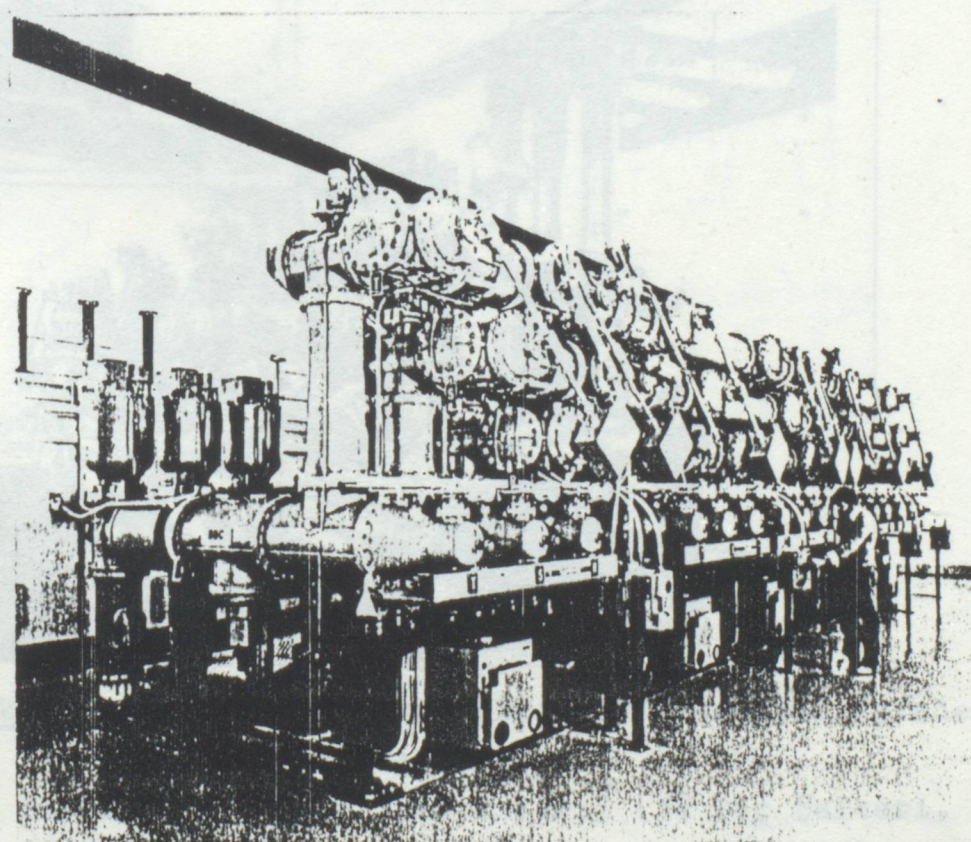


Sekil:11.5b Sekil:11.5a'daki GIS
Tesisinin Transformatör Bağlantı Ala-
nının Durumu.

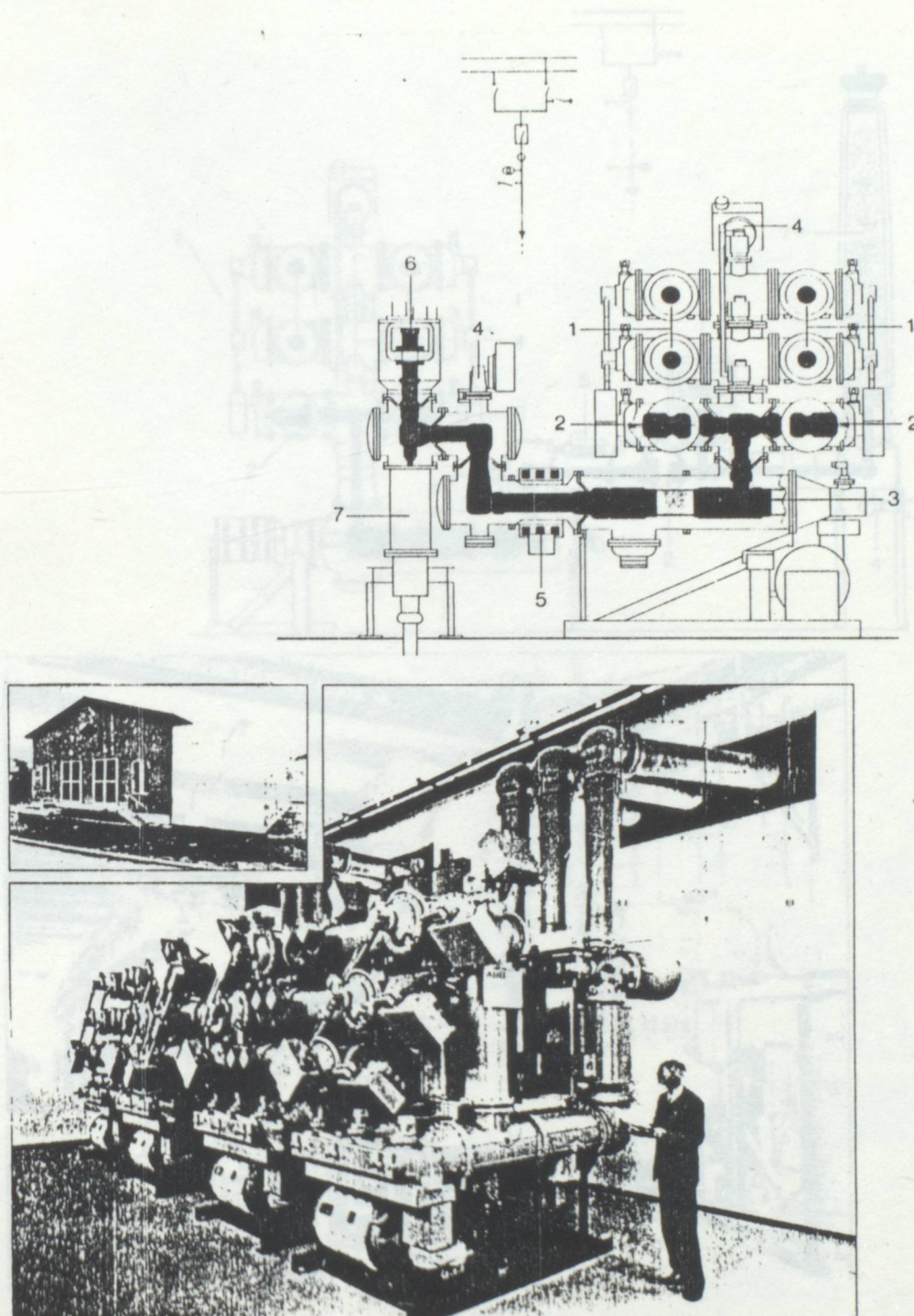
(1) Baralar, (2) Güç Şalteri, (3)
Transformatör Bağlantısı.



Sekil:11.6 245 kV'luk Çift Baralı Hibrid Şalt Tesisi
(İsviçre/ ABB)

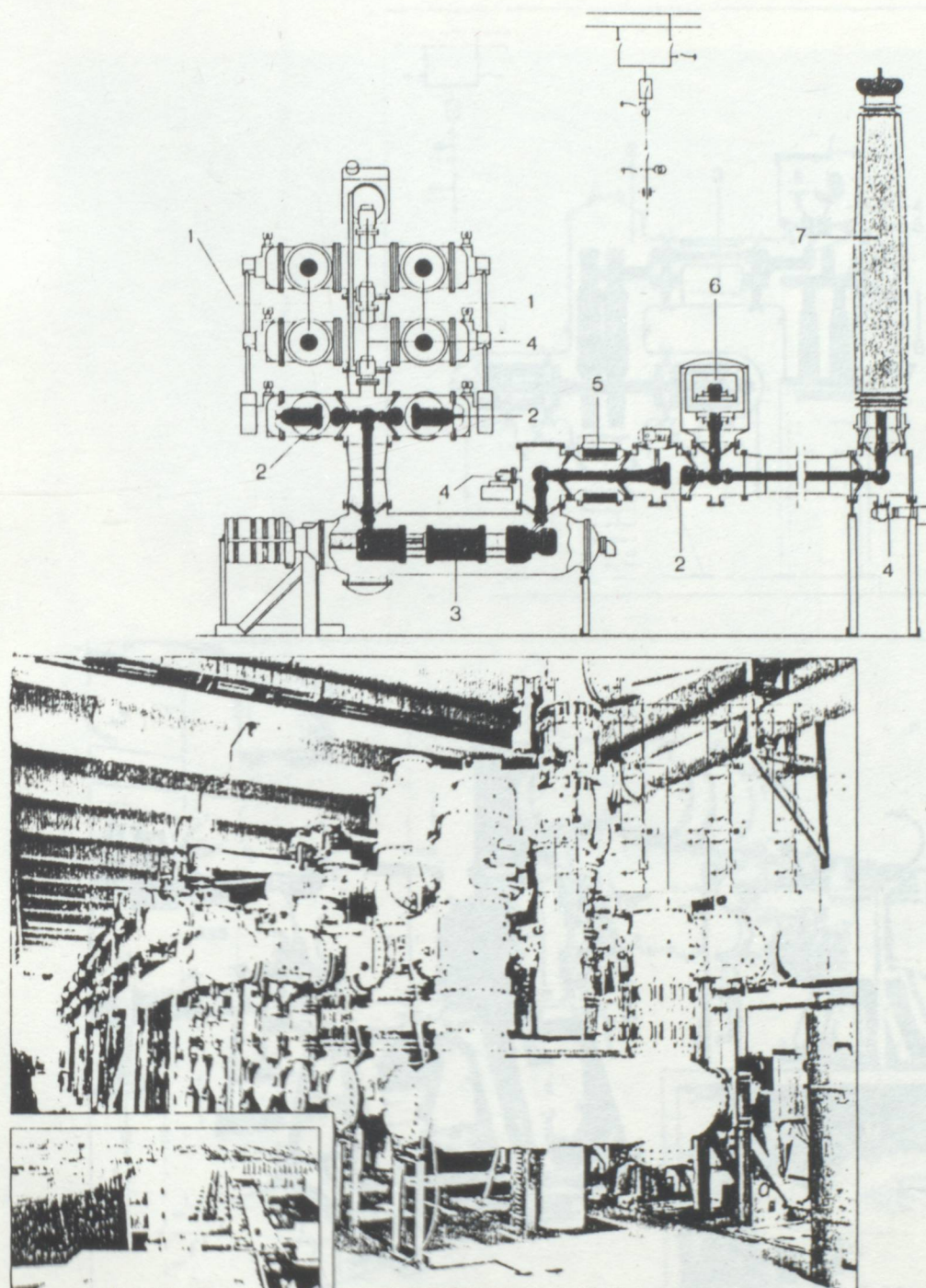


Sekil:11.7 170 kV'luk Tek Baralı Dahili GIS
Tesisi (İsviçre/ ABB).



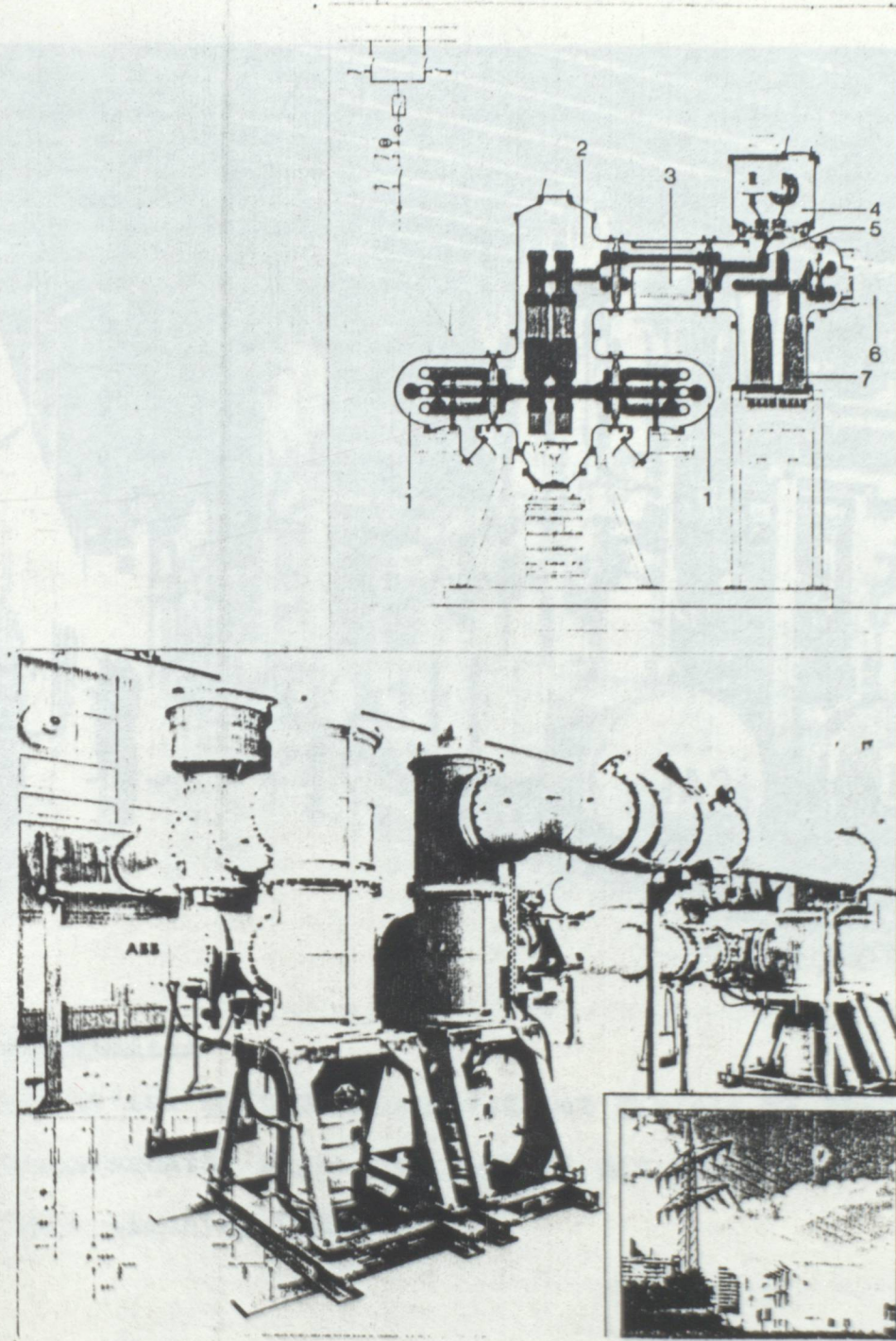
Şekil:11.8 145 kV'luk Dahili-Çevreyle Uyum İçinde
GIS Tesisi (ABB).

(1) Baralar, (2) Bara Ayırıcıları, (3) Güç Şalteri,
(4) Topraklama şalterleri,(5) Akım Trafosu ,(6) Gerilim
Trafosu, (7) Kablo Bağlantısı.



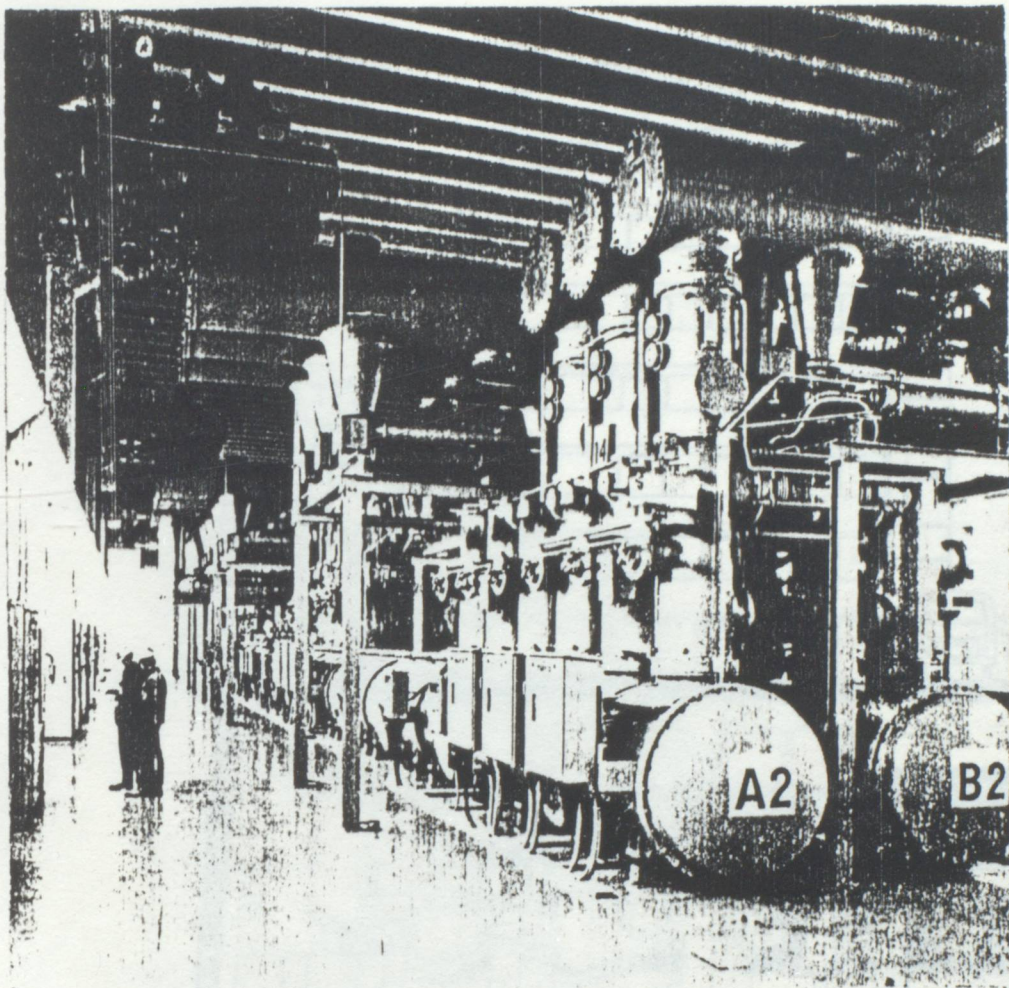
Şekil:11.9 420 kV'luk Dahili Çift Baralı, Havaf Hat
Bağlantılı Bir GIS Tesisi (ABB).

(1) Baralar, (2) Bara Ayırıcıları, (3) Güç Salteri,
(4) Topraklama Salterleri, (5) Akım Trafosu, (6) Ge-
rilm Trafosu, (7) Havaf Hat Bağlantısı.



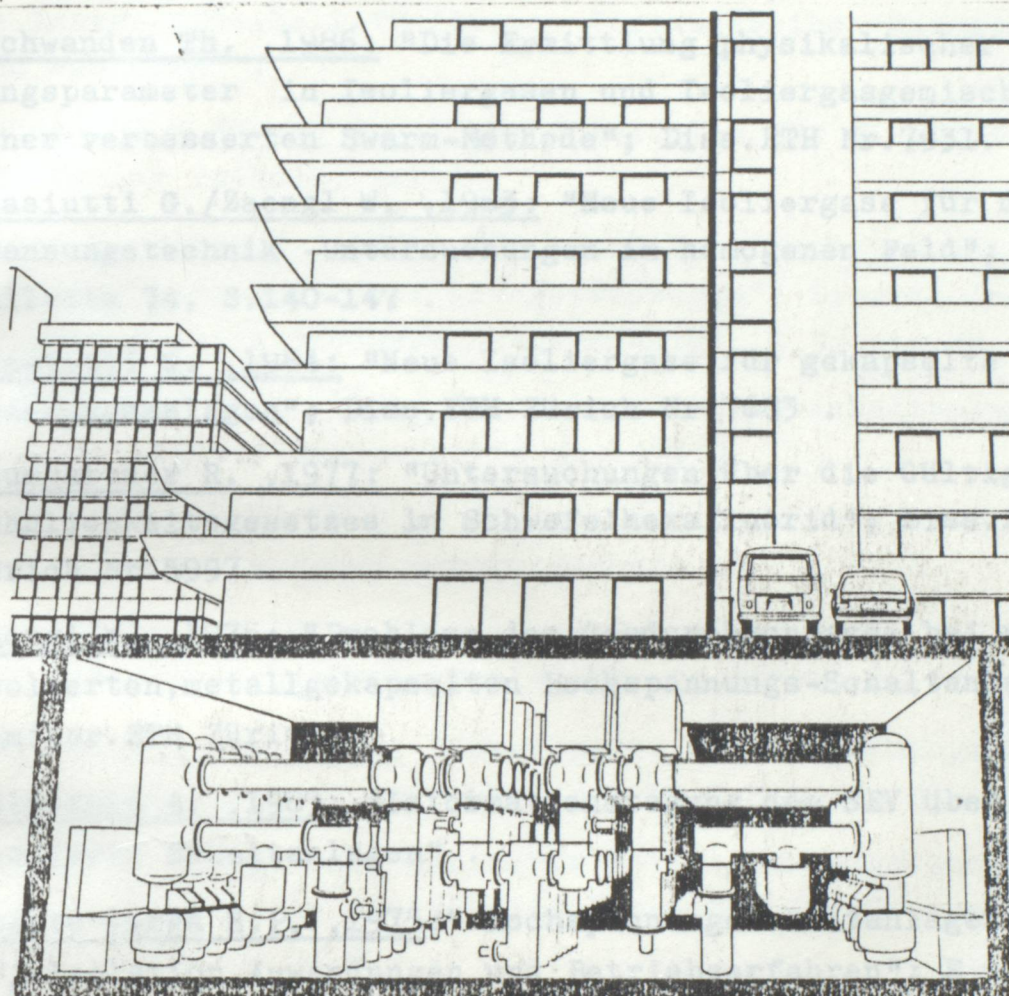
Sekil:11.10 123 kV'luk Dahili, Üç Fazlı Kapsüllenmiş, Kablo Bağlantılı Bir GIS Tesisi (Suudi Arabistan/ABB).

(1) Ayırıcılar ve Topraklayıcılar ile kombine edilmiş Baralar, (2) Güç Şalteri, (3) Akım Trafosu, (4) Gerilim Trafosu, (5) Topraklayıcı ile kombine Kablo ayırcısı, (6) Kablo top- raklayıcısı, (7) Kablo Bağlantısı.



Şekil:11.11

420 kV'luk Çift Baraklı, Havafı Hat Çıkışlı ve Direkt
Transformatör Bağlantılı Dahili Bir GIS Tesisi
(Batı Almanya/ SIEMENS).



Sekil:11.12

"BODRUM" 'da 123 kv'luk Bir GIS Tesisi
(Batı Almanya/SIEMENS).

Yeni mesken mahallerinin, endüstrinin büyük yapılarının, bölgelerin, umumî dairelerin ve trafik akış yerlerinin veya tüm bina komplekslerinin (Üniversiteler, hastaneler, bürolar veya depoların...vs) projelendirilmesi sırasında bu tür uygulamalara yer verilmektedir.

Bu suretle, ekonomik sebeplerden dolayı; elektrik enerjisini büyük boyutlu gerilimlerle direkt tüketici merkezlerine götürmek mümkün olmaktadır.

K A Y N A K L A R

Aschwanden Th. ,1986: "Die Ermittlung physikalischer Entladungsparameter in Isolergasen und Isolergasmischungen mit einer verbesserten Swarm-Methode"; Diss.ETH Nr.7931.

Biasiutti G./Zaengl W. ,1983: "Neue Isolergase für die Hochspannungstechnik -Untersuchungen im homogenen Feld"; SEV-Bulletin 74, S.140-147 .

Biasiutti G. ,1984: "Neue Isolergase für gekapselte Hochspannungsanlagen"; Diss.ETH Zürich Nr.7683 .

Baumgartner R. ,1977: "Untersuchungen über die Gültigkeit des Ähnlichkeitsgesetzes in Schwefelhexafluorid"; Diss.ETH Zürich Nr.5997 .

Zaengl W. ,1975: "Probleme des Gasdurchschlages bei voll isolierten,metallgekapselten Hochspannungs-Schaltanlagen"; Seminar.ETH Zürich.

Goldstein A. ,1983: "Informationstagung des SEV über Gasisierte Schaltanlagen" .

Szente-Varga H.P. ,1975: "Hochspannungsschaltanlagen mit SF₆-Isolation.Anwendungen und Betriebserfahren"; E und M, 93.Jg.,H.5,S.206-213 .

Eidinger A. ,1985: "Thermische und dynamische Kurzschlussbeanspruchung in SF₆-Anlagen"; E und M,102.Jg. ,H.7/8,S.304-307 .

Stimmer H. ,1976: "Einführung in die SF₆-Technik"; E und M, H.10,S.419-434 .

Muhr M./Reisinger F. ,1988: "Transiente Überspannungen in gasisierten Schaltanlagen"; E und M ,H.9,S.383 bis 395 .

Mosch W./Hauschild W. ,1979: "Hochspannungsisolierungen mit Schwefelhexafluorid"; Berlin:VEB Verlag Technik.

Hauschild W./Jahn H./Mosch W./Lemke E./Speck J. ,1983:
"Auswahl von Hochspannungsprüfungen an SF₆-Isolierungen aus physikalischer und technischer Sicht"; ELEKTRIE,Berlin 37, S.196 bis 198 .

1

Böhme H./Iwanow L., 1989: "Einfluss der Elektrodentemperatur auf die Durchschlagsspannung koaxialer SF₆-Isolierungen"; 34. Intern. Wiss. Koll. TH Ilmenau Vortragsreihe 'Schaltgeräte und -anlagen' .

Hauschild W./Mosch W., 1984: "Statistik für Elektrotechniker"; VEB Verlag Technik, Berlin.

Olsen W./Rimpp F., 1981: "SF₆ isolierte Hochspannungsschaltanlagen: Stand und Entwicklungstendenzen"; Siemens Energietechnik, Beiheft 'Hochspannungstechnik', S.32 bis 38 .

Firma CALOR EMAG, 1981: "Metallgekapselte Schaltanlagen mit SF₆-Isolation"; Druckschrift Nr.1354/H.

Firma ABB, 1987: "800 kV SF₆ gasisolierte Schaltanlagen (GIS)"; Sonderdruck aus Brown Boveri Technik 10 .

Stegmüller K., 1989: "Die neue Generation eines GIS-Systems für Mittelspannungsschaltanlagen"; etz-Report.25, vde-verlag.

Zeitschrift etz, 1989: "Schwerpunkt: Mittelspannungsschalter und -schaltanlagen"; vde-verlag, H.17, S.860 bis 898 .

Firma AEG, 1989: "SF₆ isolierte Mittelspannungsschaltanlage WS- ein Schritt in die Schaltanlagenzukunft"; Druckschrift Nr. A24.07.18/04.89 DE S .

Müller B., 1973: "Schwefelhexafluorid als Lichtbogen-Löschenmedium"; ETZ A Bd.94 ,H.7,S.391 bis 397 .

Baumgartner R., 1976: "Versuche zur Ursache der Abweichungen vom Paschengesetz"; ETZ A Bd.97,H.3,S.177 bis 178 .

Pfeiffer W./Schmitz W., 1978: "Experimentelle Untersuchung des elektrischen Durchschlages in SF₆"; ETZ A Bd.99,H.11, S.681 bis 685 .

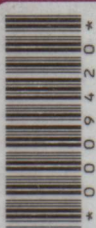
Firma EMIL HAEFELY + CIE AG, 1989: "Durchführung für gasisierte Schaltanlagen"; Druckschrift Nr. D 3-01 .



Ö Z G E Ç M İ Ş

1967 İstanbul doğumluyum. İlk, orta ve lise tahsilimi İstanbul'da tamamladım. 1988 yılında Yıldız Üniversitesi Mühendislik Fakültesi Elektrik Bölümünden mezun oldum. 1989'da Yıldız Üniversitesi Mühendislik Fakültesi Elektrik Tesisleri Ana Bilim Dalına Araştırma Görevlisi olarak girdim. 1988'den beri aynı Üniversitenin Yüksek Lisans Programına kayıtlı olup, halen Araştırma Görevlisi olarak çalışıyorum.





20
490000*